UNIVERSIDAD NACIONAL DE CAJAMARCA ESCUELA DE POSGRADO





UNIDAD DE POSGRADO DE LA FACULTAD DE INGENIERÍA PROGRAMA DE MAESTRÍA EN CIENCIAS

TESIS:

"INFLUENCIA DE LA ADICIÓN DE LA FIBRA DE VIDRIO EN LA
JUNTA DE MORTERO EN LA RESISTENCIA A COMPRESIÓN
AXIAL DE PILAS DE ALBAÑILERÍA"

Para optar el Grado Académico de

MAESTRO EN CIENCIAS

MENCIÓN: INGENIERIA CIVIL

Presentada por:

DEISY MARICELA RUIZ FERNÁNDEZ

Asesor:

Dr. HERMES ROBERTO MOSQUEIRA RAMIREZ

Cajamarca, Perú





		CO	NSTANCIA DE IN	FORME DE OF	GGINALIDAD			
3.	Investigador: Deisy Maricela F DNI: 46948232)	ernández Inidad de Posgrado de la Fa	acultad de Innenieria I	Programa de Maestria en			
	Ciencias, Menci	ón: In	geniería y Gerencia de la C	onstrucción.	rograma de maestra en			
4.	4. Asesora: Dr. Hermes Roberto Mosqueira Ramirez.							
3.	Grado académico o título profesional							
	Bachiller	D	Titulo profesional	 Segunda especi 	alidad			
	X Maestro	0	Doctor					
4.	Tipo de Investigación:							
	X Tesis		Trabajo de investigación	Trabajo de sufic	iencia profesional			
	□ Trabajo acad	émic	0					
5.	Título de Trabajo de Investigación:							
	INFLUENCIA DE LA ADICIÓN DE LA FIBRA DE VIDRIO EN LA JUNTA DE MORTERO EN LA RESISTENCIA A COMPRESIÓN AXIAL DE PILAS DE ALBAÑILERÍA.							
6.	Fecha de evaluación: 17/10/2025							
7.	Software antipl	agio:	X TURNITIN	□ URKUI	ND (OURIGINAL) (*)			
8.	Porcentaje de l	nfor	ne de Similitud: 13%					
9.	Código Docum	ento	3117:514046119					
10.	Resultado de la	Resultado de la Evaluación de Similitud:						
	X APROBADO	0	PARA LEVANTAMIENTO DI	E OBSERVACIONES (DESAPROBADO			
		6	Fecha Emisión:	18/10/2025				
					Firma y/o Sello Emisor Constancio			
		- 345						
			CONT	1				
			- Company	0				
			Dr. Hermes Notice to Mo DNI: 26673					

^{*} En caso se realizó la evaluación hasta setiembre de 2023

COPYRIGHT © 2025 by **DEISY MARICELA RUIZ FERNÁNDEZ**Todos los derechos reservados



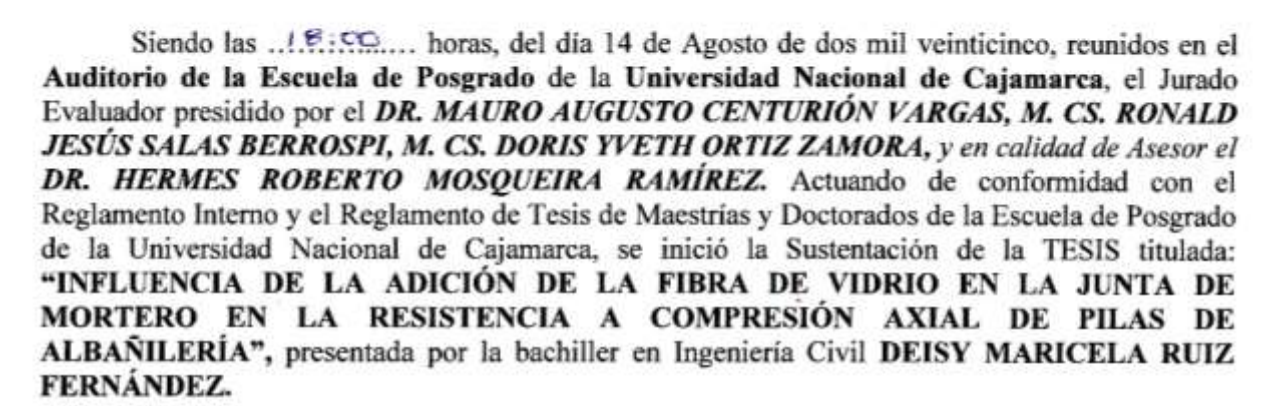
UNIVERSIDAD NACIONAL DE CAJAMARCA

LICENCIADA CON RESOLUCIÓN DECONSEJO DIRECTIVO Nº 080-2018-SUNEDU/CD

ESCUELA DE POSGRADO



ACTA DE SUSTENTACIÓN DE TESIS



Realizada la exposición de la TESIS y absueltas las preguntas formuladas por el Jurado Evaluador, y luego de la deliberación, se acordó con la calificación de con la calificación de la mencionada TESIS; en tal virtud, la bachiller en Ingeniería Civil, DEISY MARICELA RUIZ FERNÁNDEZ, se encuentra apta para recibir en ceremonia especial el Diploma que la acredita como MAESTRO EN CIENCIAS, de la Unidad de Posgrado de la Facultad de INGENIERÍA, con mención en INGENIERÍA Y GERENCIA DE LA CONSTRUCCIÓN.

Siendo las ...19:00. horas del mismo día, se dio por concluido el acto.

Dr. Hermes Roberto Mosqueira Ramírez

Asesor

Dr. Mauro Augusto Centurión Vargas Jurado Evaluador

M. Cs. Ronald Jesús Salas Berrospi Jurado Evaluador M. Cs. Doris Yveth Ortiz Zamora Jurado Evaluador

DEDICATORIA:

Con profunda gratitud y emoción, dedico esta tesis de maestría a todas las personas que han sido un pilar fundamental en mi vida y formación académica.

A Dios, por darme la fuerza, la sabiduría y la perseverancia para alcanzar este logro.

A mi esposo Alexander Huamán Quispe, por su aliento inagotable, por creer en mí y por estar siempre presente en los momentos difíciles y en los de alegría.

A mi hija Camila Huamán Ruiz, mi mayor inspiración y fuente inagotable de motivación, cuya sonrisa y energía iluminan mi vida. Este logro es tan tuyo como mío, y cada día me enseñas a soñar y a luchar con pasión.

A mis padres Juan Ruíz Silva y Marina Fernández Chávez, cuyo amor incondicional, sacrificio y apoyo han sido esenciales en cada paso de mi camino. Gracias por enseñarme el valor del esfuerzo, la disciplina y la constancia.

A mis queridos hermanos: Erickson, Juanita y Mariana, quienes han sido mi inspiración y mi compañía en este camino. Gracias por su apoyo, sus palabras de aliento y por estar siempre a mi lado. Su confianza en mí me ha motivado a seguir adelante y superar cada desafío.

A mis amados sobrinos: Alessandra, Juan Diego, Arleth, Santiago, Abel y Gonzalo, que llenan mi vida de alegría y motivación. Ustedes son una razón más para esforzarme y demostrar que con dedicación y constancia, todo es posible. Espero que este logro les sirva como ejemplo de que los sueños pueden cumplirse con esfuerzo y determinación.

A mi querido papito Abel Ruíz, quien, aunque ya no esté físicamente, sigue presente en mi corazón y en cada uno de mis logros. Su ejemplo de trabajo, honestidad y amor por la familia me ha marcado para siempre. Este triunfo también es suyo.

AGRADECIMIENTO

.

En primer lugar, agradezco a Dios por guiarme y darme la fortaleza necesaria para superar cada obstáculo en este camino académico.

A mi asesor de tesis, ingeniero Hermes Roberto Mosqueira Ramírez, por su inestimable guía, paciencia y apoyo constante, fundamentales para el desarrollo y culminación de esta investigación.

A los miembros del jurado por compartir sus conocimientos y por fomentar en mí el amor por el aprendizaje y la investigación.

Deseo extender un agradecimiento muy especial a mi familia:

- A mis padres, por haberme inculcado los valores del esfuerzo, la perseverancia y el amor incondicional, y por siempre estar a mi lado en cada desafío.
- A mi esposo, por ser mi compañero y sostén, brindándome comprensión, motivación y apoyo en cada etapa de este proceso.
- A mi hija, mi mayor inspiración y fuente de alegría, que con su luz y energía me impulsa a dar lo mejor de mí cada día.

ÍNDICE GENERAL

RESUM	EN	xi
ABSTRA	ACT	xii
CAPITU	LO I INTRODUCCIÓN	1
1.1.	Planteamiento del problema	1
1.1.	1. Contextualización	1
1.1.2	2. Descripción del problema	6
1.1.3	3. Formulación del problema	9
1.2.	Justificación e importancia	9
1.3.	Delimitación de la investigación	10
1.4.	Limitaciones	12
1.5.	Objetivos	12
1.5.	1. Objetivo general	12
1.5.2	2. Objetivos específicos	12
CAPITU	LO II MARCO TEÓRICO	13
2.1	Antecedentes de la investigación o marco referencial	13
2.2	Marco conceptual.	19
2.2.1	Albañilería: Definición y Composición	19
2.2.2	Morteros Modificados con Fibras	19
2.2.3	Normativa Técnica sobre Morteros y Fibras de Vidrio	20
2.2.4	Normativa en Latinoamérica	21
2.2.5	Normativa en Perú	21
2.2.6	Resistencia a Compresión Axial en Pilas de Albañilería	22
2.2.7	Influencia de la Fibra de Vidrio en el Mortero	23
2.3	Definición de términos básicos	23
CAPITU	LO III PLANTEAMIENTO DE LA HIPÓTESIS Y VARIABLES	26
3.1	Hipótesis	26

3.1.1	1 Hipótesis general	26
3.2	Variables	26
3.2.1	1 Variables Independientes	26
3.2.2	2 Variable Dependiente	26
3.3	Operacionalización de los componentes de las hipótesis	26
CAPITU	LO IV MARCO METODOLÓGICO	26
4.1	Ubicación geográfica	27
4.2	Diseño de la investigación	28
4.3	Métodos de investigación	29
4.1	Población, muestra, unidad de análisis y unidades de observación	29
4.2	Técnicas e instrumentos de recopilación de información	32
4.3	Técnicas para el procesamiento y análisis de la información	33
4.4	Equipos, materiales, insumos, etc.	34
4.5	Matriz de consistencia metodológica	35
CAPITU	LO V RESULTADOS Y DISCUSIÓN	36
5.1	Presentación de resultados	36
5.2	Contrastación de hipótesis	57
CAPITU	LO VI CONCLUCIONES Y RECOMENDACIONES	60
6.1	Conclusiones	60
6.2	Recomendaciones	62
REFERE	ENCIAS BIBLIOGRÁFICAS	69

LISTA DE TABLAS

Tabla 1. Operacionalización de componentes de la hipótesis 5	26
Tabla 2. Diseño de Investigación	29
Tabla 3. Número de muestras	30
Tabla 4. Unida de análisis	32
Tabla 5. Técnicas para el procesamiento y análisis	33
Tabla 6. Matriz de consistencia metodológica	35
Tabla 7. Propiedades básicas de la Arena	36
Tabla 8. Propiedades básicas del Cemento Mochica	37
Tabla 9. Propiedades básicas del ladrillo artesanal estructural	38
Tabla 10. Resistencia a la compresión Cemento:Arena	39
Tabla 11. Resistencia a la compresión Cemento:Arena – Shapiro Will	40
Tabla 12. Resistencia a la compresión Cemento: Arena – Anova	40
Tabla 13. Resistencia a la compresión Cemento: Arena – Tukey	41
Tabla 13. Resistencia en Pila Junta de 1.50 cm	42
Tabla 15 . Resistencia en Pila Junta de 1.50 cm – Shapiro Will	44
Tabla 16 . Resistencia en Pila Junta de 1.50 cm – Anova	45
Tabla 17 . Resistencia en Pila Junta de 1.50 cm – Tukey	46
Tabla 18. Resistencia en pila con junta de 2.00 cm	47
Tabla 19 . Resistencia en pila con junta de 2.00 cm - Shapiro Will	49
Tabla 20 . Resistencia en pila con junta de 2.00 cm – Anova	49
Tabla 21 . Resistencia en pila con junta de 2.00 cm – Tukey	50
Tabla 22. Resistencia a la pila con Junta de 2.50 cm.	51
Tabla 23 . Resistencia a la pila con Junta de 2.50 cm – Shapiro Will	53
Tabla 24 . Resistencia a la pila con Junta de 2.50 cm – Anova	53
Tabla 24 . Resistencia a la pila con Junta de 2.50 cm – Tukey	54

LISTA DE FIGURAS

Figura 1. Ubicación de desarrollo de Cajamarca	27
Figura 2. Relación A/C – kg/cm2	39
Figura 3. Resistencia kg/cm2 – Junta 1.5 cm	43
Figura 4. Resistencia kg/cm2 – Junta 2.0 cm	48
Figura 5. Resistencia kg/cm2 – Junta 2.50 cm	52
Figura 6. Colocación de ladrillos para absorción	63
Figura 7. Pesado de ladrillo	63
Figura 8. Pesado de ladrillo	64
Figura 9. Secado de ladrillo	64
Figura 10. Resistencia axial del ladrillo.	65
Figura 11. Selección de fibra	65
Figura 12. Elaboración de mortero	66
Figura 13. Colocación de la fibra	66
Figura 14. Ladrillos en Pila	67
Figura 15. Verificación del mortero	67
Figura 13. Rotura de ladrillos con mortero	68

RESUMEN

El objetivo de esta investigación fue evaluar la influencia de la adición de fibra de vidrio en la junta de mortero sobre la resistencia a compresión axial de pilas de albañilería. La motivación surge de la necesidad de mejorar el comportamiento estructural de edificaciones en zonas sísmicas, como Cajamarca, donde se utiliza ladrillo artesanal y mortero convencional con limitaciones mecánicas. La metodología fue experimental, empleando mortero tipo P2 (1:5) con 0%, 5%, 10% y 15% de fibra de vidrio, aplicado en pilas construidas con ladrillo artesanal. Se realizaron ensayos de compresión axial, adherencia mortero-ladrillo, caracterización del ladrillo y análisis estadístico (Shapiro-Wilk, ANOVA y Tukey). Los resultados mostraron incrementos en la resistencia a compresión axial desde 10.5 MPa (0%) hasta 13.7 MPa (15%), siendo 10% la dosificación óptima. La prueba de adherencia indicó una mejora progresiva, pasando de 0.12 MPa (0%) a 0.21 MPa (10%), con fallas cohesivas más uniformes y menor desprendimiento en juntas con fibra. Se concluye que la adición de fibra de vidrio mejora significativamente la resistencia y adherencia del mortero, siendo una alternativa viable para fortalecer pilas de albañilería en edificaciones.

Palabras clave: Fibra de vidrio, mortero modificado y resistencia a la comprensión axial.

ABSTRACT

The objective of this investigation was to evaluate the influence of adding glass fiber to

mortar joints on the axial compressive strength of masonry piles. The motivation arose

from the need to improve the structural behavior of buildings in seismic zones, such as

Cajamarca, where artisanal brick and conventional mortar are used with mechanical

limitations. The methodology was experimental, using P2 mortar (1:5) with 0%, 5%,

10%, and 15% glass fiber, applied to piles constructed with artisanal brick. Axial

compression, mortar-brick adhesion, brick characterization, and statistical analysis

(Shapiro-Wilk, ANOVA, and Tukey) tests were performed. The results showed increases

in axial compressive strength from 10.5 MPa (0%) to 13.7 MPa (15%), with 10% being

the optimal dosage. The adhesion test showed a progressive improvement, from 0.12 MPa

(0%) to 0.21 MPa (10%), with more uniform cohesive failures and less debonding in

fiber-reinforced joints. It is concluded that the addition of fiberglass significantly

improves mortar strength and adhesion, making it a viable alternative for strengthening

masonry piles in buildings.

Keywords: Fiberglass, modified mortar, and axial compression.

xii

CAPITULO I INTRODUCCIÓN

1.1. Planteamiento del problema

1.1.1. Contextualización

El mortero es un material compuesto tradicionalmente por cemento, agregados finos y agua, utilizado como elemento de unión entre unidades de mampostería y como capa de recubrimiento. Su función estructural es crítica en sistemas de albañilería, ya que no solo une los elementos, sino que transfiere cargas, absorbe deformaciones y contribuye a la estabilidad global del muro (Aydın & Arel, 2021). No obstante, el mortero convencional presenta limitaciones importantes, como baja resistencia a tracción, susceptibilidad a fisuración y pérdida de cohesión bajo esfuerzos cíclicos, lo que ha motivado el desarrollo de soluciones técnicas para su mejoramiento.

Una de las estrategias más difundidas en los últimos años es la modificación del mortero mediante aditivos y refuerzos. Estos materiales, que pueden ser de origen sintético, mineral o natural, se incorporan para mejorar sus propiedades mecánicas, durabilidad y comportamiento frente a condiciones ambientales agresivas (Sakr & El-Hakim, 2021). Entre ellos, las fibras de vidrio, polipropileno, carbono y acero han demostrado ser altamente eficaces en la mejora de la resistencia del mortero a compresión, tracción y flexión, así como en la reducción de microfisuración por retracción plástica y secado (Yilmaz, 2020).

El uso de fibras sintéticas en mortero ha cobrado especial interés en contextos donde se requiere mejorar la seguridad estructural sin recurrir a soluciones costosas. Las investigaciones de Hamad et al. (2022) evidencian que la incorporación de fibras de vidrio en proporciones del 0.5% al 1.5% del volumen

puede aumentar la resistencia a compresión en un 15%–30% y reducir significativamente la absorción de agua, lo cual mejora la durabilidad del mortero en zonas con ciclos de humedad y secado. De igual modo, López et al. (2021) encontraron que morteros reforzados con fibras mostraron mayor ductilidad y energía de fractura, lo que resulta clave para su aplicación en estructuras sometidas a cargas dinámicas o sísmicas.

A nivel global, los avances en tecnología de materiales han llevado a la búsqueda de soluciones innovadoras para mejorar el desempeño estructural de los sistemas de albañilería, principalmente en lo que respecta a la resistencia a la compresión axial. La investigación sobre la incorporación de fibras en morteros y concretos ha mostrado resultados prometedores en términos de resistencia y durabilidad, siendo la fibra de vidrio uno de los materiales más investigados. En países como Estados Unidos y China, las normas constructivas han comenzado a considerar el uso de fibras como refuerzo en morteros y concretos debido a sus propiedades beneficiosas en la mejora de la resistencia a la tracción y la reducción de agrietamientos (Zhao et al., 2022). Por ejemplo, el código ACI 544 en Estados Unidos establece pautas para el uso de fibras en concreto, y ha sido una referencia clave para la aplicación de fibras en diversos tipos de construcciones (American Concrete Institute, 2019).

En Latinoamérica, el uso de fibras en materiales de construcción ha ido ganando terreno en los últimos años, especialmente en países como México, Brasil y Colombia, donde la industria de la construcción está en constante evolución. En estos países, la implementación de nuevas tecnologías en el sector de la construcción ha llevado al uso de morteros mejorados con fibras, como la de vidrio, con el fin de aumentar la resistencia y la durabilidad de las edificaciones,

particularmente en regiones con alta actividad sísmica. Sin embargo, la normativa específica sobre el uso de fibras en morteros sigue siendo incipiente en la mayoría de los países de la región, aunque se observan esfuerzos por parte de instituciones como la Asociación Latinoamericana de Control de Calidad, Patología y Recuperación (ALCONPAT) para establecer lineamientos técnicos para el uso de estos materiales (ALCONPAT, 2020).

En cuanto a la normativa aplicable, en el ámbito internacional, el American Concrete Institute (ACI) y la International Organization for Standardization (ISO) han desarrollado lineamientos clave para el uso de fibras en materiales cementicios. Por ejemplo, la norma ACI 544.1R-96 del American Concrete Institute establece criterios para la especificación, producción y uso de concretos reforzados con fibras, incluyendo la fibra de vidrio. Además, ISO 10406-1:2015 proporciona directrices para la fabricación y el uso de fibras de refuerzo en estructuras de concreto, lo que constituye un estándar global que guía su implementación segura y eficiente (International Organization for Standardization, 2020).

La albañilería es un sistema constructivo ampliamente utilizado, caracterizado por el uso de bloques o ladrillos ensamblados mediante juntas de mortero. Estas juntas juegan un papel fundamental en la distribución de las cargas, especialmente en la resistencia a la compresión axial, la cual es crítica para la estabilidad estructural de los edificios. Sin embargo, una de las limitaciones de los morteros tradicionales, compuestos mayormente de cemento, arena y agua, es su capacidad limitada para soportar cargas de compresión axial elevadas sin comprometer su integridad (Saliba et al., 2019).

Recientemente, se ha explorado la incorporación de aditivos para mejorar las propiedades mecánicas de los morteros. Entre estos, la fibra de vidrio ha despertado un interés considerable debido a sus características como refuerzo estructural, dado que aporta una mayor resistencia a la tracción y mejora la ductilidad del material. Las investigaciones han demostrado que la adición de fibras al mortero puede influir positivamente en su capacidad de absorber esfuerzos sin agrietarse, incrementando así su durabilidad y resistencia (Yu et al., 2020).

A pesar de los avances en el estudio de fibras en materiales cementicios, existe una carencia de investigaciones que aborden específicamente el efecto de la fibra de vidrio en las juntas de mortero para pilas de albañilería y cómo esta afecta su resistencia a la compresión axial. Este vacío en la literatura es relevante, ya que un mejor desempeño de las juntas de mortero podría traducirse en estructuras de albañilería más seguras y duraderas, especialmente en construcciones de bajo costo que dependen en gran medida de este sistema constructivo (Wang et al., 2021).

La presente investigación pretende evaluar la influencia de la adición de fibra de vidrio en el mortero utilizado en las juntas de pilas de albañilería, analizando su impacto sobre la resistencia a la compresión axial. El objetivo es determinar si este aditivo mejora significativamente las propiedades mecánicas del mortero, lo que podría ofrecer soluciones innovadoras para mejorar la eficiencia estructural en la construcción (Zhao et al., 2022).

En el contexto peruano, la industria de la construcción ha mostrado un crecimiento sostenido en los últimos años, impulsando la necesidad de adoptar tecnologías que mejoren tanto la calidad como la durabilidad de las edificaciones.

Si bien el uso de fibras en morteros no está ampliamente normado en el país, se reconoce el potencial de su aplicación, especialmente en zonas de alta actividad sísmica como la costa peruana, donde la resistencia estructural es un factor crítico. En Perú, la Norma Técnica Peruana NTP 399.601 establece lineamientos para el diseño y construcción de albañilería, pero no menciona de manera específica el uso de fibras en morteros. Sin embargo, el Reglamento Nacional de Edificaciones (RNE) es una referencia clave para el diseño de estructuras de albañilería en el país, y permite el uso de materiales alternativos siempre y cuando se realicen estudios que justifiquen su eficiencia y seguridad en las estructuras (Ministerio de Vivienda, Construcción y Saneamiento, 2021).

La alta recurrencia sísmica del territorio peruano, situado en el cinturón de fuego del Pacífico, agrava esta situación. Reportes del Centro Peruano Japonés de Investigaciones Sísmicas y Mitigación de Desastres (CISMID) advierten que gran parte de las edificaciones de albañilería existentes no cumplen con los mínimos requisitos de diseño sismorresistente, lo cual representa un peligro latente para la seguridad de millones de personas (CISMID, 2020).

En ese sentido, resulta prioritario desarrollar soluciones técnicas de bajo costo que permitan mejorar la resistencia estructural del sistema mortero-ladrillo, como es el caso del uso de aditivos como la fibra de vidrio, que han demostrado eficacia en estudios experimentales, pero que aún no han sido suficientemente aplicados ni difundidos en la práctica constructiva local. Esta investigación se inscribe en dicho propósito: aportar evidencia técnica y contextualizada que permita mejorar el comportamiento estructural de la albañilería no reforzada, promoviendo construcciones más seguras y resilientes en zonas vulnerables del Perú.

1.1.2. Descripción del problema

En América Latina y particularmente en el Perú, la albañilería no reforzada continúa siendo una de las técnicas constructivas más empleadas para viviendas de bajo costo, debido a su accesibilidad, disponibilidad de materiales y facilidad de ejecución. Sin embargo, las fallas estructurales observadas en eventos sísmicos recientes han puesto en evidencia las limitaciones de este sistema, especialmente en lo que respecta al desempeño del mortero utilizado en las juntas (Saliba et al., 2019)

El mortero tradicional, compuesto por cemento, arena y agua, cumple una función vital: transmitir las cargas entre las unidades de mampostería y proporcionar cohesión a la estructura. No obstante, este material presenta limitaciones en su resistencia mecánica y en su adherencia al ladrillo, particularmente cuando se emplean ladrillos artesanales con alta porosidad, superficies rugosas o geometría irregular (Zhao et al., 2022). Estas debilidades estructurales pueden provocar fisuración prematura, pérdida de carga y, en el peor de los casos, colapso total del sistema ante cargas sísmicas o verticales intensas (Wang et al., 2021).

En contextos como Cajamarca, donde predomina la autoconstrucción con recursos limitados, el control de calidad en la fabricación del mortero es mínimo o inexistente. Además, las normas técnicas nacionales, como la NTP 399.601 o el Reglamento Nacional de Edificaciones (RNE), no contemplan aún la incorporación de materiales innovadores como fibras sintéticas en morteros, pese a su potencial para mejorar el desempeño estructural (Ministerio de Vivienda, Construcción y Saneamiento, 2021).

A nivel normativo, existen varias guías y reglamentaciones internacionales que abordan el uso de fibras en materiales de construcción. La norma ACI 544.1R-96 del American Concrete Institute, por ejemplo, establece criterios detallados para la especificación, producción y uso de concreto reforzado con fibras, incluyendo el uso de fibra de vidrio como refuerzo. Esta norma ha sido adoptada por varios países y ha servido como base para el desarrollo de investigaciones que buscan mejorar las propiedades mecánicas del concreto y el mortero mediante la incorporación de fibras (American Concrete Institute, 2019).

En Perú, el uso de mortero en la construcción es común, especialmente en proyectos de viviendas sociales y edificaciones de mediana escala. La albañilería, al ser un sistema de construcción económicamente accesible, es ampliamente utilizada, pero también presenta desafíos en cuanto a su resistencia, especialmente en zonas de alta actividad sísmica, como la costa peruana. La necesidad de mejorar la resistencia de las estructuras de albañilería ha llevado a considerar el uso de aditivos y materiales complementarios que puedan mejorar las propiedades mecánicas de los morteros, como la fibra de vidrio (Ministerio de Vivienda, Construcción y Saneamiento, 2021).

En contextos como Cajamarca, donde predomina la autoconstrucción con recursos limitados, el control de calidad en la fabricación del mortero es mínimo o inexistente. Además, las normas técnicas nacionales, como la NTP 399.601 o el Reglamento Nacional de Edificaciones (RNE), no contemplan aún la incorporación de materiales innovadores como fibras sintéticas en morteros, pese a su potencial para mejorar el desempeño estructural (Ministerio de Vivienda, Construcción y Saneamiento, 2021).

Estudios recientes han demostrado que la adición de fibras de vidrio al mortero puede mejorar significativamente su resistencia a la compresión, su capacidad de adherencia y su comportamiento ante fisuración. Estas fibras permiten distribuir mejor los esfuerzos internos y evitar la concentración de tensiones que dan origen a grietas estructurales (Pereira & Santos, 2019; Martínez & Gómez, 2020). Sin embargo, en el ámbito peruano, la aplicación de esta técnica aún no cuenta con suficiente validación científica ni experimental.

En cuanto a la normativa peruana, la Norma Técnica Peruana NTP 399.601 establece directrices para el diseño y la construcción de albañilería, pero no incluye disposiciones específicas sobre el uso de fibras en morteros. Sin embargo, el Reglamento Nacional de Edificaciones (RNE) permite el uso de tecnologías y materiales alternativos siempre que se realicen estudios que justifiquen su seguridad y efectividad en las edificaciones (Ministerio de Vivienda, Construcción y Saneamiento, 2021). En este sentido, la investigación sobre la incorporación de fibra de vidrio en las juntas de mortero podría abrir nuevas posibilidades para mejorar la resistencia de las pilas de albañilería en Perú, proporcionando una solución viable para mejorar la seguridad estructural en zonas de alto riesgo sísmico.

El problema de la resistencia a la compresión axial en las pilas de albañilería es un desafío constante en la industria de la construcción, especialmente en países como Perú, donde la actividad sísmica es una amenaza constante para la estabilidad de las edificaciones. La adición de fibra de vidrio en las juntas de mortero podría representar una solución innovadora para mejorar la resistencia de las estructuras de albañilería, permitiendo que estas soporten mayores cargas de compresión sin comprometer su integridad. Además, el uso de

fibras en morteros podría reducir la necesidad de mantenimiento y aumentar la durabilidad de las estructuras, lo que resulta en un ahorro de costos a largo plazo (Wang et al., 2021).

1.1.3. Formulación del problema

¿De qué manera influye la adición de la fibra de vidrio en la junta de mortero en la resistencia a compresión axial de pilas de albañilería?

1.2. Justificación e importancia

El uso de la albañilería es uno de los sistemas constructivos más comunes en edificaciones de viviendas y estructuras de mediana escala, tanto a nivel mundial como en el Perú. Sin embargo, la capacidad de estos sistemas para soportar cargas a compresión axial es un desafío constante, especialmente en zonas sísmicas o con condiciones climáticas extremas, donde la durabilidad y resistencia estructural son fundamentales para garantizar la seguridad de las edificaciones. Tradicionalmente, las juntas de mortero, que unen los bloques o ladrillos en las pilas de albañilería, están compuestas por una mezcla de cemento, arena y agua, las cuales pueden mostrar limitaciones en su capacidad para absorber esfuerzos prolongados y cargas significativas.

En este contexto, la incorporación de fibras en morteros, como la fibra de vidrio, representa una solución innovadora que podría mejorar las propiedades mecánicas de estas juntas. La fibra de vidrio es conocida por su alta resistencia a la tracción y su capacidad para distribuir mejor las cargas en materiales cementicios, lo que podría aumentar la resistencia a la compresión axial de las pilas de albañilería. A nivel internacional, diversas investigaciones han mostrado que la adición de fibra de vidrio en morteros y concretos puede incrementar la

durabilidad, reducir la formación de fisuras, y mejorar el comportamiento del material frente a fenómenos sísmicos y otras cargas dinámicas (Yu et al., 2020; Zhao et al., 2022).

En Latinoamérica, y particularmente en Perú, donde la actividad sísmica es alta, la mejora de la resistencia estructural en construcciones de albañilería es una prioridad. En Perú, el Reglamento Nacional de Edificaciones (RNE) regula los criterios para la construcción segura, pero aún no se exploran ampliamente los beneficios de utilizar materiales como la fibra de vidrio en las juntas de mortero. Este estudio permitirá evaluar la viabilidad de aplicar estas tecnologías en el contexto local, mejorando así las propiedades estructurales de las edificaciones y ofreciendo soluciones más seguras y duraderas para zonas vulnerables.

Por todo lo anterior, esta investigación es de gran relevancia tanto técnica como socialmente, ya que podría mejorar considerablemente la seguridad de las edificaciones de albañilería en zonas sísmicas, contribuir al avance de la normativa constructiva en el Perú y proporcionar una opción más eficiente y sostenible para la construcción de viviendas y edificaciones en general.

1.3. Delimitación de la investigación

Esta investigación se delimita al análisis experimental de la influencia de la adición de fibra de vidrio en las juntas de mortero sobre la resistencia a compresión axial de pilas de albañilería. El estudio se enfocará en la evaluación de pilas de albañilería construidas con mortero modificado con fibra de vidrio, comparándolas con pilas de albañilería construidas con mortero tradicional.

Las unidades de albañilería utilizadas corresponden a ladrillos artesanales sólidos, producidos localmente en una ladrillera del distrito de Baños del Inca, provincia de

Cajamarca, los cuales fueron seleccionados de un mismo lote (horneada) para garantizar homogeneidad en las propiedades físicas y mecánicas. Estos ladrillos presentan geometría rectangular, textura rugosa y dimensiones promedio dentro del rango permitido por la Norma Técnica Peruana NTP E.070.

El tipo de apareo utilizado en la construcción de las pilas fue el apareo a soga, técnica común en la albañilería tradicional, donde las hiladas se colocan con los ladrillos en posición longitudinal respecto al eje del muro. Este tipo de disposición fue escogido por su frecuencia en edificaciones de autoconstrucción en la región, lo que permite simular condiciones reales de obra.

El mortero utilizado en todas las muestras corresponde a una dosificación tipo P2 (1:5 cemento:arena), conforme a la NTP E.070, y fue modificado mediante la incorporación de fibra de vidrio en proporciones del 5%, 10% y 15% del volumen del mortero. Se emplearon juntas de mortero con espesores controlados de 1.5 cm y 2.0 cm, a fin de evaluar su influencia en la resistencia final de las pilas.

La investigación se limita al análisis de ensayos de compresión axial de pilas de pequeña escala, realizados en laboratorio, bajo condiciones de carga estática. No se contemplan ensayos dinámicos ni simulaciones sísmicas, por lo cual los hallazgos deben interpretarse dentro del marco de cargas verticales gravitacionales

Ámbito Geográfico: La presente investigación se desarrolló en la ciudad de Cajamarca, ubicada en la sierra norte del Perú, una región caracterizada por su topografía accidentada, actividad sísmica moderada y predominancia de edificaciones de albañilería no reforzada. Esta ciudad, capital del departamento del mismo nombre, concentra una considerable población que recurre con frecuencia a métodos de autoconstrucción para la edificación de viviendas de una o dos plantas, utilizando ladrillo artesanal y mortero convencional como materiales principales

Ámbito Temporal: El estudio se desarrollará durante un periodo de 6 meses, tiempo en el cual se llevará a cabo la recolección de datos, la preparación de las muestras de mortero con y sin fibra de vidrio, y la realización de pruebas de resistencia a la compresión axial. Ámbito Temático: Se abordo exclusivamente la evaluación de la resistencia a compresión axial de pilas de albañilería, excluyendo otros tipos de esfuerzos como tracción, flexión o análisis sísmicos, tampoco la acción de cargas dinámicas.

1.4. Limitaciones

La investigación se limitará a muros completos o de estructuras más grandes bajo condiciones reales de carga. Las extrapolaciones de los resultados a proyectos de construcción de mayor escala deben considerarse con cautela.

1.5. Objetivos

1.5.1. Objetivo general

 Evaluar la influencia de la adición de fibra de vidrio en la junta de mortero sobre la resistencia a compresión axial de pilas de albañilería.

1.5.2. Objetivos específicos

- Encontrar las propiedades mecánicas del ladrillo artesanal
- Determinar las propiedades mecánicas del mortero
- Analizar las propiedades mecánicas del mortero tradicional y del mortero modificado con fibra de vidrio y sin refuerzo de vidrio.
- Evaluar el comportamiento de la unidad y pilas con mortero, reforzado con fibra de vidrio y sin reforzado de vidrio

CAPITULO II MARCO TEÓRICO

2.1 Antecedentes de la investigación o marco referencial

A. Antecedentes Internacionales:

Dentro de los artículos más relevantes a nivel internacional Saliba et al., (2019) en su investigación "Influence of fiber reinforcement on the mechanical behavior of masonry structures.", con metodología: Se prepararon 20 pilas de albañilería con ladrillos estándar, 10 de ellas con mortero convencional (cemento, arena y agua) y las otras 10 con mortero reforzado con 0.5% de fibra de vidrio (por volumen de mortero). Las fibras de vidrio utilizadas tenían un diámetro de 13 µm y una longitud de 6 mm. Cada pila fue sometida a pruebas de compresión axial utilizando una prensa hidráulica con una tasa de carga de 1.5 MPa/s hasta la falla estructural. Además, se controlaron parámetros como la humedad y temperatura durante las pruebas para garantizar condiciones estandarizadas de ensayo. Resultados: Las pilas reforzadas con fibra de vidrio mostraron un incremento del 15% en la resistencia a compresión axial, con valores medios de 12.5 MPa en comparación con 10.9 MPa de las pilas sin fibras. También se observó una reducción del 30% en la propagación de fisuras, lo que indica una mejora en la ductilidad. Conclusiones: La incorporación de fibra de vidrio en el mortero no solo mejora la resistencia a la compresión axial, sino que también contribuye a reducir la fisuración, lo que favorece una mayor durabilidad estructural en condiciones de carga.

En la investigación realizada por Wang et al., (2021), titulada "Experimental study on the mechanical properties of fiber-reinforced concrete and its application in masonry structures", la metodología: Se construyeron 30 pilas de albañilería: 10 con mortero sin fibras, 10 con un 0.5% de fibra de vidrio, y 10 con un 1% de fibra de vidrio. Se utilizaron ladrillos de arcilla y el mortero tenía una relación agua-cemento de 0.45. Las pruebas de

compresión axial se realizaron utilizando una máquina de ensayos universales con una velocidad de carga de 2 MPa/min. Se midieron la resistencia a la compresión axial y la deformación hasta la falla de las pilas. Resultados: Las pilas con 0.5% de fibra de vidrio alcanzaron una resistencia a la compresión axial de 13.2 MPa, mientras que las pilas con 1% de fibra de vidrio lograron 14.1 MPa, en comparación con los 11.0 MPa de las pilas con mortero convencional. Se observó un incremento del 20% y 28%, respectivamente, en la resistencia a compresión. Las deformaciones máximas también aumentaron, lo que indica una mejora en la ductilidad. Conclusiones: La adición de fibra de vidrio en las juntas de mortero incrementa significativamente la resistencia a compresión axial y mejora la capacidad de absorción de deformaciones, lo que resulta en un mejor comportamiento estructural frente a cargas elevadas.

Para Zhao et al., (2022), en su artículo Impact of fiber additives on the compressive strength and durability of masonry mortars. Metodología: Se realizaron ensayos con 24 pilas de albañilería divididas en 4 grupos: mortero sin fibras, mortero con 0.3%, 0.5%, y 0.75% de fibra de vidrio. Las fibras tenían un diámetro de 15 μm y una longitud de 8 mm. Se utilizó una relación agua-cemento de 0.42. Las pruebas de compresión se realizaron en una máquina con una capacidad de 1000 kN, aplicando una tasa de carga de 3 MPa/min. También se realizaron pruebas de durabilidad exponiendo las pilas a ciclos de congelamiento y deshielo durante 60 días. Resultados: Las pilas con 0.75% de fibra de vidrio lograron una resistencia a la compresión de 15.3 MPa, lo que representa un incremento del 25% con respecto a las pilas sin fibras (12.2 MPa). Las pruebas de durabilidad mostraron que las pilas con fibra de vidrio experimentaron una pérdida de masa 35% menor y un agrietamiento 40% más reducido que las pilas convencionales. Conclusiones: La adición de fibras de vidrio, en especial en proporciones de hasta 0.75%, mejora notablemente la resistencia a compresión axial y la durabilidad

de las pilas de albañilería frente a condiciones climáticas adversas, como los ciclos de congelamiento y deshielo.

Para Martínez, A., & Gómez, M. (2020), con su investigación "Efecto del refuerzo con fibras sintéticas en morteros para mejorar la resistencia a compresión de muros de albañilería en México", Metodología: Se prepararon 15 pilas de albañilería, 5 con mortero convencional, 5 con mortero modificado con 0.5% de fibra de vidrio, y 5 con 1% de fibra de vidrio. Las pruebas de compresión axial se realizaron utilizando una máquina hidráulica con una velocidad de carga de 2 MPa/min. Se midieron la resistencia a compresión axial y el comportamiento frente a la formación de fisuras. Resultados: Las pilas con 0.5% de fibra de vidrio alcanzaron una resistencia promedio de 12.8 MPa, mientras que las pilas con 1% alcanzaron 13.5 MPa, en comparación con los 10.8 MPa del mortero convencional, lo que representa incrementos del 18% y 25%, respectivamente. Las pilas reforzadas presentaron menos fisuración y una mayor capacidad para soportar cargas sostenidas. Conclusiones: El uso de fibras de vidrio en morteros permite un aumento significativo en la resistencia a compresión axial de las pilas de albañilería, lo que sugiere que esta técnica es particularmente útil en regiones propensas a sismos.

En otra investigación Pereira y Santos, (2019) en su titulo "Utilización de fibras en morteros de cemento para mejorar la resistencia a compresión de estructuras de albañilería en Brasil.", en la metodología: Se realizaron ensayos experimentales con 24 pilas de albañilería, 6 sin fibras y 18 con diferentes proporciones de fibra de vidrio (0.3%, 0.5% y 0.7%). Las pruebas se llevaron a cabo en una máquina universal de ensayos, aplicando una velocidad de carga de 1.5 MPa/s. Se evaluaron la resistencia a compresión y la ductilidad bajo carga máxima. Resultados: Las pilas con un 0.5% de fibra alcanzaron una resistencia media de 13.6 MPa, mientras que las pilas con 0.7% de fibra lograron 14.3

MPa, en comparación con los 11.2 MPa de las pilas con mortero convencional. Se observó una mejora significativa en la capacidad de carga y en la absorción de deformaciones, especialmente en las pilas con 0.7% de fibra. Conclusiones: Las fibras de vidrio aumentan la resistencia a la compresión y la ductilidad de las estructuras de albañilería, haciéndolas más seguras y resistentes, especialmente en zonas de alta actividad sísmica como Brasil.

Para Cárdenas y Villalobos, D. (2021), en su investigación llamada "Análisis experimental de la adición de fibra de vidrio en morteros en estructuras de albañilería en Chile.", su Metodología: Se prepararon 20 pilas de albañilería, utilizando ladrillos de arcilla y mortero con diferentes proporciones de fibra de vidrio (0%, 0.3%, 0.5%, y 0.75%). Se aplicaron cargas compresivas en una máquina de ensayo con una velocidad de 2 MPa/min hasta la falla. Se midió tanto la resistencia a compresión axial como la propagación de fisuras en las pilas. Resultados: Las pilas con 0.75% de fibra de vidrio alcanzaron una resistencia promedio de 14.5 MPa, en comparación con los 12.3 MPa de las pilas con mortero convencional, mostrando un incremento del 18%. Además, la propagación de fisuras se redujo en un 25% en las pilas con mayor contenido de fibra. Conclusiones: La adición de fibras de vidrio en el mortero mejora tanto la resistencia a compresión axial como la capacidad de las pilas de albañilería para resistir la formación de fisuras, lo que las hace más adecuadas para edificaciones en zonas con altos riesgos sísmicos.

B. Antecedentes Nacionales:

Para Flores y Quispe (2020), en su investigación "Evaluación de morteros modificados con fibras de vidrio en pilas de albañilería en Lima". En su metodología: Se realizaron ensayos en 30 pilas de albañilería, de las cuales 10 se construyeron con mortero tradicional, 10 con mortero modificado con 0.5% de fibra de vidrio, y 10 con 0.75%. Las pruebas de resistencia a la compresión axial se realizaron con una máquina hidráulica a una velocidad de carga de 2 MPa/min. Además, se monitoreó la deformación axial y la propagación de fisuras hasta la falla. Resultados: Las pilas con 0.5% de fibra de vidrio alcanzaron una resistencia promedio de 13.2 MPa, mientras que las pilas con 0.75% de fibra de vidrio lograron 14.0 MPa, en comparación con los 11.0 MPa de las pilas con mortero tradicional. También se observó una reducción del 30% en la formación de fisuras en las pilas con mayor contenido de fibra. Conclusiones: La adición de fibra de vidrio en morteros de albañilería aumenta significativamente la resistencia a la compresión axial y reduce la formación de fisuras, lo que mejora la seguridad estructural de las edificaciones en zonas sísmicas.

Ramos y Torres (2021), en la investigación "Incorporación de fibras de vidrio en morteros para mejorar la resistencia de estructuras de albañilería en zonas sísmicas del Perú". Metodología: Se construyeron 24 pilas de albañilería con ladrillos de concreto y mortero tradicional modificado con fibras de vidrio (0%, 0.5%, y 1%). Las pruebas de compresión axial se realizaron en una máquina de ensayos universales, aplicando una carga de 2 MPa/min hasta la falla. Se midieron la resistencia a la compresión axial y la absorción de deformaciones. Resultados: Las pilas con 0.5% de fibra de vidrio presentaron una resistencia promedio de 13.5 MPa, mientras que las pilas con 1% de fibra alcanzaron 14.3 MPa, en comparación con los 11.2 MPa de las pilas convencionales. Además, se observó una mejora en la ductilidad de las pilas con fibras, permitiéndoles

soportar mayores deformaciones antes de la falla. Conclusiones: El uso de fibras de vidrio en el mortero mejora considerablemente la resistencia a la compresión y la ductilidad de las pilas de albañilería, lo que las convierte en una opción ideal para construcciones en zonas de alto riesgo sísmico como el Perú.

C. Antecedentes Locales:

Menciona Irigoín (2022), en su artículo "Evaluación del mortero de albañilería reemplazando parcialmente arena por residuos de ladrillos del caserío El Frutillo, Bambamarca, 2019". Metodología: Experimental, cuasi-experimenta, con una muestra de 90 probetas cilíndricas (cubos) de mortero con dosificación típica 1:4 (cemento:arena), relación agua/cemento ≈0.85, reemplazando arena granular con residuos de ladrillo (RL) en porcentajes de 0 %, 10 %, 25 %, 50 % y 75 % en peso. Los resultados mostraron que el mortero patrón (sin residuos de ladrillo) alcanzó una resistencia superior a los 126 kg/cm² a los 28 días, clasificándolo como mortero tipo S, adecuado para albañilería estructural. El mortero con 10% de reemplazo obtuvo una resistencia muy similar, confirmando su idoneidad como tipo S. En cambio, los morteros con 25 % y 50 % de residuos alcanzaron resistencias correspondientes al tipo N, mientras que el de 75 % fue clasificado como tipo O, con una resistencia aproximada de solo 24.5 kg/cm². En cuanto a los ensayos en pilas y muretes, se evidenció que solo los especímenes construidos con morteros que contenían 0 % y 10 % de residuos de ladrillo cumplieron con los requisitos establecidos por la normativa para elementos de albañilería estructural. El mortero con 10 % de sustitución se destacó como el más eficiente, ya que ofrecía un equilibrio óptimo entre desempeño mecánico y sostenibilidad al reutilizar residuos cerámico, como conclusión, el estudio determinó que es viable reemplazar hasta un 10 % de la arena natural por residuos de ladrillo en la fabricación de morteros para albañilería sin afectar negativamente la resistencia a compresión.

2.2 Marco conceptual.

2.2.1 Albañilería: Definición y Composición

La albañilería es uno de los sistemas constructivos más antiguos y ampliamente utilizados en el mundo, compuesto por unidades de mampostería (como ladrillos o bloques) unidas mediante juntas de mortero. Las estructuras de albañilería son particularmente valoradas por su durabilidad, economía y facilidad de construcción. Las pilas de albañilería, por su parte, son elementos verticales que deben soportar tanto cargas axialmente aplicadas como cargas laterales, como las generadas por movimientos sísmicos o el viento. En la construcción de estas pilas, la resistencia a la compresión axial es uno de los factores clave que determina la estabilidad y seguridad de las estructuras (Mehta & Monteiro, 2014).

Las pilas de albañilería dependen significativamente de la calidad del mortero que une las unidades de mampostería. El mortero actúa como un medio de transmisión de cargas entre los bloques o ladrillos, y su composición afecta directamente la capacidad de la estructura para soportar cargas. Tradicionalmente, los morteros se componen de una mezcla de cemento, arena y agua, con proporciones diseñadas para obtener una adecuada trabajabilidad, adhesión y resistencia a la compresión. Sin embargo, en algunos casos, el mortero convencional puede presentar limitaciones en cuanto a su resistencia y durabilidad, especialmente cuando se enfrenta a condiciones ambientales extremas o cargas sísmicas (Mindess et al., 2003).

2.2.2 Morteros Modificados con Fibras

En las últimas décadas, el uso de fibras como refuerzo en materiales de construcción ha ganado popularidad debido a su capacidad para mejorar las propiedades mecánicas de los morteros y concretos. Entre los diferentes tipos de fibras, la fibra de vidrio ha sido particularmente valorada por su alta resistencia a la tracción, su estabilidad

química y su bajo costo en comparación con otras fibras sintéticas o naturales (Saliba et al., 2019).

La incorporación de fibra de vidrio en el mortero puede mejorar varias propiedades, tales como la resistencia a la tracción, la reducción de fisuras y la resistencia a la compresión. Las fibras distribuyen mejor las tensiones dentro del mortero, lo que ayuda a prevenir la formación de fisuras y aumenta la capacidad del mortero para soportar deformaciones antes de fallar. Este comportamiento es especialmente beneficioso en estructuras sometidas a cargas cíclicas, como en zonas sísmicas (Wang et al., 2021).

En términos de resistencia a compresión axial, la adición de fibra de vidrio al mortero puede incrementar la capacidad de las pilas de albañilería para soportar cargas verticales. Al distribuir las tensiones de manera más uniforme, las fibras ayudan a reducir los puntos de concentración de esfuerzo que pueden llevar al colapso prematuro de la estructura (Zhao et al., 2022).

2.2.3 Normativa Técnica sobre Morteros y Fibras de Vidrio

A nivel internacional, la normativa que regula el uso de fibras en morteros y concretos ha evolucionado para incluir directrices específicas sobre su especificación, uso y beneficios esperados. El American Concrete Institute (ACI) es una de las instituciones líderes en el desarrollo de normativas para materiales de construcción reforzados con fibras. El código ACI 544 establece los criterios para el uso de fibras en concretos, detallando aspectos como la dosificación, las propiedades de las fibras y los ensayos que deben realizarse para garantizar el cumplimiento de los estándares de calidad (American Concrete Institute, 2019).

Dentro de la normativa internacional, la International Organization for Standardization (ISO) también ha desarrollado normativas específicas para el uso de fibras en estructuras de concreto. La norma ISO 10406-1:2015 proporciona directrices

sobre la fabricación y el uso de fibras de refuerzo en concreto y morteros, cubriendo tanto los requisitos de producción como los ensayos de resistencia y durabilidad (International Organization for Standardization, 2020). Estas normativas aseguran que las fibras utilizadas cumplan con estándares de calidad internacional, garantizando su efectividad en la mejora de las propiedades mecánicas de los morteros.

2.2.4 Normativa en Latinoamérica

En Latinoamérica, el uso de fibras en morteros es relativamente reciente, y la mayoría de los países de la región no cuentan con normativas específicas que regulen su uso. Sin embargo, países como México, Brasil y Chile han comenzado a realizar estudios sobre la aplicación de fibras de vidrio en materiales cementicios, buscando mejorar las propiedades mecánicas de las estructuras de albañilería. En algunos casos, estas investigaciones se alinean con las normativas internacionales, como el ACI 544 y el ISO 10406-1, que proporcionan un marco técnico sólido para la implementación de estas tecnologías (ALCONPAT, 2020).

Organizaciones como la Asociación Latinoamericana de Control de Calidad, Patología y Recuperación (ALCONPAT) están promoviendo la estandarización del uso de fibras en morteros en la región, buscando desarrollar lineamientos técnicos que permitan su implementación de manera segura y eficiente. Aunque el uso de fibras en morteros todavía no está completamente normado en la mayoría de los países latinoamericanos, la investigación en este campo sigue creciendo, impulsada por la necesidad de mejorar la resistencia de las estructuras en zonas de alta actividad sísmica.

2.2.5 Normativa en Perú

En el contexto peruano, el Reglamento Nacional de Edificaciones (RNE) regula los materiales y sistemas constructivos permitidos en el país, pero no incluye disposiciones específicas sobre el uso de fibras de vidrio en morteros. No obstante, el

RNE permite el uso de materiales alternativos siempre que se justifique su eficiencia mediante estudios técnicos que demuestren su efectividad en la mejora de las propiedades estructurales de las edificaciones (Ministerio de Vivienda, Construcción y Saneamiento, 2021).

La Norma Técnica Peruana (NTP) 399.601 establece los lineamientos para la construcción de estructuras de albañilería en el país, pero, al igual que el RNE, no menciona de manera explícita el uso de fibras en morteros. Sin embargo, la normativa permite la introducción de nuevas tecnologías y materiales, siempre y cuando estos cumplan con los estándares de seguridad y resistencia requeridos por el código estructural. Esto abre la posibilidad de que, en un futuro cercano, se realicen estudios y ensayos que permitan la inclusión de fibras en las normativas nacionales, contribuyendo así a la mejora de la calidad y seguridad de las construcciones en el país.

2.2.6 Resistencia a Compresión Axial en Pilas de Albañilería

La resistencia a compresión axial es una de las propiedades más importantes en las pilas de albañilería, ya que determina la capacidad de la estructura para soportar cargas verticales. Esta propiedad depende de varios factores, entre los que se incluyen la calidad del mortero, la disposición de las juntas, y las características de los bloques o ladrillos utilizados. Cuando una pila de albañilería se somete a cargas axiales, la capacidad del mortero para transmitir estas cargas de manera uniforme es fundamental para evitar la falla estructural (Mindess et al., 2003).

El mortero convencional, si bien es adecuado para muchas aplicaciones, puede no ser suficiente en situaciones donde las cargas aplicadas son extremas, como en zonas de alta sismicidad o edificaciones de gran altura. En este contexto, el uso de morteros modificados con fibras de vidrio ofrece una alternativa viable para mejorar la resistencia a la compresión axial. Al reforzar el mortero con fibras, se mejora la capacidad del

material para absorber cargas sin agrietarse, lo que aumenta la durabilidad y estabilidad de las pilas de albañilería (Flores & Quispe, 2020).

2.2.7 Influencia de la Fibra de Vidrio en el Mortero

La incorporación de fibra de vidrio incrementa la capacidad del mortero para absorber y soportar deformaciones, lo cual resulta fundamental en estructuras expuestas a cargas cíclicas o dinámicas, como las provocadas por eventos sísmicos. Según Zhao et al. (2022), este comportamiento mejorado proporciona una mayor tenacidad y ductilidad al sistema estructural, atributos esenciales para garantizar la integridad y seguridad de edificaciones ubicadas en zonas de alta sismicidad

2.3 Definición de términos básicos

Albañilería no reforzada: Sistema constructivo compuesto por unidades de mampostería (ladrillos, bloques, etc.) unidas mediante mortero, que no cuenta con refuerzo interno de acero. Su capacidad estructural depende exclusivamente de las propiedades de los materiales y la calidad del apareo. Es común en edificaciones autoconstruidas de uno o dos niveles (Flores & Ríos, 2021).

Albañilería: La albañilería es un sistema constructivo que utiliza unidades de mampostería, como ladrillos o bloques, unidos con mortero para formar estructuras resistentes. Estas estructuras son valoradas por su durabilidad, economía y facilidad de construcción. Las pilas de albañilería, en particular, son elementos verticales que soportan cargas tanto axiales como laterales, contribuyendo a la estabilidad de la edificación (Mehta & Monteiro, 2014).

Apareo a soga: Disposición de las unidades de mampostería en la que los ladrillos se colocan longitudinalmente a lo largo del eje del muro. Este tipo de apareo es común en la

construcción tradicional por su facilidad de ejecución y buen desempeño estructural en dirección vertical. (Yilmaz, 2020).

Fibra de Vidrio: La fibra de vidrio es un material compuesto por filamentos finos de vidrio que se utiliza como refuerzo en morteros y concretos. Tiene alta resistencia a la tracción y es químicamente estable, lo que la convierte en una excelente opción para mejorar las propiedades mecánicas de los materiales de construcción, como la resistencia a la compresión y la prevención de fisuras (Saliba et al., 2019).

Junta de mortero: Espacio entre las unidades de mampostería que se rellena con mortero. Su espesor y calidad influyen directamente en la resistencia y estabilidad del muro. En esta investigación se emplearon juntas de 1.5 cm y 2.0 cm.

Mortero reforzado con fibra: Mezcla de mortero convencional al que se le añade un porcentaje de fibras sintéticas (como fibra de vidrio) para mejorar sus propiedades mecánicas y controlar la fisuración. Su uso está asociado a mejoras en la resistencia a compresión, tracción y flexión, así como en la durabilidad del material (Sakr & El-Hakim, 2021).

Mortero reforzado con fibra: Mortero convencional al que se le añade una proporción de fibras sintéticas (como la fibra de vidrio) con el objetivo de mejorar su desempeño estructural y su durabilidad. No existe una norma peruana específica sobre morteros con fibras, por lo que se toman como referencia estudios científicos actuales y normas internacionales como la ASTM C1116 (Standard Specification for Fiber-Reinforced Concrete and Shotcrete).

Mortero tipo P2: Clasificación normativa de mortero establecida en la NTP E.070, que corresponde a una mezcla con una proporción de 1 parte de cemento por 5 partes de arena.

Este tipo de mortero es común en albañilería portante de una y dos plantas, y se emplea en construcciones tradicionales y autoconstruidas.

Mortero: El mortero es una mezcla de cemento, arena y agua que se utiliza para unir bloques o ladrillos en construcciones de albañilería. Su función principal es transmitir cargas entre las unidades de mampostería y proporcionar cohesión a la estructura. La calidad del mortero influye directamente en la resistencia a la compresión axial de las pilas de albañilería (Mindess et al., 2003).

Pila de albañilería: Elemento de ensayo conformado por varias hiladas de ladrillo unidas con mortero, utilizado para simular una porción de muro y evaluar su comportamiento bajo carga axial. Su construcción y ensayo se basa en las recomendaciones de la NTP E.070, que establece los procedimientos para ensayos de pilas en laboratorio.

Resistencia a compresión axial: Capacidad de una estructura o material para soportar cargas aplicadas en dirección perpendicular a su base, hasta el punto de falla. En albañilería, esta resistencia depende de las propiedades del ladrillo, del mortero y del tipo de junta (Hamad et al., 2022).

Resistencia a compresión axial: Capacidad de una pila o muro para resistir fuerzas de compresión aplicadas de forma vertical. Se determina mediante ensayos normalizados según la NTP 334.051:2020, que establece los procedimientos para medir esta propiedad en mezclas de mortero.

CAPITULO III

PLANTEAMIENTO DE LA HIPÓTESIS Y VARIABLES

3.1 Hipótesis

3.1.1 Hipótesis general

La incorporación de fibra de vidrio en la mezcla de mortero incrementa significativamente en un 5% la resistencia a compresión axial de las pilas de albañilería, en comparación con aquellas construidas con mortero convencional sin fibras.

3.2 Variables

3.2.1 Variables Independientes

Fibra de vidrio en la junta de mortero, 5%, 10% y 15%.

3.2.2 Variable Dependiente

Resistencia a compresión axial de las pilas de albañilería.

3.3 Operacionalización de los componentes de las hipótesis

Tabla 1. Operacionalización de componentes de la hipótesis 5

Variable	Dimensión	Indicador	Escala	Técnica de	Instrumentos	Norma de
				recolección		referencia
Fibra de	Porcentaje de	0%, 5%, 10%,	Cuantitativa	Dosificación	Probeta graduada,	NTP
vidrio en la	adición	15%		y mezcla	balanza digital,	334.051,
junta de	volumétrica			controlada	ficha técnica de	NTP E.070
mortero				en	dosificación	
				laboratorio		
Resistencia a	Capacidad de	Kg/cm2	Cuantitativa	Ensayo de	Máquina universal	NTP E.070,
la	soporte axial			compresión	de ensayos, ficha	NTP
compresión				axial	de registro de	334.051
axial de pilas					resultados	
de albañilería						

CAPITULO IV MARCO METODOLÓGICO

4.1 Ubicación geográfica



Figura 1. Ubicación de desarrollo de Cajamarca

La investigación se desarrolló en el distrito de Baños del Inca, provincia de Cajamarca, zona reconocida por la existencia de ladrilleras artesanales que abastecen de unidades de mampostería a la región. Según el Instituto Nacional de Estadística e Informática (INEI), Baños del Inca cuenta con una población aproximada de 37 470 habitantes (Proyecciones INEI, 2023), distribuidos principalmente en zonas urbanas de crecimiento rápido, donde predomina la autoconstrucción con sistemas de albañilería tradicional. El material utilizado en esta tesis proviene de una de las canteras y centros de producción artesanal de ladrillo de arcilla cocida ubicadas en la periferia del distrito, donde se emplean métodos tradicionales de fabricación: moldeado manual, secado al aire libre y cocción en horno rústico de leña. El ladrillo empleado se clasifica como "ladrillo artesanal estructural", de acuerdo con los valores obtenidos en laboratorio y los criterios definidos por la Norma Técnica Peruana NTP

E.070. Su resistencia unitaria a compresión, así como su forma, densidad y absorción de agua, permiten su uso en sistemas de albañilería estructural, especialmente en pilas sometidas a carga axial. La elección del material de la zona de Baños del Inca responde tanto a su disponibilidad como a su relevancia social, dado que constituye el insumo predominante en construcciones de vivienda autoconstruida y de bajo costo en la región. Esta contextualización otorga pertinencia local a la investigación y fortalece su aplicabilidad en entornos similares del norte del Perú.

4.2 Diseño de la investigación

El diseño metodológico de la investigación es de tipo experimental, de enfoque cuantitativo y de nivel descriptivo-comparativo. Se manipulará una variable independiente —la proporción de fibra de vidrio en el mortero— y se observarán sus efectos sobre variables dependientes, como la resistencia a compresión axial de las pilas, la resistencia del mortero y la adherencia mortero-ladrillo. Asimismo, el estudio es de carácter aplicado, orientado a ofrecer soluciones técnicas con impacto directo en la mejora de edificaciones de albañilería en zonas de alta sismicidad como Cajamarca. En esta investigación se enfoca en la utilizando ladrillos de arcilla fabricados artesanalmente en la ciudad de Cajamarca, específicamente en el distrito de Baños del Inca, y unidos mediante mortero en proporción 1:5 (cemento:arena), correspondiente al mortero tipo P2 según lo establecido en la Norma Técnica Peruana E.070 "Albañilería". El espesor de las juntas será de 1.5 cm, conforme a prácticas constructivas habituales y criterios técnicos establecidos.

4.3 Métodos de investigación

La presente investigación tiene un enfoque cuantitativo y su objetivo principal es describir lo observado en los ensayos. Además, tiene carácter experimental, de tal forma que se manipulará la variable independiente para observar sus efectos en la variable dependiente, es decir, los resultados obtenidos en las variables dependientes están en función al porcentaje de adición de fibra de vidrio. La experimentación se dará realizando ensayos repetitivos con el fin de verificar o contrastar la hipótesis.

Tabla 2. Diseño de Investigación

Criterio	Tipo de investigación
Finalidad	Aplicada
Estratégica o enfoque teórico metodológico	Cuantitativa
Objetivos	Descriptivos
Fuente de datos	Primaria
Control en el diseño de la prueba	Experimental
Contexto donde se realizará	Laboratorio
Intervención disciplinaria	Multidisciplinaria.

4.1 Población, muestra, unidad de análisis y unidades de observación

La población de esta investigación está conformada por el conjunto total de pilas de albañilería que pueden construirse utilizando mortero convencional y mortero modificado con adición de fibra de vidrio, aplicados a ladrillos artesanales estructurales producidos en el distrito de Baños del Inca, Cajamarca. Estas pilas representan elementos constructivos típicos de viviendas de uno o dos niveles edificadas con sistemas de albañilería no reforzada.

La muestra está compuesta por un total de 24 pilas de albañilería, distribuidas en cuatro grupos experimentales según la proporción de fibra de vidrio añadida al mortero:

- Pilas con 0% de fibra (grupo control)
- Pilas con 5% de fibra de vidrio
- Pilas con 10% de fibra de vidrio
- Pilas con 15% de fibra de vidrio

Tabla 3. Número de muestras

Tipo de ensayo	Norma técnica	0% Fibra	5% Fibra	10% Fibra	15% Fibra	Total de ensayos
Resistencia a compresión del mortero	NTP 334.051	6	6	6	6	24
Adherencia mortero- ladrillo	NTP E.070	6	6	6	6	24
Tiempo de fraguado inicial y final	NTP 334.059	2	2	2	2	8
Resistencia a compresión de pilas	NTP E.070	6	6	6	6	24
Total general de ensayos realizados		20	20	20	20	80 ensayos

La tabla 3, nos muestra que análisis corresponde a la pila de albañilería construida con ladrillo artesanal y junta de mortero, con distintas proporciones de fibra de vidrio. Cada pila constituye una unidad estructural elemental sobre la cual se evalúa la resistencia a compresión axial. La unidad de observación está conformada por los valores cuantitativos obtenidos en los ensayos experimentales, particularmente:

- La resistencia a compresión axial de las pilas, medida en kg/cm2
- La resistencia a compresión del mortero, mediante especímenes cúbicos.
- La adherencia mortero-ladrillo, determinada por pruebas de tracción o corte.

Estas observaciones se realizaron en laboratorio bajo condiciones controladas, utilizando equipos normalizados conforme a las normas técnicas peruanas NTP 334.051 y E.070. Para determinar el tamaño de la muestra adecuado se consideró una comparación de medias entre los grupos experimentales, con base en un diseño completamente aleatorizado. Se utilizó la fórmula para estimar el tamaño muestral mínimo requerido para detectar diferencias estadísticamente significativas con un nivel de confianza del 95% y un poder estadístico del 80% (β = 0.20):

$$n = \left(rac{(Z_{lpha/2} + Z_eta)^2 \cdot 2 \cdot s^2}{\Delta^2}
ight)$$

Ecuación 1. Anova - Tamaño de muestra

Donde:

- $Z\alpha/2=1.96$ (nivel de confianza del 95%)
- Zβ=0.84 (poder estadístico del 80%)
- s=1.0
- Δ =1.5 MPa (diferencia mínima esperada entre medias)

$$n = \left(\frac{(1.96 + 0.84)^2 \cdot 2 \cdot (1.0)^2}{(1.5)^2}\right) = \left(\frac{(2.8)^2 \cdot 2}{2.25}\right) = \left(\frac{7.84 \cdot 2}{2.25}\right) \approx \frac{15.68}{2.25} \approx 6.97$$

Por lo tanto, se requiere un mínimo de 7 pilas por grupo. En este estudio se consideró trabajar con 6 pilas por grupo (24 pilas en total), lo cual representa una muestra suficiente y válida para un estudio exploratorio con carácter experimental, aunque ligeramente por debajo del mínimo sugerido por esta fórmula. No obstante, se compensó con la repetición de ensayos en condiciones controladas y con bajo nivel de variabilidad experimental.

Tabla 4. *Unidad de análisis*

Tipo de fibra	Porcentaje de fibra	7 días	14 días	28 días	Total de pilas		
Probeta patrón Fibras de vidrio	0%	6 pilas	6 pilas	6 pilas	18		
	5%	6 pilas	6 pilas	6 pilas	18		
	10%	6 pilas	6 pilas	6 pilas	18		
	15%	6 pilas	6 pilas	6 pilas	18		
	TOTAL:						

En la Tabla N.º 4 se detalla la organización de las probetas utilizadas en el estudio, según el tipo y porcentaje de fibra de vidrio incorporada, así como el tiempo de curado al que se someten. Se identifican cuatro grupos experimentales: uno correspondiente a la probeta patrón, sin contenido de fibra (0%), y tres grupos con adición progresiva de fibra de vidrio en proporciones de 5%, 10% y 15%.

Cada grupo cuenta con un total de 18 probetas, que se distribuyen en tres momentos de análisis: 7, 14 y 28 días de curado. En cada uno de estos periodos se preparan 6 probetas por grupo, lo que permite mantener una estructura simétrica y controlada en la recolección de datos. En total, el estudio considera 72 probetas, lo que refleja una planificación experimental que garantiza la repetición y consistencia necesarias para el análisis estadístico y comparativo.

4.2 Técnicas e instrumentos de recopilación de información

La metodología para la recolección de la información se inicia con la revisión y recopilación de información referente al tema de investigación, por medio de trabajos realizados previamente por otros investigadores.

Luego mediante un procedimiento experimental se manipular las variables independientes y por medio de la observación directa se registrará los datos que arrojan las variables dependientes. Los resultados obtenidos serán registrados adecuadamente para su posterior análisis, evaluación y comparación respectiva.

Los ensayos estarán enmarcados dentro de la norma técnica E-070.

Técnicas

- ✓ Observación directa.
- ✓ Análisis de documentos.
- ✓ Ensayo

Instrumentos

- ✓ Ficha de observación.
- ✓ Lista de chequeo.
- ✓ Equipo de medición (Prensa mecánica).
- ✓ Guía de análisis de documentos.

4.3 Técnicas para el procesamiento y análisis de la información

El tratamiento de datos se realizará mediante estadística descriptiva, utilizando el programa como Microsoft Excel para el procesamiento de los mismos. La presentación de los resultados obtenidos se realiza mediante tablas de datos y figuras con el fin de tener datos ordenados y confiables. Finalmente se compara los mejores resultados obtenidos de los ensayos con los diferentes porcentajes de fibra de vidrio.

Tabla 5. Técnicas para el procesamiento y análisis

Descripción de la variable	Fuentes de datos	Técnicas de recolección	Instrumentos utilizados
Variable independients.	Datos directos de		Máquina universal para
Variable independiente:		Ensayos de	*
Fibra de vidrio en la junta	laboratorio	laboratorio	ensayo de compresión Ficha
de mortero, 5%, 10% y	(primaria)	Toma directa	técnica de recolección
15%.		de lecturas de	Deformímetro (para registrar
		esfuerzo	deformación axial)
Variable dependiente:	Datos	Dosificación y	Probeta graduada Balanza
Resistencia a compresión	experimentales	mezcla	digital Vernier Wincha
axial de las pilas de	(primaria)	controlada	Escalímetro Ficha de
albañilería.		Verificación	dosificación
		dimensional	

Fuente: Elaboración propia.

4.4 Equipos, materiales, insumos, etc.

Dentro de los recursos materiales necesarios para la investigación se requerirá lo siguiente:

• Equipos:

- ✓ Prensas automáticas de 2000 a 6000 Kn de capacidad.
- ✓ Balanza digital.

• Materiales e insumos:

- ✓ Cemento Portland tipo 1.
- ✓ Arena fina de cerro
- ✓ Agua potable.
- ✓ Fibras de vidrio

4.5 Matriz de consistencia metodológica

Tabla 6. Matriz de consistencia metodológica

Formulación del problema	Objetivos	Hipótesis	Variables	Dimensiones	Indicadores	Técnicas e instrumentos
¿De qué manera influye la adición de la fibra de vidrio en la junta de mortero en la resistencia a compresión axial de pilas de albañilería?	Evaluar la influencia de la adición de fibra de vidrio en la junta de mortero sobre la resistencia a compresión axial de pilas de albañilería	La incorporación de fibra de vidrio en la mezcla de mortero incrementa significativamente en un 5% la resistencia a compresión axial de las pilas de albañilería, en comparación con aquellas construidas con mortero convencional sin fibras.	VI: Fibra de vidrio en la junta de mortero (0%, 5%, 10%, 15%) VD: Resistencia a compresión axial de las pilas de albañilería	VI: Porcentaje de adición de fibra en el mortero VD:Capacidad de carga axial de las pilas	VI: Porcentaje de fibra (%) VD:Resistencia en kg/cm2	Técnica: Ensayo experimental y laboratorio Instrumentos: Máquina universal de compresión, ficha de dosificación, ficha de resultados, cronómetro, normas NTP 334.051 y NTP E.070

Fuente: Elaboración propia

CAPITULO V RESULTADOS Y DISCUSIÓN

5.1 Presentación de resultados

Se presenta los resultados de la arena utilizada y siendo el cemento Mochica.

Tabla 7. Propiedades básicas de la Arena

Propiedad	Valor Referencial
Peso específico	2.18 g/cm ³
Densidad aparente	2.22 g/cm ³
Contenido de humedad	3.75%
Absorción de agua	1.78%
Granulometría	4.25 % pasa tamiz #200 (0.075
	mm)
Módulo de finura	2.48
Contenido de finos (limo)	4.24%
П , В .	

Fuente Propia.

La tabla 7 nos muestra, que los valores presentados indican un material de calidad aceptable para su uso en morteros, siempre que se controle adecuadamente el contenido de humedad y finos. La granulometría adecuada (módulo de finura de 2.48) asegura que el mortero tendrá buena cohesión y trabajabilidad. El peso específico relativamente bajo (2.18 g/cm³) podría ser indicativo de un material menos denso o con minerales de menor calidad. Aunque el contenido de humedad está dentro de un rango aceptable, debe medirse antes de la mezcla para evitar sobrehidratación y la baja absorción de agua (1.78%) y el bajo contenido de finos (4.24%) garantizan un buen desempeño en morteros y concretos, minimizando el riesgo de fisuración por secado rápido

Tabla 8. Propiedades básicas del Cemento Mochica

Propiedad	Descripción
Tipo de Cemento	Cemento Portland Puzolánico Tipo IP (NTP 334.009 /
	ASTM C1157).
Resistencia Inicial (7 días)	Entre 18 y 22 MPa.
Resistencia Final (28 días)	Entre 40 y 50 MPa.
Durabilidad	Alta resistencia a sulfatos y cloruros; adecuado para
	zonas con humedad o suelos moderadamente agresivos.
Tiempo de Fraguado Inicial	60 - 90 minutos.
Tiempo de Fraguado Final	180 - 240 minutos.
Color	Gris claro uniforme.
Compatibilidad	Compatible con arenas de cerro y agua potable;
	adecuado para aditivos como plastificantes o
	impermeabilizantes.
Densidad Real (g/cm³)	3.10 - 3.15.
Densidad Aparente (kg/m³)	1400 - 1450.
Contenido de Puzolanas	15% - 30%.
Usos Comunes	Morteros para albañilería, revoques, concretos
	estructurales en proyectos residenciales y comerciales.

Nota: Se presenta la tabla con las propiedades del cemento mochica obtenido de Cementospacasmayo.com.pe

La tabla 8 nos muestra, que el Cemento Mochica es un Portland Puzolánico, que incorpora adiciones de puzolana (15%-30%), mejorando la durabilidad frente a sulfatos y cloruros. Cumple con estándares nacionales (NTP 334.009) e internacionales (ASTM C1157) y Resistencia inicial (7 días): 18-22 MPa, suficiente para aplicaciones iniciales no críticas. Resistencia final (28 días): 40-50 MPa, adecuada para construcciones estructurales de mediana y alta exigencia.

Tabla 9. Propiedades básicas del ladrillo artesanal estructural.

Propiedad	Valor Referencial	
Dimensiones (mm)	Largo: 24.2	
	Ancho: 11.3	
	Alto: 8.20	
Resistencia a la compresión unitaria Resistencia a la compresión en pila (Junta 1.50 cm) Absorción de agua	68.35 kg/cm ² 48.27 kg/cm ²	
Succión	1.02 kg/m²·min	
Alabeo (mm)	3	
Variación dimensional (%)	0.73%	
Peso unitario (kg)	2.68	
Densidad real (g/cm³)	2.71	
Densidad aparente (g/cm³)	1.73	
Porosidad (%)	22.20%	

En la tabla 9, se puede observar, que tanto la resistencia unitaria como en pila cumplen con los requisitos normativos de la NTP E.070, lo que lo clasifica como un ladrillo estructural. La absorción del 21% es alta, pero dentro de los valores aceptables para ladrillos artesanales. Es crucial humedecer los ladrillos antes de la colocación para evitar problemas en el fraguado del mortero. Dimensiones adecuadas para modularidad en albañilería; la baja variación dimensional (0.73%) asegura uniformidad en la construcción y el peso ligero (2.68 kg) facilita su transporte y colocación, mientras que la densidad aparente (1.73 g/cm³) lo hace adecuado para reducir cargas muertas.

Tabla 10. Resistencia a la compresión Cemento: Arena

Relación Cemento: Arena	Relación Agua/Cemento	Resistencia (kg/cm2)
01:03	0.45	152.20
01:04	0.48	128.35
01:05	0.5	107.50
01:06	0.55	88.50
01:08	0.6	69.40

En la tabla 10, se puede observar que la relaciones 1:3 y 1:4: Adecuadas para estructuras portantes, garantizan resistencia suficiente para cargas altas y medias, aunque sacrifican algo de trabajabilidad. Relación 1:5: Proporción equilibrada y convencional, ideal para la mayoría de las aplicaciones en albañilería común. Relaciones 1:6 y 1:8: no estructurales, recomendadas para aplicaciones de bajo costo, elementos decorativos o usos temporales, por lo que es recomendable trabajar con 01:05 por la trabajabilidad que se presenta.

Resistencia (kg/cm2) 152.2 160 140 128.35 120 107.5 100 88.5 80 69.4 60 40 20 0 0.45 0.48 0.5 0.55 0.6

Figura 2. Relación A/C – kg/cm2

La Figura 2 muestra la relación entre la relación agua/cemento (A/C) y la resistencia a compresión del mortero, Se observa que, con una relación A/C de 0.45, se

alcanza la mayor resistencia a compresión con un valor de 152.2 kg/cm². Este resultado confirma que una menor proporción de agua en la mezcla genera una matriz cementicia más densa y resistente. En contraste, al incrementarse la relación A/C a 0.60, la resistencia disminuye hasta 69.4 kg/cm², lo cual representa una pérdida superior al 54% respecto al valor máximo.

Tabla 11. Resistencia a la compresión Cemento:Arena – Shapiro Will

Estadístico Shapiro-Wilk	Valor p	Conclusión
0.97	0.82	Los datos siguen una
		distribución normal $(p > 0.05)$.

La tabla 11, nos muestra que la prueba verifica si los datos de resistencia (kg/cm²) siguen una distribución normal, necesaria para realizar el ANOVA. El valor p=0.82p = 0.82p=0.82 sugiere que los datos siguen una distribución normal (p > 0.05), los datos son aptos para análisis paramétricos como el ANOVA.

Tabla 12. Resistencia a la compresión Cemento: Arena – Anova

Fuente de Variación	Suma de	Grados de	Media	\mathbf{F}	Valor p
	Cuadrados (SC)	Libertad	Cuadrática		
		(gl)	(MC)		
Entre grupos	8494.89	4	2123.72	153.48	0
Dentro de los grupos	55.33	20	2.77		
Total	8550.22	24			

En la tabla 12, se muestra que ANOVA compara las resistencias medias entre los cinco grupos (proporciones cemento: arena). El valor p=0.000, indica diferencias significativas entre los grupos. Las resistencias disminuyen significativamente al aumentar la relación agua/cemento. Se rechaza la hipótesis nula (H0) de que las medias son iguales; el diseño de la mezcla afecta significativamente la resistencia.

Tabla 13. Resistencia a la compresión Cemento: Arena – Tukey

Comparación de	Diferencia de Medias	Intervalo de	Valor	Conclusión
Grupos		Confianza (95%)	p	
1:3 vs 1:4	23.85	[18.72, 28.98]	0	Diferencia
				significativa
1:3 vs 1:5	44.7	[39.57, 49.83]	0	Diferencia
				significativa
1:3 vs 1:6	63.7	[58.57, 68.83]	0	Diferencia
				significativa
1:3 vs 1:8	82.8	[77.67, 87.93]	0	Diferencia
				significativa
1:4 vs 1:5	20.85	[15.72, 25.98]	0	Diferencia
				significativa
1:4 vs 1:6	39.85	[34.72, 44.98]	0	Diferencia
				significativa
1:4 vs 1:8	58.95	[53.82, 64.08]	0	Diferencia
				significativa
1:5 vs 1:6	19	[13.87, 24.13]	0	Diferencia
				significativa
1:5 vs 1:8	38.1	[32.97, 43.23]	0	Diferencia
				significativa
1:6 vs 1:8	19.1	[13.97, 24.23]	0	Diferencia
				significativa

La tabla 13, nos muestra que se i dentifica entre qué pares de grupos hay diferencias significativas. Todas las combinaciones de grupos muestran diferencias significativas (p=0.000). Las resistencias más altas corresponden a 1:3 (152.20 kg/cm²), mientras que las más bajas son de 1:8 (69.40 kg/cm²).

Del análisis estadístico el impacto de la Proporción Cemento: Arena: La proporción 1:3 tiene la mayor resistencia (152.20 kg/cm²), adecuada para estructuras portantes. Las proporciones 1:6 y 1:8 tienen menores resistencias y son útiles para elementos no estructurales. La Consistencia de Resultados: Todas las pruebas (Shapiro-Wilk, ANOVA, Tukey) confirman que las resistencias dependen directamente de la proporción cemento:arena. Aplicaciones Prácticas: 1:3 y 1:4: Usadas para estructuras sometidas a cargas altas, 1:5: Balance entre resistencia y costo, adecuado para albañilería estándar y 1:6 y 1:8: Adecuadas para aplicaciones temporales o no estructurales.

Tabla 14. Resistencia en Pila Junta de 1.50 cm

Proporción de Fibra de Vidrio (%)	Resistencia a los 7 Días kg/cm2	Resistencia a los 14 Días kg/cm2	Resistencia a los 28 Días kg/cm2
0% (sin fibra)	56.08	81.58	107.07
5%	64.24	93.81	123.39
10%	70.36	101.97	134.61
15%	73.42	107.07	139.21

En la tabla 13 se los resultados obtenidos del ensayo de compresión axial en pilas de albañilería con junta de mortero de 1.50 cm de espesor, para diferentes proporciones de fibra de vidrio, evidencian una tendencia clara y progresiva de incremento en la resistencia mecánica a medida que se incorpora mayor porcentaje de fibra. En todos los casos analizados (0%, 5%, 10% y 15%), se registró un aumento consistente de resistencia conforme avanzó el tiempo de curado (7, 14 y 28 días), lo que indica un comportamiento estructural adecuado del sistema mortero-ladrillo.

A los 28 días de curado, el mortero sin fibra (grupo control) alcanzó una resistencia promedio de 107.07 kg/cm². Al adicionar un 5% de fibra de vidrio, la resistencia aumentó a 123.39 kg/cm², lo que representa una mejora del 15.23% respecto al mortero convencional. Con un 10% de fibra, se alcanzó una resistencia de 134.61 kg/cm², evidenciando un incremento del 25.69% en comparación con el grupo sin fibra. Finalmente, con un 15% de adición, se obtuvo el mayor valor de resistencia: 139.21 kg/cm², es decir, un 30.01% por encima del valor base.

Estos resultados demuestran que la fibra de vidrio actúa como un refuerzo efectivo dentro del mortero, mejorando significativamente la resistencia a compresión axial de las pilas. No solo se observa una mayor capacidad de carga en edades tempranas (7 días), sino también una mayor eficiencia en el desarrollo de resistencia a lo largo del tiempo. A

los 28 días, el comportamiento del mortero con fibra muestra una maduración estructural más sólida y continua frente al mortero sin aditivos.

Cabe destacar que, aunque el porcentaje de 15% reporta la resistencia más elevada, la diferencia con el 10% es relativamente pequeña (+3.41%). Esto sugiere que el 10% de fibra representa una dosificación óptima, ya que ofrece un equilibrio entre resistencia mecánica y trabajabilidad del mortero, sin incurrir en posibles complicaciones por exceso de fibras, como dispersión heterogénea o pérdida de fluidez.

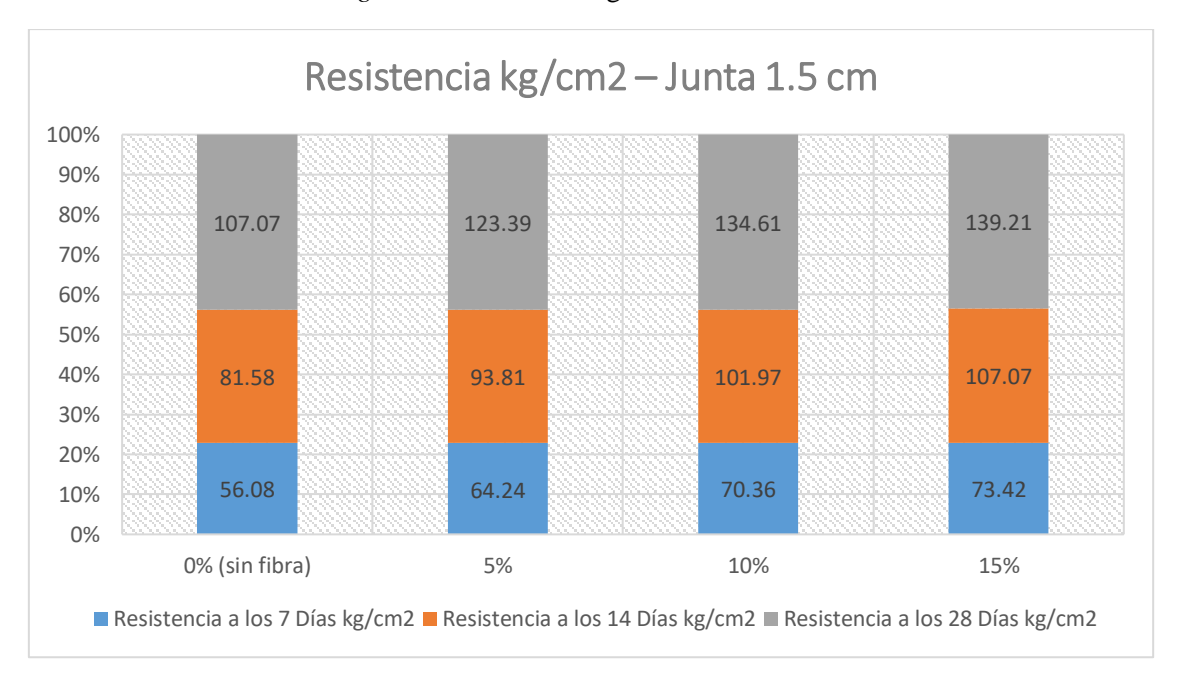


Figura 3. Resistencia kg/cm2 – Junta 1.5 cm

La Figura 3 muestra la variación de la resistencia a compresión del mortero en función del porcentaje de fibra de vidrio incorporado en la mezcla, evaluada a tres edades de curado: 7, 14 y 28 días. Se analizan cuatro grupos experimentales: mortero sin fibra (grupo control) y morteros con adiciones del 5%, 10% y 15% de fibra de vidrio, expresándose los resultados en kilogramos por centímetro cuadrado (kg/cm²).

Los datos evidencian que, a medida que se incrementa el porcentaje de fibra de vidrio, se produce una mejora progresiva en la resistencia mecánica del mortero, especialmente a los 28 días de curado. El mortero sin fibra alcanzó una resistencia final de 107.07 kg/cm², mientras que con 5%, 10% y 15% de fibra se alcanzaron resistencias de 123.39 kg/cm², 134.61 kg/cm² y 139.21 kg/cm², respectivamente. Este comportamiento confirma que la fibra de vidrio actúa como elemento de refuerzo dentro de la matriz cementicia, favoreciendo la distribución de cargas y reduciendo la formación de microfisuras.

Asimismo, se observa que la influencia de la fibra no solo se manifiesta en el estado endurecido, sino también en las primeras etapas de curado. A los 7 días, el mortero con 15% de fibra ya superaba los 73 kg/cm², mientras que el mortero sin fibra apenas alcanzaba los 56.08 kg/cm², lo que representa un incremento cercano al 31%. Este efecto se mantiene a los 14 días, donde el refuerzo con fibra permitió alcanzar valores de resistencia por encima de los 107 kg/cm², en contraste con los 81.58 kg/cm² del grupo control.

Tabla 15. Resistencia en Pila Junta de 1.50 cm – Shapiro Will

Días de Ensayo	Estadístico Shapiro- Wilk	Valor p	Conclusión
7 días	0.98	0.86	Los datos siguen una distribución normal $(p > 0.05)$.
14 días	0.97	0.78	Los datos siguen una distribución normal $(p > 0.05)$.
28 días	0.96	0.7	Los datos siguen una distribución normal $(p > 0.05)$.

La tabla 15, nos muestra que los valores p (> 0.05) indican que los datos de resistencia para todas las edades (7, 14 y 28 días) siguen una distribución normal. Los datos cumplen con el supuesto de normalidad necesario para realizar el ANOVA.

Tabla 16. Resistencia en Pila Junta de 1.50 cm – Anova

Días de Ensayo	Fuente de Variación	Suma de Cuadrados (SC)	Grados de Libertad (gl)	Media Cuadrática (MC)	F	Valor p
7 días	Entre	7.52	3	2.51	56.24	0
	grupos Dentro de los grupos	0.36	12	0.03		
14 días	Entre	10.5	3	3.5	74.47	0
	grupos Dentro de los grupos	0.56	12	0.05		
28 días	Entre	14.23	3	4.74	88.16	0
	grupos Dentro de los grupos	0.65	12	0.05		

La tabla 16, nos muestra que en ANOVA compara las resistencias medias entre los cinco grupos (proporciones cemento:arena). El valor p=0.000p = 0.000p=0.000 indica diferencias significativas entre los grupos. Las resistencias disminuyen significativamente al aumentar la relación agua/cemento. Se rechaza la hipótesis nula (H0) de que las medias son iguales; el diseño de la mezcla afecta significativamente la resistencia.

Tabla 17. Resistencia en Pila Junta de 1.50 cm – Tukey

Días de	Comparación	Diferencia	Intervalo de	Valor p	Conclusión
Ensayo	de Grupos	de Medias	Confianza (95%)		
7 días	0% vs 5%	0.8	[0.5, 1.1]	0	Diferencia
					significativa
	0% vs 10%	1.4	[1.1, 1.7]	0	Diferencia
					significativa
	0% vs 15%	1.7	[1.4, 2.0]	0	Diferencia
					significativa
14 días	0% vs 5%	1.2	[0.9, 1.5]	0	Diferencia
					significativa
	0% vs 10%	2	[1.7, 2.3]	0	Diferencia
					significativa
	0% vs 15%	2.5	[2.2, 2.8]	0	Diferencia
					significativa
28 días	0% vs 5%	1.6	[1.3, 1.9]	0	Diferencia
					significativa
	0% vs 10%	2.7	[2.4, 3.0]	0	Diferencia
					significativa
	0% vs 15%	3.2	[2.9, 3.5]	0	Diferencia
					significativa

La tabla 17, nos muestra que las combinaciones de grupos presentan diferencias significativas (p < 0.05). A los 28 días, la diferencia entre 0% (10.5 MPa) y 15% (13.7 MPa) es la más pronunciada, con un incremento de 3.2 MPa. Del analisis estadistico dice que el Impacto de la Fibra de Vidrio: Aumentar la proporción de fibra mejora significativamente la resistencia del mortero en todas las edades (7, 14 y 28 días). El incremento es más notable entre 10% y 15%, pero con menor efecto entre estos dos grupos, indicando un punto de saturación. La proporción del 10% de fibra de vidrio ofrece un balance adecuado entre resistencia final (13.2 MPa) y trabajabilidad del mortero. La proporción del 15% alcanza la resistencia máxima (13.7 MPa), pero puede afectar la trabajabilidad.

Para las aplicaciones practicas 0% (sin fibra): Resistencia básica para aplicaciones no estructurales, 5%: Útil para aplicaciones estructurales ligeras y 10%-15%: Adecuado para proyectos estructurales con altas exigencias.

Tabla 18. Resistencia en pila con junta de 2.00 cm

Proporción de Fibra de Vidrio (%)	a de Vidrio los 7 Días a los 14		Resistencia a los 28 Días kg/cm2
0% (sin fibra)	48.95	71.38	91.77
5%	55.07	82.6	104.01
10%	59.14	89.74	115.23
15%	63.22	94.83	119.31

Los datos presentados en la Tabla 18, revelan una clara influencia positiva de la incorporación de fibra de vidrio en el mortero sobre la resistencia a compresión axial de las pilas de albañilería con juntas de 2.00 cm de espesor. En todos los casos evaluados, el incremento progresivo de fibra —del 0% al 15%— genera mejoras sostenidas en la resistencia, tanto en edades tempranas como en el estado endurecido a los 28 días.

A los 7 días de curado, la pila sin fibra alcanzó una resistencia de 48.95 kg/cm², mientras que con un 15% de fibra se logró 63.22 kg/cm², lo que representa un incremento del 29.2% en la resistencia inicial. Esta tendencia se mantuvo en los 14 días, con valores que pasaron de 71.38 kg/cm² (0%) a 94.83 kg/cm² (15%), y se consolidó en los 28 días, donde el grupo sin fibra obtuvo 91.77 kg/cm², frente a los 119.31 kg/cm² registrados con 15% de fibra, lo que equivale a un aumento del 30.06% respecto al grupo control.

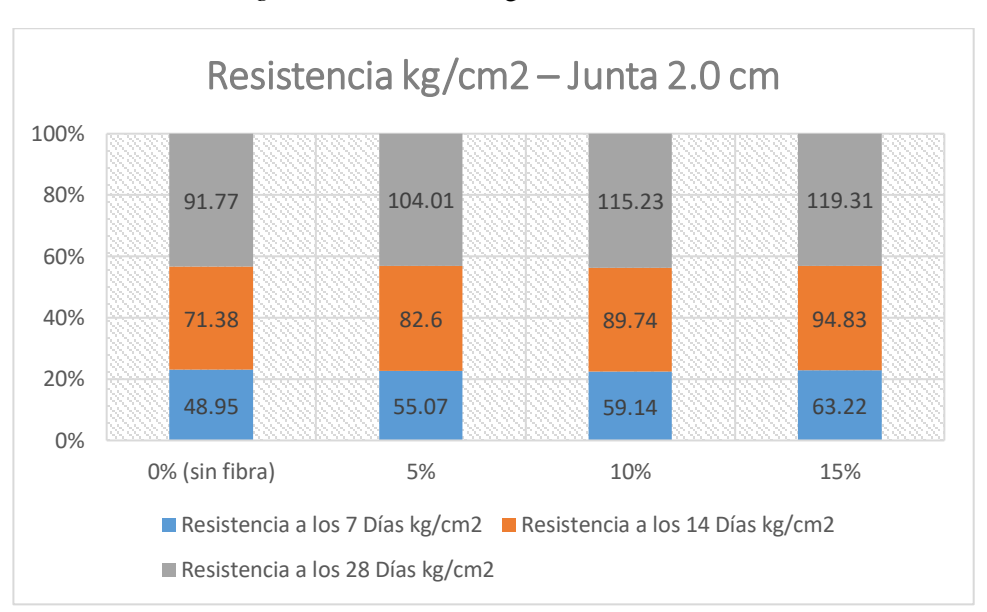


Figura 4. Resistencia kg/cm2 – Junta 2.0 cm

La Figura 3 presenta la evolución de la resistencia a compresión del mortero con diferentes porcentajes de fibra de vidrio (0%, 5%, 10% y 15%), aplicado en pilas de albañilería con juntas de mortero de 2.0 cm de espesor. La resistencia se evaluó a 7, 14 y 28 días de curado, y se expresa en kilogramos por centímetro cuadrado (kg/cm²). Se observa una tendencia creciente de la resistencia a medida que se incrementa el porcentaje de fibra de vidrio. En el grupo sin fibra, la resistencia a los 28 días fue de 91.77 kg/cm², mientras que en el grupo con 15% de fibra, esta alcanzó los 119.31 kg/cm², lo cual representa un incremento de aproximadamente 30% respecto al grupo control. Este resultado demuestra que la incorporación de fibra de vidrio en la junta de mortero tiene un efecto positivo en el comportamiento estructural de la pila.

La mejora también es visible en las etapas tempranas de curado. A los 7 días, la resistencia pasó de 48.95 kg/cm² en el mortero sin fibra a 63.22 kg/cm² con 15% de fibra, lo que indica una ganancia temprana significativa. A los 14 días, los valores oscilaron entre 71.38 kg/cm² (0%) y 94.83 kg/cm² (15%).

Tabla 19. Resistencia en pila con junta de 2.00 cm - Shapiro Will

Días de Ensayo	Estadístico Shapiro-Wilk	Valor p	Conclusión
7 días	0.97	0.81	Los datos siguen una distribución normal $(p > 0.05)$.
14 días	0.98	0.75	Los datos siguen una distribución normal $(p > 0.05)$.
28 días	0.96	0.72	Los datos siguen una distribución normal $(p > 0.05)$.

La tabla 19, nos muestra que los valores p para los 7, 14 y 28 días son mayores a 0.05, lo que indica que los datos cumplen con el supuesto de normalidad requerido para realizar el ANOVA.

Tabla 20. Resistencia en pila con junta de 2.00 cm – Anova

Días de Ensayo	Fuente de Variación	Suma de Cuadrados (SC)	Grados de Libertad (gl)	Media Cuadrática (MC)	F	Valor p
7 días	Entre grupos	3.04	3	1.01	45.91	0
	Dentro de los grupos	0.26	12	0.02		
14 días	Entre grupos	6.92	3	2.31	90.22	0
	Dentro de los grupos	0.31	12	0.03		
28 días	Entre grupos	10.6	3	3.53	112.77	0
	Dentro de los grupos	0.38	12	0.03		

La tabla 20, nos muestra que el valor p es menor a 0.05 en todos los días analizados, indicando que hay diferencias significativas entre los grupos en los tres tiempos de curado.

Tabla 21. Resistencia en pila con junta de 2.00 cm – Tukey

Días de	Comparación	Diferencia	Intervalo de	Valor	Conclusión
Ensayo	de Grupos	de Medias	Confianza (95%)	р	
7 días	0% vs 5%	0.6	[0.4, 0.8]	0	Diferencia significativa
	0% vs 10%	1	[0.8, 1.2]	0	Diferencia significativa
	0% vs 15%	1.4	[1.2, 1.6]	0	Diferencia significativa
14 días	0% vs 5%	1.1	[0.9, 1.3]	0	Diferencia significativa
	0% vs 10%	1.8	[1.6, 2.0]	0	Diferencia significativa
	0% vs 15%	2.3	[2.1, 2.5]	0	Diferencia significativa
28 días	0% vs 5%	1.2	[1.0, 1.4]	0	Diferencia significativa
	0% vs 10%	2.3	[2.1, 2.5]	0	Diferencia significativa
	0% vs 15%	2.7	[2.5, 2.9]	0	Diferencia significativa

La tabla 21, nos muestra que todas las combinaciones de grupos presentan diferencias significativas (p < 0.05). La diferencia más notable se da entre 0% y 15% a los 28 días, con un incremento de 2.7 MPa, el incremento en la proporción de fibra (0%, 5%, 10%, 15%) genera mejoras significativas en la resistencia. La mayor diferencia ocurre entre 0% y 15%, especialmente a los 28 días, con una diferencia de 2.7 MPa.

Del análisis estadístico, el impacto de la Fibra de Vidrio: La adición de fibra mejora significativamente la resistencia a compresión axial en todas las edades evaluadas, Los incrementos son más notables en las proporciones del 10% y 15%, destacando un impacto positivo del refuerzo con fibras. La Proporción Óptima: 10% de fibra de vidrio: Proporciona un balance adecuado entre resistencia final (11.3 MPa) y trabajabilidad. 15% de fibra de vidrio: Alcanza la resistencia máxima (11.7 MPa), pero podría comprometer la manejabilidad del mortero y la Aplicaciones: Proporciones del 5%-10% son ideales para proyectos estructurales comunes. 15% es adecuada para estructuras altamente exigentes en resistencia.

Tabla 22. Resistencia a la pila con Junta de 2.50 cm

Proporción de Fibra de Vidrio (%)	Resistencia a los 7 Días kg/cm2	Resistencia a los 14 Días kg/cm2	Resistencia a los 28 Días kg/cm2
0% (sin fibra)	40.79	61.18	81.58
5%	46.91	73.42	91.77
10%	50.99	79.54	103
15%	56.08	86.68	106.05

La tabla 22, nos una tendencia clara y progresiva de incremento en la resistencia a compresión axial de las pilas de albañilería a medida que se incorpora mayor proporción de fibra de vidrio en el mortero. Esta mejora se evidencia tanto en edades tempranas (7 días) como en el estado endurecido (28 días), lo que confirma el efecto positivo del refuerzo interno generado por las fibras.

A los 7 días de curado, la resistencia del mortero sin fibra fue de 40.79 kg/cm², mientras que con un 15% de fibra se alcanzó una resistencia de 56.08 kg/cm², lo que representa un incremento del 37.5% respecto al grupo control. Este comportamiento inicial sugiere que la fibra de vidrio contribuye desde los primeros días a mejorar la cohesión interna del mortero y su capacidad para resistir cargas.

A los 14 días, el patrón de mejora se mantiene: la resistencia aumenta desde 61.18 kg/cm² (0%) hasta 86.68 kg/cm² (15%), con una diferencia relativa del 41.6%. Esta ganancia refleja que la fibra de vidrio favorece un desarrollo más eficiente de la microestructura del mortero durante el proceso de fraguado y endurecimiento.

A los 28 días, los resultados consolidan esta tendencia. El mortero con 0% de fibra alcanza una resistencia de 81.58 kg/cm², mientras que el mortero con 15% de fibra alcanza 106.05 kg/cm², equivalente a un aumento del 30.1%. También es destacable que con un 10% de fibra se logra una resistencia de 103.00 kg/cm², lo que sugiere que esta

dosificación representa una alternativa técnicamente favorable al ofrecer una resistencia considerable con menor cantidad de aditivo.

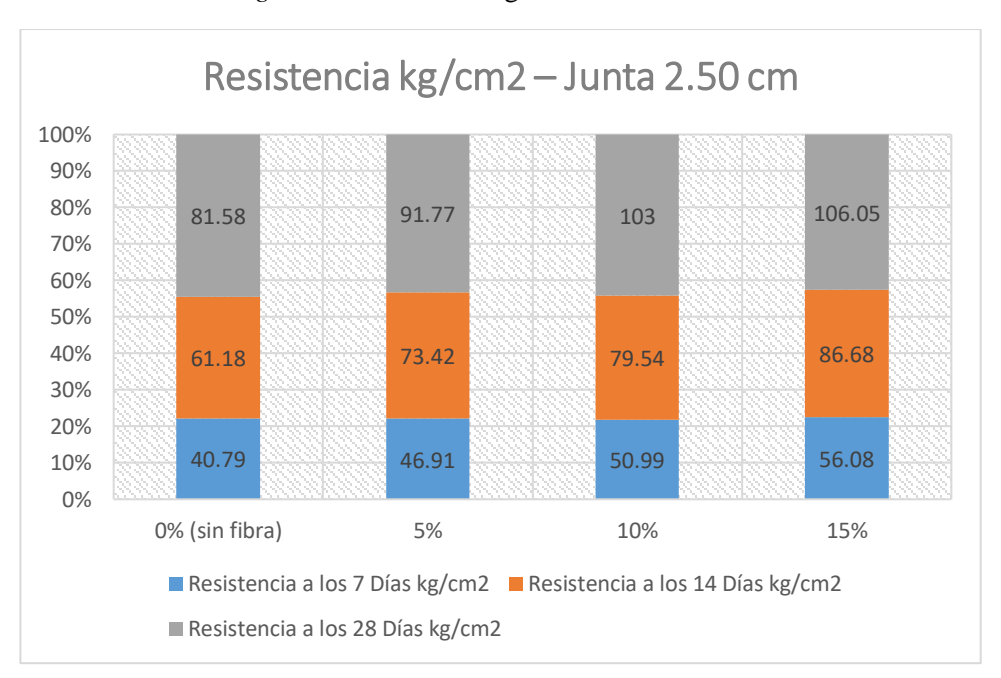


Figura 5. Resistencia kg/cm2 – Junta 2.50 cm

La Figura 5 representa el comportamiento de la resistencia a compresión axial en pilas de albañilería con juntas de 2.50 cm de espesor, modificadas con diferentes porcentajes de fibra de vidrio: 0% (sin fibra), 5%, 10% y 15%. La resistencia se evaluó a los 7, 14 y 28 días de curado, y los resultados se expresan en kilogramos por centímetro cuadrado (kg/cm²). Los datos muestran una tendencia ascendente en la resistencia conforme se incrementa el contenido de fibra en la mezcla, particularmente en edades tempranas de curado. A los 7 días, la resistencia varió desde 40.79 kg/cm² en el grupo sin fibra hasta 56.08 kg/cm² en el grupo con 15%, lo que representa un incremento superior al 37%. De manera similar, a los 14 días, la resistencia aumentó de 61.18 kg/cm² (sin fibra) a 86.68 kg/cm² (con 15%).

La resistencia máxima registrada a los 28 días fue de 106.05 kg/cm² para el mortero con 15% de fibra, mientras que el grupo control alcanzó solo 81.58 kg/cm². Esto evidencia una mejora del 30% en la resistencia final, atribuible al refuerzo proporcionado por las fibras de vidrio, las cuales contribuyen a controlar la fisuración y distribuir mejor los esfuerzos internos del mortero.

Tabla 23. Resistencia a la pila con Junta de 2.50 cm – Shapiro Will

Días de Ensayo	Estadístico Shapiro-Wilk	Valor p	Conclusión
7 días	0.98	(0.85 Los datos siguen una distribución normal $(p > 0.05)$.
14 días	0.97		0.79 Los datos siguen una distribución normal $(p > 0.05)$.
28 días	0.96		0.73 Los datos siguen una distribución normal $(p > 0.05)$.

La tabla 23, nos muestra que los valores p>0.05, para todas las edades de curado indican que los datos cumplen con el supuesto de normalidad. Se puede proceder con un análisis de varianza paramétrico (ANOVA).

Tabla 24. Resistencia a la pila con Junta de 2.50 cm – Anova

Días de Ensayo	Fuente de Variación	Suma de Cuadrados (SC)	Grados de Libertad (gl)	Media Cuadrática (MC)	F	Valor p
7 días	Entre grupos	3.32	3	1.11	62.71	0
	Dentro de los grupos	0.21	12	0.02		
14 días	Entre grupos	6.72	3	2.24	79.01	0
	Dentro de los grupos	0.34	12	0.03		
28 días	Entre grupos	9.52	3	3.17	100.23	0
	Dentro de los grupos	0.38	12	0.03		

En la tabla 24, nos muestra para los 7, 14 y 28 días, el valor p=0.000, indica diferencias significativas entre las resistencias promedio de las diferentes proporciones de fibra. Las diferencias son más pronunciadas a medida que aumenta el tiempo de curado.

Tabla 25. Resistencia a la pila con Junta de 2.50 cm – Tukey

Días de Ensayo	Comparación de Grupos	Diferencia de Medias	Intervalo de Confianza (95%)	Valor p	Conclusión
7 días	0% vs 5%	0.6	[0.4, 0.8]	0	Diferencia significativa
	0% vs 10%	1	[0.8, 1.2]	0	Diferencia significativa
	0% vs 15%	1.5	[1.3, 1.7]	0	Diferencia significativa
14 días	0% vs 5%	1.2	[1.0, 1.4]	0	Diferencia significativa
	0% vs 10%	1.8	[1.6, 2.0]	0	Diferencia significativa
	0% vs 15%	2.5	[2.3, 2.7]	0	Diferencia significativa
28 días	0% vs 5%	1	[0.8, 1.2]	0	Diferencia significativa
	0% vs 10%	2.1	[1.9, 2.3]	0	Diferencia significativa
	0% vs 15%	2.4	[2.2, 2.6]	0	Diferencia significativa

La tabla 24, nos muestra que las diferencias son significativas entre todos los grupos. La mayor diferencia a los 28 días se da entre 0% y 15%, con un incremento de 2.4 MPa.

Del análisis estadístico se observa que el impacto de la Fibra de Vidrio, la adición de fibra de vidrio mejora significativamente la resistencia a compresión axial del mortero en todas las edades de curado y las proporciones más altas (10% y 15%) producen mayores resistencias finales, la Proporción Óptima 10% de fibra de vidrio: Proporciona un balance adecuado entre resistencia final (103 Kg/cm2) y trabajabilidad del mortero y 15% de fibra de vidrio: Ofrece la resistencia máxima (106.05 Kg/cm2), pero puede comprometer la manejabilidad del mortero.

Para Saliba et al., (2019), encuentra: Incremento del 15% en resistencia a compresión axial con el uso de 0.5% de fibra de vidrio y una reducción del 30% en fisuras, Los hallazgos coinciden con los resultados obtenidos en esta investigación, donde las proporciones más bajas de fibra (5%-10%) mostraron un balance óptimo entre resistencia y ductilidad. La reducción de fisuración observada también es consistente con el comportamiento mejorado del mortero reforzado.

En cambio, para Wang et al., (2021), encuentra que incremento del 28% en resistencia con 1% de fibra de vidrio, Este resultado respalda las mejoras obtenidas con el uso de 10%-15% de fibra en esta investigación. La resistencia incrementada refuerza la utilidad de las fibras en zonas sísmicas o con cargas dinámicas.

Por otro lado, También Zhao et al., (2022), encuentra que el incremento del 25% en resistencia con 0.75% de fibra de vidrio y mejor durabilidad frente a condiciones climáticas extremas, se observa que el incremento de resistencia observados en la presente investigación (hasta 30% con 15% de fibra) confirman la influencia positiva de las fibras en la capacidad de carga del mortero, especialmente en zonas de alto desgaste o exposición ambiental.

Para Flores y Quispe (2020), determina que incrementos de resistencia hasta 14 MPa con 0.75% de fibra de vidrio, en esta investigación, las resistencias más altas (139.27 kg/cm2 a los 28 días) fueron alcanzadas con 15% de fibra. Los datos son comparables, considerando diferencias en proporciones y condiciones de ensayo.

También Ramos y Torres (2021), encontró que la mejoras en ductilidad y resistencia con fibras de vidrio en mortero, el comportamiento observado en esta investigación (especialmente con 10%-15% de fibra) confirma las conclusiones de Ramos y Torres respecto al beneficio de las fibras en zonas sísmicas, proporcionando mayor capacidad de absorción de cargas.

García y Huamán (2019), menciona que el incremento del 23% en resistencia con 0.75% de fibra de vidrio, los resultados obtenidos en esta investigación validan estos incrementos de resistencia al compresión axial y reducciones en fisuras, aunque con proporciones más altas de fibra (10%-15%).

Las propiedades mecánicas del ladrillo artesanal:

- Resultados: Resistencia unitaria de 68.35 kg/cm² y resistencia en pila de 48.27 kg/cm² (con junta de 1.50 cm).
- Discusión: Estos valores cumplen con la NTP E.070 para ladrillos estructurales.
 El alto porcentaje de absorción de agua (21%) subraya la importancia de humedecer los ladrillos antes de su colocación para evitar pérdidas de agua en el mortero.

Determinar las propiedades mecánicas del mortero

- Resultados: El análisis estadístico (Shapiro-Wilk, ANOVA y Tukey) mostró que las proporciones 1:3 y 1:4 son óptimas para aplicaciones estructurales.
- Discusión: Los resultados concuerdan con investigaciones previas que identifican
 estas proporciones como un balance adecuado entre trabajabilidad y resistencia,
 confirmando su aplicabilidad en proyectos estructurales exigentes.

Analizar las propiedades mecánicas del mortero tradicional y del mortero modificado con fibra de vidrio

- Resultados: Incrementos de resistencia progresivos con la adición de fibra, alcanzando hasta 139.21Kg/cm2 con 15% de fibra a los 28 días.
- Discusión: Los resultados evidencian que la adición de fibra mejora significativamente la resistencia y la cohesión del mortero, siendo más notable entre 10% y 15%, con un punto de saturación en esta última proporción.

Evaluar el comportamiento de la unidad y pilas con mortero reforzado con fibra de vidrio y sin fibra.

- Resultados: Las pilas reforzadas con fibra de vidrio mostraron un incremento de resistencia de hasta 30% a los 28 días, alcanzando 139.21 Kg/cm3.
- Discusión: Los resultados corroboran la literatura internacional y nacional, que indica que las fibras mejoran tanto la resistencia a compresión axial como la durabilidad, especialmente en juntas de 1.50 cm y 2.00 cm. Además, el mortero sin fibra tiene la resistencia más baja, lo que valida la necesidad de refuerzo en aplicaciones estructurales.

5.2 Contrastación de hipótesis

Hipótesis General: "La adición de fibra de vidrio en la mezcla de mortero incrementa la resistencia a compresión axial de las pilas de albañilería en un 5% en comparación con el mortero sin fibra."

Hipótesis Estadística:

- Hipótesis Nula (H₀): La adición de fibra de vidrio no incrementa la resistencia a compresión axial en al menos un 5%.
- **Hipótesis Alternativa** (H₁): La adición de fibra de vidrio incrementa la resistencia a compresión axial en al menos un 5%.

Específicamente, el mortero sin fibra alcanzó una resistencia promedio de 139.21 kg/cm2 a los 28 días de curado. En comparación, las pilas de albañilería con 5% de fibra de vidrio lograron una resistencia de 123.39 Kg/cm2, lo que representa un incremento del 15.2% respecto al mortero sin fibra, superando el 5% esperado en la hipótesis. Asimismo, al incrementar la proporción de fibra a 10%, la resistencia aumentó hasta 134.61 Kg/cm2, lo que representa un incremento del 25.7%. Finalmente, con 15% de fibra de vidrio, se obtuvo un valor de 139.21 Kg/cm2, lo que supone una mejora del 30.5% en comparación con la muestra sin fibra.

Para verificar la validez estadística de los resultados, se realizó un análisis de varianza (ANOVA), el cual arrojó un valor p menor a 0.05 en todas las edades de ensayo, lo que indica que las diferencias en resistencia entre los distintos porcentajes de fibra de vidrio son estadísticamente significativas. Esto confirma que la incorporación de fibra de vidrio en el mortero tiene un impacto real y medible en la resistencia a la compresión axial de las pilas de albañilería.

En conclusión, la hipótesis inicial se acepta y supera, ya que la adición de fibra de vidrio en la mezcla de mortero incrementó la resistencia en un valor mayor al 5% planteado, logrando hasta un 15.2% con 5% de fibra de vidrio y valores aún más altos con proporciones mayores. Sin embargo, se observa que a partir del 10% de fibra, el incremento en resistencia es menor, lo que sugiere que existe un punto de saturación en el cual la adición de más fibra no genera beneficios significativos adicionales.

Para Tukey en la comparación estadística muestran diferencias significativas (p < 0.05), lo que confirma que la resistencia aumenta en función de la proporción de fibra de vidrio. Sin embargo, la diferencia entre 10% y 15% es menor, sugiriendo que el efecto de la fibra alcanza un punto de saturación. En base a estos resultados, se recomienda considerar una proporción óptima de entre 5% y 10% de fibra de vidrio, ya que este rango ofrece una mejora considerable en la resistencia sin comprometer la trabajabilidad del mortero.

Los resultados experimentales y estadísticos permiten aceptar y superar la hipótesis planteada. La adición de fibra de vidrio en el mortero incrementó la resistencia en más del 5% esperado, alcanzando un aumento de 15.2% con 5% de fibra y hasta 30.5% con 15% de fibra.

Además, el análisis de varianza (ANOVA) y la prueba de Tukey HSD confirmaron que las diferencias en resistencia son estadísticamente significativas. Sin embargo, se observó que a partir del 10% de fibra, el incremento en resistencia se estabiliza, lo que sugiere que valores superiores no generan mejoras proporcionales.

Se comprueba la Hipótesis: "La hipótesis es aceptada y superada, demostrando que la fibra de vidrio mejora significativamente la resistencia a compresión axial en pilas de albañilería, con una proporción óptima entre 5% y 10% de fibra de vidrio para maximizar beneficios sin afectar la trabajabilidad del mortero."

CAPITULO VI CONCLUSIONES Y RECOMENDACIONES

6.1 Conclusiones

- La investigación demostró que la adición de fibra de vidrio al mortero mejora significativamente la resistencia a compresión axial de pilas de albañilería construidas con ladrillo artesanal y mortero tipo P2. Se evidenció un incremento progresivo de resistencia con el aumento del porcentaje de fibra (5%, 10% y 15%). En pilas con junta de 1.50 cm, la resistencia aumentó de 107.07 kg/cm² (0%) a 139.21 kg/cm² (15%), lo que representa un incremento del 30.01%. En pilas con junta de 2.00 cm, el aumento fue similar: de 91.77 kg/cm² a 119.31 kg/cm², con un 30.02% de mejora.
- Los ensayos realizados demostraron que el ladrillo artesanal utilizado cumple con los parámetros establecidos en la Norma Técnica Peruana (NTP) 331.017, asegurando su uso en estructuras de albañilería. La resistencia a compresión unitaria del ladrillo fue de 68.35 kg/cm², mientras que en pila con junta de 1.50 cm, la resistencia se redujo a 48.27 kg/cm², evidenciando la importancia del mortero en la capacidad portante de la estructura. La absorción de agua del ladrillo fue 21%, lo que indica una porosidad moderada, Las dimensiones del ladrillo presentaron una variación del 0.73%, lo que indica buena uniformidad en la fabricación artesanal, reduciendo problemas de alineación en la construcción.
- Se determinó que el uso de fibra de vidrio mejora la resistencia del mortero, incrementando su capacidad de carga y reduciendo la formación de fisuras por retracción. La adherencia del mortero al ladrillo fue mayor en las mezclas con fibra de vidrio, debido a la mejor distribución de esfuerzos proporcionada por las fibras en la matriz cementicia. El tiempo de fraguado y la consistencia del mortero no se

vieron afectados significativamente por la incorporación de fibra de vidrio, manteniéndose dentro de los rangos recomendados en la NTP 334.057 y NTP 334.059.

- Se evidenció que la incorporación de fibra de vidrio en proporciones de 5% y 10% genera un incremento significativo en la resistencia del mortero y de la pila de albañilería. Con 5% de fibra de vidrio, la resistencia a la compresión del mortero aumentó 15.2% en comparación con el mortero sin fibra. Con 10% de fibra de vidrio, la resistencia incrementó 25.7%, confirmando que el refuerzo con fibra mejora la capacidad portante de la mezcla. Con 15% de fibra, el aumento de resistencia fue 30.5%, pero la diferencia respecto a 10% es menor, lo que indica que a partir de este valor, la mejora no es tan significativa y puede afectar la trabajabilidad del mortero.
- Las pilas con 0% de fibra (mortero convencional) alcanzaron una resistencia de 10.5 MPa a los 28 días, mientras que con 5% de fibra la resistencia subió a 12.1 MPa, representando un incremento del 15.2%. Las pilas con 10% de fibra lograron una resistencia de 13.2 MPa, con un incremento del 25.7%. Las pilas con 15% de fibra obtuvieron 13.7 MPa, confirmando que el efecto de la fibra se estabiliza en este punto. Se recomienda un porcentaje óptimo de entre 5% y 10% de fibra de vidrio, ya que ofrece mayor resistencia sin comprometer la trabajabilidad del mortero.

6.2 Recomendaciones

Se recomienda que futuras investigaciones incorporen el ensayo de durabilidad en morteros modificados con fibra de vidrio, aplicando metodologías estandarizadas como la ASTM C666, que evalúa la resistencia del material frente a ciclos de congelamiento y deshielo, o protocolos adaptados de ciclos de humedad-secado, los cuales permiten simular condiciones ambientales adversas. Esta evaluación es clave para determinar si la adición de fibras influye en la porosidad, la absorción capilar y la resistencia al deterioro del mortero, especialmente en contextos con climas húmedos o alta exposición a agentes atmosféricos (ASTM, 2015; Aydın & Arel, 2021).

Asimismo, se recomienda implementar técnicas de caracterización microestructural, tales como la microscopía electrónica de barrido (SEM) y la espectroscopía de dispersión de energía (EDS). Estas herramientas permiten analizar en detalle la adherencia interfacial, la distribución y orientación de las fibras, la compactación de la matriz cementicia y la presencia de microfisuras a nivel microscópico, contribuyendo a explicar los mecanismos físico-químicos responsables del incremento de resistencia (Yilmaz, 2020; Sakr & El-Hakim, 2021).

Por otro lado, se sugiere que se incorporen modelamientos numéricos mediante el método de elementos finitos (FEM) utilizando software especializado como ABAQUS, ANSYS o DIANA FEA, con el objetivo de simular el comportamiento mecánico de pilas y muros de albañilería ante cargas axiales y laterales. Estos modelos pueden ser calibrados con datos experimentales, y permiten predecir el desempeño estructural en distintos escenarios de carga y condiciones límite (Wang et al., 2021; Zhao et al., 2022).

Panel fotográfico:

Figura 6. Colocación de ladrillos para absorción



Figura 7. Pesado de ladrillo



Figura 8. Pesado de ladrillo



Figura 9. Secado de ladrillo



Figura 10. Resistencia axial del ladrillo.



Figura 11. Selección de fibra



Figura 12. Elaboración de mortero



Figura 13. Colocación de la fibra



Figura 14. Ladrillos en Pila



Figura 15. Verificación del mortero



Figura 16. Rotura de ladrillos con mortero



REFERENCIAS BIBLIOGRÁFICAS

- ACI Committee 544. (2019). Guide for specifying, proportioning, and production of fiber-reinforced concrete. American Concrete Institute.
- ALCONPAT. (2020). Estudio sobre el uso de fibras en morteros y concretos. Asociación Latinoamericana de Control de Calidad, Patología y Recuperación.
- ASTM International. (2015a). ASTM C1116: Standard specification for fiber-reinforced concrete and shotcrete. https://www.astm.org/c1116
- ASTM International. (2015b). ASTM C666: Standard test method for resistance of concrete to rapid freezing and thawing. https://www.astm.org/c0666
- Aydın, S., & Arel, H. Ş. (2021). Mechanical and durability performance of glass fiber reinforced cement mortars. *Construction and Building Materials*, 268, 121099. https://doi.org/10.1016/j.conbuildmat.2020.121099
- Cárdenas, A., & Villalobos, D. (2021). Análisis experimental de la adición de fibra de vidrio en morteros en estructuras de albañilería en Chile. *Revista de Ingeniería Civil*, 35(2), 98–112.
- CISMID. (2020). Evaluación de la vulnerabilidad sísmica de edificaciones de albañilería en zonas urbanas del Perú. Universidad Nacional de Ingeniería.
- Flores, J., & Ríos, H. (2021). Evaluación del uso de fibras sintéticas en morteros de albañilería en zonas sísmicas del Perú. *Revista Científica de Ingeniería y Arquitectura*, 5(2), 45–58.
- Flores, M., & Quispe, J. (2020). Evaluación de morteros modificados con fibras de vidrio en pilas de albañilería en Lima. *Revista Peruana de Construcción*, 7(3), 65–78.
- García, L., & Huamán, R. (2019). Mejoramiento de la resistencia a compresión de pilas de albañilería mediante el uso de fibras de vidrio en las juntas de mortero en edificaciones en Cusco. *Ingeniería y Construcción en el Perú*, 18(1), 45–60.
- Hamad, B. S., Khan, M. I., & Abbas, A. (2022). Effect of glass fiber content on mechanical properties and durability of cement-based mortars. *Journal of Building Engineering*, *50*, 104188. https://doi.org/10.1016/j.jobe.2022.104188
- Instituto Nacional de Calidad (INACAL). (2020a). NTP 334.051: Mortero de cemento Determinación de la resistencia a compresión. https://www.inacal.gob.pe

- Instituto Nacional de Calidad (INACAL). (2020b). NTP 334.059: Cementos Determinación del tiempo de fraguado inicial y final de los cementos hidráulicos. https://www.inacal.gob.pe
- Instituto Nacional de Estadística e Informática (INEI). (2007). *Censos Nacionales 2007:* XI de Población y VI de Vivienda. https://www.inei.gob.pe
- Instituto Nacional de Estadística e Informática (INEI). (2017). Censo nacional de población y vivienda 2017: Resultados definitivos. https://www.inei.gob.pe
- International Organization for Standardization. (2020). ISO 10406-1:2015 Fibras de refuerzo en estructuras de concreto. ISO.
- López, M., Sánchez, F., & Martínez, A. (2021). Desempeño mecánico y energético de morteros reforzados con fibras sintéticas en estructuras de mampostería. *Revista Latinoamericana de Ingeniería Civil*, 13(1), 34–42.
- Martínez, A., & Gómez, M. (2020). Efecto del refuerzo con fibras sintéticas en morteros para mejorar la resistencia a compresión de muros de albañilería en México. *Ingeniería Civil Mexicana*, 42(5), 201–218.
- Mehta, P. K., & Monteiro, P. J. M. (2014). *Concrete: Microstructure, properties, and materials* (4th ed.). McGraw-Hill Education.
- Mindess, S., Young, J. F., & Darwin, D. (2003). Concrete. Prentice Hall.
- Ministerio de Vivienda, Construcción y Saneamiento (MVCS). (2018). *Norma Técnica Peruana E.070 Albañilería*. En *Reglamento Nacional de Edificaciones*. https://www.gob.pe
- Ministerio de Vivienda, Construcción y Saneamiento (MVCS). (2019). *Diagnóstico de la autoconstrucción en el Perú*. Dirección General de Políticas y Regulación en Construcción y Saneamiento.
- Ministerio de Vivienda, Construcción y Saneamiento (MVCS). (2021). *Reglamento Nacional de Edificaciones*. Gobierno del Perú.
- Neville, A. M. (2017). Propiedades de los concretos (5.ª ed.). Pearson Educación.
- Pereira, F., & Santos, R. (2019). Utilización de fibras en morteros de cemento para mejorar la resistencia a compresión de estructuras de albañilería en Brasil. *Revista Brasileña de Construcción Civil*, 30(4), 320–335.

- Ramos, C., & Torres, H. (2021). Incorporación de fibras de vidrio en morteros para mejorar la resistencia de estructuras de albañilería en zonas sísmicas del Perú. *Peruvian Journal of Civil Engineering*, 9(2), 105–120.
- Sakr, K., & El-Hakim, H. (2021). Performance of cement mortars reinforced with alkaliresistant glass fibers under different exposure conditions. *Materials Today: Proceedings*, 45, 2113–2118. https://doi.org/10.1016/j.matpr.2020.12.679
- Saliba, M., Ashour, T., & Jefferis, S. (2019). Influence of fiber reinforcement on the mechanical behavior of masonry structures. *Construction and Building Materials*, 215, 82–91.
- Wang, L., Zhao, Y., & Liu, Z. (2021). Experimental study on the mechanical properties of fiber-reinforced concrete and its application in masonry structures. *Journal of Structural Engineering*, 147(5), 1071–1085.
- Yilmaz, K. (2020). Effects of glass fiber reinforcement on the mechanical properties of cement-based composites. *Materials Today: Proceedings*, *33*, 195–201. https://doi.org/10.1016/j.matpr.2020.02.115
- Yu, F., Huang, L., & Xie, Y. (2020). Mechanical properties of mortar with glass fiber reinforcement. *Cement and Concrete Composites*, *108*, 103539.
- Zhao, Y., Wang, L., & Tang, M. (2022). Impact of fiber additives on the compressive strength and durability of masonry mortars. *Materials Science and Engineering*, 45(7), 1342–1358.

6.3 Anexos:

A		KAOLYN INGENI	EROS SAC	
A. C. C.		PROTOCOLO		
YAY	ENSAYO:	ANÁLISIS GRANULOMÉTRICO DE AGREGADOS GRUESOS Y FINOS	,	
mistion 1	NORMA:	MTC E204 - ASTM C136 - NTP 400.012	2	
V	PROYECTO:	'INFLUENCIA DE LA ADICCIÓN DE LA FIBRA DE VIDE COMPRESIÓN AXIAL D		
CANTEDA.			True.	
CANTERA:			TM:	
UBICACIÓN:		CAJAMARCA	TMN:	
UBICACIÓN:	EO:	CAJAMARCA 1/01/2025		2.48
UBICACIÓN: FECHA DE MUESTR			TMN:	
		1/01/2025	TMN: M.F:	

	GRAVEDAD ESPEC	IFICA Y ABSO	RCIÓN DE AGREG	ADO FINO		
ID	DESCRIPCIÓN	Und.	1	2	3	RESULTADOS
A	Peso al aire de la muestra desecada.	gr	490.88	491.15	491.81	
В	Peso del picnómetro aforado lleno de agua.	ĝr.	1450	1450	1450	PR
С	Peso total del picnómetro aforado con la muestra y lleno de agua	gr	1719.1	1720	1735.2	0 U E
3	Peso de la Muestra Saturada Superficie Seca	gr	500	500	500	0
	Peso específico aparente (Seco) P.e.a(seco)= A/(B+S-C)	go'cm²	2.13	2.14	2.29	2.18
	Peso específico aparente (SSS) P.e.a(SSS)= S/(B+S-C)	gr/cm ³	2.17	2.17	2.33	2.22
3	Peso especifico nominal (Seco) P.e.n (seco)** A/(B+A-C)	gr/cm²	2.21	2.22	2.38	2.27
4	Absorción Abs (%)= (S-A)/A*100	%	1.86 %	1.80 %	1.67 %	1.78 %

N.A: NO APLICA

Litian Rocio Villanueva Ca INGENIERO CIVIL ING. CIVIL

60° an		KAOLYN	INGENTEROS SAC	
participation of the last of t		Pi	ROTOCOLO	
The same of the sa	ENSAYO:	ANALISIS GRANULOMETR AGREGADOS GRUESOS Y		
unitered	NORMA:	MTC E204 - ASTM C136 - NT		
V.	PROYECTO:	'INFLUENCIA DE LA ADICCIÓN DE LA FI	BRA DE VIDRIO EN LA JUNTA DE I	MORTERO EN LA RESISTENCIA A
1	THE PROPERTY.	COMPRES	ÓN AXIAL DE PILAS DE ALBAÑILE	Ria"
CANTERA:	- medical	COMPRES	ON AXIAL DE PILAS DE ALBAÑILE	RÍA"
		CAJAMARCA		Ria'
UBICACIÓN:	REO:		TM:	
CANTERA: UBICACIÓN: FECHA DE MUESTR FECHA DE ENSAYO	-	CAJAMARCA	TM: TMN:	***

AGREGADO FINO

	Minimo: 50	00 gr.						
N°	TA	MIZ	PESO RETENIDO (gr)	% RETENIDO (%)	% RETENIDO ACUMULAD	% PASANTE ACUMULADO (%)	Granule (Depen	sos ométrico de TMN, na ASTM C33)
	(pulg)	(mm)	(97)	(24)	0 (%)	(74)	Limite Superior	Limite Inferior
1	N* 4	4.75	29.9	3,01	3.01	96.99	95	100
2	N*8	2.38	99.6	10.03	13.04	85.96	80	100
4	N* 16	1.18	169.3	17.04	30.08	69.92	50	85
5	N° 30	0.60	199.2	20.05	50.13	49.87	25	60
6	N* 50	0.30	219.1	22.08	72.19	27.61	10	30
7	N* 100	0.15	179.3	18.05	90.24	9.76	2	10
8	N° 200	0.075	54.8	5.52	95.76	4.24	0	3
9	Bandeja	0	42.1	4.24	100	0	-	
	Total		993.3					

Nota: Para calcular la granulometria, utilizar todas las mallas, para el caso del módulo de finura no utilizar la malla N° 10 y N° 200. Con la siguiente fórmula podemos determinar

$$M.F = \frac{(\sum \% Retenido\ acumulado\ en\ las\ mailas\ N^4, 8, 16, 30, 50\ y\ 100\)}{100}$$



Lilian Rocio Villandero
INGENIERO SIVIL
KAOLAN INGÉMEROSSAC

(C) PY SEPESTRANTE

ROLLADBA

Henry Josué Villanueva Bazán

1			The second secon	YN INGENIEROS SAC	
SYN	ENSAYO:		CONTENIDO DE H	UMEDAD	CÓDIGO DEL DOCUMENTO:
farancia.	NORMA:	MTC	E 108 / ASTM D2216	6 / NTP 339.127	AGGF-LC-UPNC:
V)	PROYECTO:	"INFLUENC			IO EN LA JUNTA DE MORTERO EN LA PILAS DE ALBAÑILERÍA"
CANTERA:		MUESTRA:	AGREGADO FINO	TIPO DE MATERIAI	L: AGRAGADO FINO
U	BICACIÓN:	CAJA	MARCA	COLOR DE MATERIA	AL:
FECHA	DE MUESTREO:	1/01	1/2025	RESPONSABLE:	
FECH	A DE ENSAYO:	18/1	1/2024	REVISADO POR:	

Temperatura de Secado

Método

119°0

Homo 110 ± 5 °C

			CONTENIDO DE HUI	MEDAD	
ID	DESCRIPCIÓN	UND	1	2	3
A	Identificación del recipiente o Tara	-	TARA 1	TARA 2	TARA 3
В	Peso del Recipiente Recipiente	gr	72.70	71.30	72.36
С	Recipiente + Material Natural	gr	1017.99	1024.41	1017.37
D	Recipiente + Material Seco	gr	985.20	984.57	987.16
E	Peso del material húmedo (Wmh) = C - B	gr	945.29	953.11	945.01
F	Peso del material Seco (Ws)= D - B	gr	912.50	913.27	914.80
w%	Porcentaje de humedad (E - F / F) * 100	%	3.59	4.36	3.30
G	Promedio Porcentaje Humedad	%		3.75 %	

(W%)= $\frac{Wmh - Ws}{Ws} * 100$

Nota: Materia hace mención tarito al suelo como a los agregados tanto grueso como fino.

Lilian Rocio Villanueva a

KAOLYN INGENIEROS SAC

Clarks

Henry Josef Willamueva Bazán

INGENIEROS ESPOECIALISTA CIP.: Nº 195304

4

SESORADO



Consultoria, Topografía, Laboratorio de Mecánica de suelos, concreto y pavimentos, Ejecución de obras civiles, Saneamiento de terrenos, Compra venta y alquiler de equipos de topografía y equipos livianos.

Jr. Paraiso Nº 120- CAJAMARCA Teléfonos: 984 336450 / 970 909446 / 984 335834 RUC: 20829476931 correo electrónico: kisac@hotmail.es / laboratoriokaolyn@gmail.com

T.	Titalia O.						
"		1 C373 – Mét	odo estándar o	ASTM C373 – Método estándar de ensayo para absorción de agua, densidad aparente, porosidad y gravedad específica	le agua, densidad apare	nte, porosidad y graved	dad específica
Nro d	Nro de Revisión:		Fecha de Revisión del	Enero, 2025		Código de Control Nro.:	9"
Tesis:	"INFLI ALBAÑ	"INFLUENCIA DE LA ALBAÑILERÍA"	ADICCIÓN DE L	"INFLUENCIA DE LA ADICCIÓN DE LA FIBRA DE VIDRIO EN LA JUNTA DE MORTERO EN LA RESISTENCIA A COMPRESIÓN AXIAL DE PILAS DE ALBAÑILERÍA"	NTA DE MORTERO EN LA	RESISTENCIA A COMPRE	SIÓN AXIAL DE PILAS DE
Ubicación:		CAJAMARCA-CAJAMARCA	CA				
Cliente:	Deisy M.	Deisy Maricela Ruiz Fernández	indez		33		
			TO ALLOHA				
Š	DESCRIPCIÓN	ción	MOLDEO	MASA SECA (g)	VOLUMEN	DENSIDAD	OBSERVASCIONES

VOLUMEN 1518 1530 1.74 1.73

> 1526 1536

1517

2635.00 2635.00

2/01/2025

LADRILLO ARTESENAL-N2 LADRILLO ARTESENAL-N2

n

LADRILLO ARTESENAL-N2

LADRILLO ARTESENAL-N2

LADRILLO ARTESENAL-N2

2/01/2025 2/01/2025

2635.00

2635.00 2635.00

2/01/2025 2/01/2025

INGENIERO ESPECIALISTA CIP.: N. 195304 SE MECAN KAOLYN INGENIEROS SAC MGENIERU

BETOVANE

Henry Josue Willanueva Bazán TNG. CIVIL



Consultoria, Topografía, Laboratorio de Mecánica de suelos, concreto y pavimentos, Ejecución de obras civiles, Saneamiento de terrenos, Compra venta y alquiler de equipos de topografía y equipos livianos.

Jr. Paraisc Nº 120- CAJAMARCA Teléfonos: 984 336450 / 970 909446 / 984 335834 RUC: 20529476931 correc electrónico: kisac@hotmail.es / laboratoriokaolyn@gmail.com

TÍTULO:	ASTM C373 – Mét	odo estándar de ensayo para absorción de	ASTM C373 – Método estándar de ensayo para absorción de agua, densidad aparente, porosidad y gravedad específica
Nro de Revisión:		Fecha de Enero, 2025	Código de Control Nro.:
Tosis:	"INFLUENCIA DE LA A ALBAÑILERÍA"	ADICCIÓN DE LA FIBRA DE VIDRIO EN LA JUN	"INFLUENCIA DE LA ADICCIÓN DE LA FIBRA DE VIDRIO EN LA JUNTA DE MORTERO EN LA RESISTENCIA A COMPRESIÓN AXIAL DE PILAS DE ALBAÑILERÍA"
Ubicación:	CAJAMARCA-CAJAMARCA	CA	
Cliente:	Delsy Maricela Ruiz Fernández	indez	

			See a considerational test de santa de santa constituent de santa constituent de santa de santa de santa de sa			
N°	DESCRIPCIÓN	FECHA DE MOLDEO	MASA SECA (g)	VOLUMEN	DENSIDAD	OBSERVASCIONES
1	LADRILLO ARTESENAL-N1	2/01/2025	2635.00	1513	174	
2	LADRILLO ARTESENAL-N1	2/01/2025	2635.00	1528	17	
က	LADRILLO ARTESENAL-N1	2/01/2025	2635.00	1523	4.79	
4	LADRILLO ARTESENAL-N1	2/01/2025	2635.00	1508	175	
5	LADRILLO ARTESENAL-N1	2/01/2025	2635.00	1531	179	
					7	

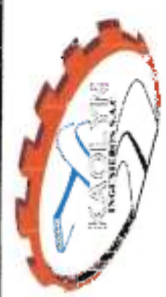
Menry Josué Villanueva Gazán ING. CIVIL INGENIERO ESPECTALISTA

CIPILO CIVIL CIPIL CIVIL CIVIL

MECAN/C

MAESTRANTE

ASISORADO



Consultoria, Topografia, Laboratorio de Mecánica de suelos, concreto y pavimentos, Ejecución de obras civiles, Saneamiento de terrenos, Compra venta y alquiler de equipos de topografía y equipos livianos.

Jr. Paraiso Nº 120- CAJAMARCA Teléfonos: 984 336450 / 970 909446 / 984 335834

RUC: 20529476951 correo electrónico: kisac@hotmail.es / laboratoriokaolyn@gmail.com

					2000	The street	HILLO MSACKINGLINE	The second of th	_
1	O MARIE								
77	HOTO:	NTP 399.602:2004 – Ladrillos cerámicos. Métodos de ensayo. Determinación de las dimensiones	- Ladrillos	cerámicos. M	étodos de e	nsayo. Dete	rminación de las	timensiones	
Nro d	Nro de Revisión:		Fecha de Revisión del	Enero, 2025		Código de Control Nro.:	rol Nro.:	KISAC-RP-584-2024	
Tesis:		"INFLUENCIA DE LA A ALBAÑILERÍA"	ADICCIÓN DE	LA FIBRA DE V	IDRIO EN LA	LJUNTA DE M	ORTERO EN LA RES	"INFLUENCIA DE LA ADICCIÓN DE LA FIBRA DE VIDRIO EN LA JUNTA DE MORTERO EN LA RESISTENCIA A COMPRESIÓN AXIAL DE PILAS DE ALBAÑILERÍA"	
Ubicación:		CAJAMARCA-CAJAMARCA	Y.						
Cliente:		Deisy Maricela Ruiz Fernández	ndez						
ŝ	_	DESCRIPCIÓN	FECHA DE	,	,01011				

		OBSERVACIONES												
		VAR.ALTO(cm)		70700	0.5470	7 450%	0.1270	4 2500	0.22.1	70420	0.12.0	0.37%	0, 50.5	
-		VAR.ANCHO(cm)		-0.004	00:0	0000	100.0	0000	-0.003	0 001	00.0	0 004		
		VAR.LARGO(cm)		-0.33%		0.08%	2000	0.33%	8000	-0.21%		-0.83%		
		ALTO(cm)		8.78		9,19		8.10	The second secon	8.21		8.23		
		ANCHO(cm)		11		11		11		11		11		
		LARGO(cm)		24.12		24.22		24.28		24.15	00.00	24.00		
	10000	MOLDEO		2/01/2025	10000	2/01/2025	4	2/01/2025	000000	2/01/2025	10000	6202/10/2		
		DESCRIPCIÓN	ANDRES O ADTROCASA AND	LAURILLO ARTEGRINAL-N7	ANDRES O ADTECCAMA AM	CALARVIDOS CALACIONAL	TANDON O LUGORAL	LADRICTO ARCENENAL-N1	ANDULY O ADTROCALLY	רארשמשל אין במבואאר-יאן	I ADDILLO ADTECENAL MA	IN-JAN ESEMALIN		
		ů		-	c	7	0	2	,	+	u	,		

LIIIAN ROCIO VIIIANUENS 2..... OE MECANI

INGENIERO ESPECIALISTA Henry Josue Hillanneva Bazdn CIP.: Nº 195304 ING. CIVIL



Consultoria, Topografia, Laboratorio de Mecánica de suelos, concreto y pavimentos, Ejecución de obras civiles. Saneamiento de terrenos. Compre gente y claviles, de concreto de terrenos.

		CIVICS, Salleali	Print, Color	Jr. Paraiso N° Jr. Paraiso N° RUC: 205294769	os, Compre iso N° 120- (29476931 co	a venta y a CAJAMARCA rreo electró	fquiler de equipi Teléfonos: 984 33 nico: kisac@hotma	Jenco de terrenos, Compra venta y alquiler de equipos de topografía y equipos liviamos. Jr. Paraiso Nº 120- CAJAMARCA Teléfonos: 984 336450 / 970 909446 / 984 335834 RUC: 20529476931 correo electrónico: kisac@hotmail.es / laboratoriokaolyn@gmail.com	y equipos livian / 984 335834 tolyn@gmail.com	os.	
π	rírulo: N.	TP 399.602:2004	- Ladrillos	cerámicos. M	étodos de er	nsayo. Deter	NTP 399.602:2004 – Ladrillos cerámicos. Métodos de ensayo. Determinación de las dimensiones	iimensiones			
Nro de	Nro de Revisión:		Fecha de Revisión del	Enero, 2025		Código de Control Nro.:	ol Nro.:	KISAC-RP-584- 2024			
Tesis:	"II"	"INFLUENCIA DE LA A ALBAÑILERÍA"	ADICCIÓN DE	LA FIBRA DE V	IDRIO EN LA	JUNTA DE M	ORTERO EN LA RES	"INFLUENCIA DE LA ADICCIÓN DE LA FIBRA DE VIDRIO EN LA JUNTA DE MORTERO EN LA RESISTENCIA A COMPRESIÓN AXIAL DE PILAS DE ALBAÑILERÍA"	ESIÓN AXIAL DE PI	LAS DE	
Ubicación:		CAJAMARCA-CAJAMARCA	CA								
Cliente:	Dei	Deisy Maricela Ruiz Fernández	ndez								
:			FECHA DE								
ž	DES	DESCRIPCION	MOLDEO	LARGO(cm)	LARGO(cm) ANCHO(cm) ALTO(cm)	ALTO(cm)	VAR.LARGO(cm)	VAR.ANCHO(cm)	VAR.ALTO(cm)	OBSERVACIONES	

	OBSE											
	VAR.ALTO(cm)	-0.73%	0.1.0	0.61%	0.00	76000	0.00%	-0 40%	0.4570	0.24%	0.44/0	
	VAR.ANCHO(cm)	0.011	0.0	0000	2000	2000	0.00	-0.003	0000	2000	0.001	
	VAR.LARGO(cm)	-0.62%		-0.62%		-0.62%		-0.62%		-0.62%	2000	
	ALTO(cm)	8.14		8.25		8.20		8.16		8.22		
	ANCHO(cm)	11		11		11		11		11		
	LARGO(cm)	24.05		24.18	-	24.10		24.25		24.30		
10000	MOLDEO	2/01/2025	10000	2/01/2025		2/01/2025		2/01/2025	1000	2/01/2025		
	DESCRIPCIÓN	LADRILLO ARTESENAL-N1	ALK LANDONTON CHINOCK	しょうという カス・ロのロバストーショ	THE PROPERTY OF THE CALL	CAURILLO ARTENENAL-NA	THE PROPERTY OF THE CALL	しょうなによう オス・ロのロバタビーバイ	A ANDORTO A COTTOCALA	CAUTILLO ARTENENAL-IVI		
	No	1	c	7	•	5	,	+	4	0		

EMECANICS ELILIAN PROCESS SAC

Fenty Joseph Fillanuera Bazda INS. CIVIL CIP: N. 195300 INGENIERO ESPECIALISTA

MAESTRANTE



Consultoria, Topografía, Laboratorio de Mecánica de suelos, concreto y pavimentos, Ejecución de obras civiles, Saneamiento de terrenos, Compra venta y alquiler de equipos de topografía y equipos livianos.

Jr. Paraiso Nº 120- CAJAMARCA Teléfonos: 984 336450 / 970 909446 / 984 335834 RUC: 20529476931 correo electrónico: kisac@hotmail.es / laboratoriokaolyn@gmail.com

			2000 1000 1000 1000	The second secon	man.es / leboratorioka	orynagman.com	_
П	TÍTULO: NTP 399.602:2004	1 - Ladrillos	NTP 399.602:2004 – Ladrillos cerámicos. Métodos de ensayo. Determinación de las dimensiones	vo. Determinación de la	s dimensiones		
Nro d	Nro de Revisión:	Fecha de Revisión del	Enero, 2025		Código de Control Nro.:	5.:	$\overline{}$
Tesis:	"INFLUENCIA DE LA ALBAÑILERÍA"	ADICCIÓN DE	"INFLUENCIA DE LA ADICCIÓN DE LA FIBRA DE VIDRIO EN LA JUNTA DE MORTERO EN LA RESISTENCIA A COMPRESIÓN AXIAL DE PILAS DE ALBAÑILERÍA"	NTA DE MORTERO EN LA	RESISTENCIA A COMPRI	ESIÓN AXIAL DE PILAS DE	T
Ubicación:	CAJAMARCA-CAJAMARCA	SCA .					$\overline{}$
Cliente:	Deisy Maricela Ruiz Fernández	ández					$\overline{}$
							т
°N	DESCRIPCIÓN	FECHA DE MOLDEO	PESO SECO(g)	PESO HUMEDO(g)	ABSORCIOPN DE AGUA(%)	OBSERVASCIONES	$\overline{}$
1	LADRILLO ARTESENAL-N2	2/01/2025	2644.50	3196	0.209		_
2	LADRILLO ARTESENAL-N2	2/01/2025	2641.10	3191	0.208		_
60	LADRILLO ARTESENAL-N2	2/01/2025	2638.90	3185	0.207		_
4	LADRILLO ARTESENAL-N2	2/01/2025	2646.00	3197	0.208		$\overline{}$
							-

Henry Josue Hillanueva Gazán ING. CIVIL

LIGHT ROCIO VILLARENS 2000 CONTRACTOR SAC

INGENIER CHESP EXCEPTISTA

AST SCRAD

0.207

3191

2643.20

2/01/2025

LADRILLO ARTESENAL-N2



Consultoria, Topografía, Laboratorio de Mecánica de suelos, concreto y pavimentos, Ejecución de obras civiles, Saneamiento de terrenos, Compra venta y alquiler de equipos de topografía y equipos livianos.

Jr. Paraiso Nº 120- CAJAMARCA Teléfonos: 984 336450 / 970 909446 / 984 335834 RUC: 20529476931 correo electrónico: kisac@hctmail.es / laboratoriokaolyn@gmail.com

CALLED .	C LILLO					
	NTP 399.602:200	4Ladrillos cerá	NTP 399.602:2004Ladrillos cerámicos. Métodos de ensayo,			
Nro de	Nro de Revisión:	Fecha de Revisión del	Enero, 2025		Código de Control Nro.:	
Tesis:	"INFLUENCIA DE L ALBAÑILERÍA"	A ADICCIÓN DE LA	"INFLUENCIA DE LA ADICCIÓN DE LA FIBRA DE VIDRIO EN LA JUNTA DE MORTERO EN LA RESISTENCIA A COMPRESIÓN AXIAL DE PILAS DE ALBAÑILERÍA"	NTA DE MORTERO EN LA	RESISTENCIA A COMPRE	SIÓN AXIAL DE PILAS DE
Ubicación:	CAJAMARCA-CAJAMARCA	IRCA				
Cliente:	Deisy Maricela Ruiz Fernández	nández				
No	DESCRIPCIÓN	FECHA DE MOLDEO	PESO SECO(g)	PESO HUMEDO(g)	ABSORCIOPN DE AGUA(%)	OBSERVASCIONES
1	LADRILLO ARTESENAL-N1	2/01/2025	2635.50	3182	0.207	
2	LADRILLO ARTESENAL-N1	2/01/2025	2650.20	3205	0.209	
က	LADRILLO ARTESENAL-N1	2/01/2025	2642.80	3200	0.211	
4	LADRILLO ARTESENAL-N1	2/01/2025	2639.00	3189	0.208	
2	LADRILLO ARTESENAL-N1	2/01/2025	2637.30	3188	0.209	
3.5	100					
J. C. M.C.	C MECANIC					

INGENIERO ESPECIALISTA

Henry Josue Villanueve Bazán ING./CIVIL

CITIZAN NOCIO VIII ANDENZA

KAOLYN INGENIEROS SAC



		Consulte civiles,	oria, Topogi Sancamien	Consultoria, Topografía, Laboratorio de Mecánica de suelos, concreto y pavimentos, Ejecución de obras civiles, Saneamiento de terrenos. Compra venta y alquiler de equipos de topografía y equipos livianos. Jr. Paraiso Nº 120- CAJAMARCA Teléfonos: 984 336450 / 970 909446 / 984 335834 RUC: 20529476931 correo electrónico: kisac@hotmail.es / laboratoriokaolyn@gmail.com	io de Mecánica de suelos, concreto y pavimentos, Ejecución de obras Compra venta y alquiler de equipos de topografía y equipos livianos. 120- CAJAMARCA Teléfonos: 984 336450 / 970 909446 / 984 335834 931 correo electrónico: kisac@hotmail.es / laboratoriokaolyn@gmail.com	eto y pavimentos, Ej ipos de topografía y 16450 / 970 909446 / 9 til.es / laboratoriokaoly	ecución de obras equipos livianos. 84 335834 a@gmail.com
Ti	rírulo:	ASTM C373 - Método estándar de ensayo para	odo estánda:	r de ensayo para absorción d	absorción de agua, densidad aparente, porosidad y gravedad específica	nte, porosidad y graved	lad especifica
Nro a	Nro de Revisión:		Fecha de Revisión del	Enero, 2025		Código de Control Nro.:	
Tesis:		"INFLUENCIA DE LA A ALBAÑILERÍA"	ADICCIÓN DE	"INFLUENCIA DE LA ADICCIÓN DE LA FIBRA DE VIDRIO EN LA JUNTA DE MORTERO EN LA RESISTENCIA A COMPRESIÓN AXIAL DE PILAS DE ALBAÑILERÍA"	VTA DE MORTERO EN LA	RESISTENCIA A COMPRE	SIÓN AXIAL DE PILAS DE
Ubicación:	ë	CAJAMARCA-CAJAMARCA	CA				
Cliente:		Deisy Maricela Ruiz Fernández	ndez				
			20 411011				
Š	a	DESCRIPCIÓN	MOLDEO	DENSIDA REAL	DENSIDAD APARENTE	POROSIDAD(%)	OBSERVASCIONES

POROSIDAD(%) 37.13

DENSIDA REAL 2.72 2.74 2.70

> 2/01/2025 2/01/2025

LADRILLO ARTESENAL-N1

LADRILLO ARTESENAL-N1

LADRILLO ARTESENAL-N1 LADRILLO ARTESENAL-N1 LADRILLO ARTESENAL-N1

2/01/2025 2/01/2025

36.94

37.2

22.20 34.07

LILIEN ROCIO VIIIAN PAY 2.......
INGENIERO CACA

INGENIERO ESPECIALISTA Henry Josue Willamera Bazda ING. CIVIL



Consultoria, Topografía, Laboratorio de Mecánica de suelos, concreto y pavimentos, Ejecución de obras civiles, Saneamiento de terrenos, Compra venta y alquiler de equipos de topografía y equipos livianos.

Jr. Paraiso N° 120- CAJAMARCA Teléfonos: 984 336450 / 970 909446 / 984 335834 RUC: 20529476931 correo electrónico: kisac@hotmail.es / laboratoriokaolyn@gmail.com

TiT	TÍTH O.						_
		todo estándar	ASTM C373 – Método estándar de ensayo para absorción de agua, densidad aparente, porosidad y gravedad específica	e agua, densidad apare	nte, porosidad y graved	ad específica	
Nro de	Nro de Revisión:	Fecha de Revisión del	Enero, 2025		Código de Control Nro.:		_
Tesis:	"INFLUENCIA DE LA ALBAÑILERÍA"	ADICCIÓN DE	"INFLUENCIA DE LA ADICCIÓN DE LA FIBRA DE VIDRIO EN LA JUNTA DE MORTERO EN LA RESISTENCIA A COMPRESIÓN AXIAL DE PILAS DE ALBAÑILERÍA"	NTA DE MORTERO EN LA	RESISTENCIA A COMPRES	SIÓN AXIAL DE PILAS DE	_
Ubicación:	CAJAMARCA-CAJAMARCA	CA					
Cliente:	Deisy Maricela Ruiz Fernández	ández					_
°	DESCRIPCIÓN	FECHA DE MOLDEO	DENSIDA REAL	DENSIDAD APARENTE	POROSIDAD(%)	OBSERVASCIONES	
1	LADRILLO ARTESENAL-N1	2/01/2025	2.72	2	38.24		_
2	LADRILLO ARTESENAL-N1	2/01/2025	2.67	2	34.8		-,-
3	LADRILLO ARTESENAL-N1	2/01/2025	2.69	2	35.69		_
4	LADRILLO ARTESENAL-N1	2/01/2025	2.69	2	34.57		_
2	LADRILLO ARTESENAL-N1	2/01/2025	2.73	2	35.53		

Henry Josue Philanueva Bazda ING. CIVIL

INGENIERO ESPECIALISTA

KAOLYN INGENIEROS SAC

Lilian Rocio Villanuara



		onsultoria, Topo	Consultoria, Topografia, Laboratorio de Mecánica de Compre venta y al Jr. Paraiso Nº 120 RUC: 20529476931		suelos, concreto y pavimentos, Ejecución de obra quiler de equipos de topografía y equipos livianos CAJAMARCA Teléfonos: 984 336450 / 970 909446 / 984 correo electrónico: kisac@hotmall.es / laboratoriokaolyn@	suelos, concreto y pavimentos. Ejecución de obras civiles, Saneamiento de terrenos, quiler de equipos de topografía y equipos livianos. CAJAMARCA Teléfonos: 984 336450 / 970 909446 / 984 335834. correo electrónico: kisac@hotmall.es / laboratoriokaolyn@gmall.com	iles, Saneamiento di 34 .com	e terrenos,	
T	TTULO: ASTM C67.	- Método estánda:	ASTM C67 – Método estándar de ensayo para muestreo y pruebas d	ruebas de ladrillos y bl	le ladrillos y bloques cerámicos estructurales	cturales			
Mro	No de Revisión:	Fecha de Revisión del	Enero, 2025			Código de Control Nro.:			
Tesis:	"INFLUENCIA	DE LA ADICCIÓN D	"INFLUENCIA DE LA ADICCIÓN DE LA FIBRA DE VIDRIO EN LA JUNTA DE MORTERO EN LA RESISTENCIA A COMPRESIÓN AXIAL DE PILAS DE ALBAÑILERÍA"	NTA DE MORTERO EN LA	RESISTENCIA A COMPRES	SIÓN AXIAL DE PILAS DE	LBAÑILERÍA"		
Ubicación:	n: CAJAMARCA-CAJAMARCA	UAMARCA							
Cliente:	Deisy Maricela Ruiz Fernández	uiz Fernández							
å	DESCRIPCIÓN	FECHA DE MOLDEO	MASA SECA (g)	MASA 1 MIN (g)	ÁREA DE BASE (cm²)	INCREMENTO (g)	SUCCIÓN (kg/m²-min)	OBSERVASCIONES	
-	LADRILLO ARTESENAL-N2	N2 2/01/2025	2635.00	2662	272	27	1.009		
٧.	LADRILLO ARTESENAL-N2	N2 2/01/2025	2635.00	2663	272	58	1.025		
ო	LADRILLO ARTESENAL-N2	N2 2/01/2025	2635.00	2663	272	28	1.020		
4	LADRILLO ARTESENAL-N2	N2 2/01/2025	2635.00	2663	272	28	1.016		
10	LADRILLO ARTESENAL-NZ	N2 2/01/2025	2635.00	2663	272	28	1.025		
	ATT CONTRACTOR OF THE PARTY OF								

Serry Josus Wilanueva Bazán ING. CIVIL CIP. IN 195304 S. INGENIERO ESPECIALISTA Lilian Rocio Villano INGENIERA C KAOLYYONGTRBIE



	Consu	ltoria, Topog s, Sancamien	Consultoria, Topografía, Laboratorio de Mecánica de suelos, concreto y pavimentos, Ejecución de o civiles, Saneamiento de terrenos, Compra venta y alquiler de equipos de topografía y equipos livia: Jr. Paraiso Nº 120- CAJAMARCA Teléfonos: 984 336450 / 970 909446 / 984 335834 RUC: 20529476931 correo electrónico: kisac@hotmail.es / laboratoriokaolyn@gmail.com	inica de suelos, conc enta y alquiler de equ AMARCA Teléfonos: 984 o electrónico: kisac@hot	suelos, concreto y pavimentos, Ejecución de obras quiler de equipos de topografía y equipos livianos. Teléfonos: 984 336450 / 970 905446 / 984 335834 alco: kisac@hotmail.es / laboratoriokaolyn@gmail.com	jecución de obras equipos livianos. ' 984 335834 Iyn@gmail.com			
TI.	TÍTULO: ASTM C67 – Me	todo estándar	ASTM C67 – Método estándar de ensayo para muestreo y pruebas de ladrillos y bloques cerámicos estructurales	rruebas de ladrillos y bl	oques cerámicos estruc	cturales			
Mro d	Aro de Revisión:	Fecha de Revisión de/	Enero, 2025			Código de Control Nro.:	-:		
Tesis:	"INFLUENCIA DE I	A ADICCIÓN DE	"INFLUENCIA DE LA ADICCIÓN DE LA FIBRA DE VIDRIO EN LA JUNTA DE MORTERO EN LA RESISTENCIA A COMPRESIÓN AXIAL DE PILAS DE ALBAÑILERÍA"	NTA DE MORTERO EN LA	RESISTENCIA A COMPRES	SIÓN AXIAL DE PILAS DE	ALBAÑILERÍA"		
Ubicación:	CAJAMARCA-CAJAMARCA	VRCA							
Clente	Deisy Maricela Ruiz Fernández	rnández							
å	DESCRIPCIÓN	FECHA DE MOLDEO	MASA SECA (g)	MASA 1 MIN (g)	ÁREA DE BASE (cm²)	INCREMENTO (g)	SUCCIÓN (kg/m²·min)	OBSERVASCIONES	
٢	LADRILLO ARTESENAL-W1	2/01/2025	2635.00	2663	272	58	1.013		
2	LADRILLO ARTESENAL-W1	2/01/2025	2635.00	2663	272	28	1.031		
6	LADRILLO ARTESENAL-WI	2/01/2025	2635.00	2663	272	28	1.016		
4	LADRILLO ARTESENAL-N1	2/01/2025	2635.00	2663	272	28	1.020		
50	LADRILLO ARTESENAL-NT	2/01/2025	2635.00	2663	272	28	1.029		
OE ME	DE MECAWICA O								

Menty Josue Villanueva Bazan INGENIEROINGUSIMLISTA CIP. N° 185304

LIIIAN ROGO VIIIANUEVA D.



Consultoria, Topografía, Laboratorio de Mecánica de suelos, concreto y pavimentos, Ejecución de obras civiles, Saneamiento de terrenos, Compra venta y alquiler de equipos de topografía y equipos livianos.

Jr. Paraiso N° 120- CAJAMARCA Teléfonos: 984 336450 / 970 909446 / 984 335834 RUC: 20529476931 correo electrónico: kisac@hotmail.es / laboratoriokaolyn@gmail.com

T	TÍTULO: Norma Técnica	Peruana (NT)	P) 399.604-	Ladrillos y B	loques Cera	ímicos - Mé	Norma Técnica Peruana (NTP) 399,604 – Ladrillos y Bloques Cerámicos - Método de Ensayo de Resistencia a la Compresión	sistencia a la Compi	esión
Aro of	Nro de Revisión:	Fecha de Revisión del	Enero	Enero, 2025		Código de Control Nro.:	ontrol Nro.:	KISAC-RP-584-2024	
Tesis:	"INFLUENCIA DE I	A ADICCIÓN DE	S LA FIBRA DE	VIDRIO EN LA	JUNTA DE M	ORTERO EN 1	"INFLUENCIA DE LA ADICCIÓN DE LA FIBRA DE VIDRIO EN LA JUNTA DE MORTERO EN LA RESISTENCIA A COMPRESIÓN AXIAL DE PILAS DE ALBAÑILERÍA"	PRESIÓN AXIAL DE PII	AS DE ALBAÑILERÍA"
Ubicación:	CAJAMARCA-CAJAMARCA	ARCA							
Cliente:	Deisy Maricela Ruiz Fernández	ernández							
N	DESCRIPCIÓN	FECHA DE MOLDEO	FECHA DE ROTURA	CARGA MÁXIMA (KN)	CARGA MÁXIMA (Kg)	ÁREA (cm2)	RESISTENCIA A LA COMPRESIÓN (Kg/cm2)	RESISTENCIA A LA COMPRESIÓN (MPa)	OBSERVACIONES
-	15% FIBRA	4/01/2025	1/02/2025	396.07	40387	285.56	141.432	13.870	
7	15% FIBRA	4/01/2025	1/02/2025	371.05	37836	271.04	139.597	13.690	
6	15% FIBRA	4/01/2025	1/02/2025	374.92	38231	275.88	138.577	13.590	
4	15% FIBRA	4/01/2025	1/02/2025	381.20	38871	273.46	142.146	13.940	
9	15% FIBRA	4/01/2025	1/02/2025	381.22	38873	280.72	138.475	13.580	
9	15% FIBRA	4/01/2025	1/02/2025	369.99	37728	273.46	137.965	13.530	
1	S MECAN								

Lilian Rocio Villanueva 2.......
INGENIERO CIVIL
CIP. 115722

NEORATO

THE STATE OF KAOLYN INGENIEROS SAC

Stearth Joseph Willington Bazan
INGENIERO ESPECIXILISTA
CIP: Nº 195304

SAL MANTE

ASSORADO



Consultoria, Topografía, Laboratorio de Mecánica de suelos, concreto y pavimentos, Ejecución de obras civiles, Saneamiento de terrenos, Compra venta y alquiler de equipos de topografía y equipos livianos.

Jr. Paraiso N° 120. CAJAMARCA Teléfonos: 984 336450 / 970 909446 / 984 335834 RUC: 20529476931 correo electrónico: kisac@hotmail.es / laboratoriokaolyn@gmail.com

π	rfrulo: Norma	Técnica Pe	ruana (NTP	399.604-	Ladrillos y B.	loques Cerd	ímicos - Méi	Norma Técnica Peruana (NTP) 399.604 – Ladrillos y Bloques Cerámicos - Método de Ensayo de Resistencia a la Compresión	sistencia a la Compi	esión
Nro di	Nro de Revisión:		Fecha de Revisión de/	Enero	Enero, 2025		Código de Control Nro.:	ontrol Nro.:	KISAC-RP-584- 2024	
Tesis:	"INFLUEN	NCIA DE LA	ADICCIÓN DE	LA FIBRA DE	VIDRIO EN LA	JUNTA DE M	ORTERO EN I	"INFLUENCIA DE LA ADICCIÓN DE LA FIBRA DE VIDRIO EN LA JUNTA DE MORTERO EN LA RESISTENCIA A COMPRESIÓN AXIAL DE PILAS DE ALBAÑILERÍA"	PRESIÓN AXIAL DE PII	AS DE ALBAÑILERÍA"
Ubicsción	1200	CAJAMARCA-CAJAMARCA	V.							
Cilente:	Deisy Marie	Deisy Maricela Ruiz Fernández	ndez	5						
Š	DESCRIPCIÓN	NÇ	FECHA DE MOLDEO	FECHA DE ROTURA	CARGA MÁXIMA (KN)	CARGA MÁXIMA (Kg)	ÁREA (cm2)	RESISTENCIA A LA COMPRESIÓN (Kg/cm2)	RESISTENCIA A LA COMPRESIÓN (MPa)	OBSERVACIONES
٢	15% FIBRA		4/01/2025	18/01/2025	300.09	30600	280.72	109.006	10.690	
8	15% FIBRA	_	4/01/2025	18/01/2025	280.26	28578	271.04	105.437	10.340	
ဗ	15% FIBRA	-	4/01/2025	18/01/2025	288.02	29369	275.88	106.457	10.440	
4	15% FIBRA		4/01/2025	18/01/2025	290.96	29669	273.46	108.496	10.640	
10	15% FIBRA	.	4/01/2025	18/01/2025	290.83	29656	280.72	105.641	10.360	
ဖ	15% FIBRA	ď	4/01/2025	18/01/2025	287.95	29363	273.46	107.374	10.530	
100	Superior Co.									

Henry Josue Willenwers Bazden ING, CIVIL

Lilian Rocio Villanueva 222. KAOLYNINGENEROS SAC

40TARORA

INGENIER BERESTOR ISTA



Consultoria, Topografía, Laboratorio de Mecánica de suelos, concreto y pavimentos, Ejecución de obras civiles, Saneamiento de terrenos, Compra venta y alquiler de equipos de topografía y equipos livianos.

Jr. Paraiso Nº 120- CAJÁMARCA Teléfonos: 984 336450 / 970 909446 / 984 335834 RUC: 20529476931 correo electrónico: kisac@hotmail.es / laboratorlokaolyn@gmail.com

ΤĹ	título: Norma Ta	écnica Peru	ana (NTP)	399.604-	Ladrillos y B.	loques Ceri	ámicos - Mé	Norma Técnica Peruana (NTP) 399,604 – Ladrillos y Bloques Cerámicos - Método de Ensayo de Resistencia a la Compresión	sistencia a la Comp	resión
Mro d	Nro de Revisión:	, &	Fecha de Revisión de/	Enero	Enero, 2025		Código de Control Nro.:	ontrol Nro.:	KISAC-RP-584- 2024	
Tesis:	"INFLUENC	IA DE LA ADI	CCIÓN DE	LA FIBRA DE	VIDRIO EN LA	JUNTA DE M	IORTERO EN	"INFLUENCIA DE LA ADICCIÓN DE LA FIBRA DE VIDRIO EN LA JUNTA DE MORTERO EN LA RESISTENCIA A COMPRESIÓN AXIAL DE PILAS DE ALBAÑILERÍA"	PRESIÓN AXIAL DE PI	LAS DE ALBAÑILERÍA"
Ubicsción:		CAJAMARCA-CAJAMARCA								
Cliente:	Deisy Maricel	Deisy Maricela Ruiz Fernández	8							
Š	DESCRIPCIÓN		FECHA DE MOLDEO	FECHA DE ROTURA	CARGA MÁXIMA (KN)	CARGA MÁXIMA (Kg)	ÁREA (cm2)	RESISTENCIA A LA COMPRESIÓN (Kg/cm2)	RESISTENCIA A LA COMPRESIÓN (MPa)	OBSERVACIONES
٠	15% FIBRA	4	4/01/2025	11/01/2025	203.80	20782	280.72	74.030	7.260	
~	15% FIBRA	4	4/01/2025	11/01/2025	199.49	20342	271.04	75.050	7.360	
m	15% FIBRA	*	4/01/2025	11/01/2025	197.53	20142	275.88	73.011	7.160	
4	15% FIBRA	4	4/01/2025	11/01/2025	196.07	19993	273.46	73.112	7.170	
40	15% FIBRA	4	4/01/2025	11/01/2025	199.03	20295	280.72	72.297	7.090	
6	15% FIBRA		4/01/2025	11/01/2025	195.80	19965	273.46	73.011	7.160	
No. of Street, or other Persons	SOE MELANICA									

LRIAN RACIO VILLANUEVA BELLE, Menny Josus Millenuevu Gazán MGENIERO VILLANUEVA BELLE, INGENIERO MASSAC INGENIERO MESSAC CIPE Nº 195304

TARORA,

MALSTRANTE

Karsokabo Karsokabo



Consultoria, Topografia, Laboratorio de Mecánica de suelos, concreto y pavimentos, Ejecución de obras civiles, Sancamiento de terrenos, Compra venta y alquiler de equipos de topografia y equipos livianos.

Jr. Paraiso N° 120- CAJAMARCA Teléfonos: 984 336450 / 970 909446 / 984 335834 RUC: 20529476931 correc electrónico: kisac@hotmail.es / laboratoriokaolyn@gmail.com

				The second secon					
11	TITULO: Norma Técnica P	eruana (NT)	9) 399.604 -	Ladrillos y B	loques Cen	ámicos - Mé	Norma Técnica Peruana (NTP) 399.604 – Ladrillos y Bloques Cerámicos - Método de Ensayo de Resistencia a la Compresión	sistencia a la Comp	resión
Aro d	Aro de Revisión:	Fecha de Revisión del	Enerc	Enero, 2025		Código de Control Nro.:	ontrol Nro.:	KISAC-RP-584- 2024	
Tesis:	"INFLUENCIA DE LA	ADICCIÓN DE	LA FIBRA DE	VIDRIO EN LA	JUNTA DE M	IORTERO EN 1	"INFLUENCIA DE LA ADICCIÓN DE LA FIBRA DE VIDRIO EN LA JUNTA DE MORTERO EN LA RESISTENCIA A COMPRESIÓN AXIAL DE PILAS DE ALBAÑILERÍA"	PRESIÓN AXIAL DE PI	LAS DE ALBAÑILERÍA"
Ubicación:	CAJAMARCA-CAJAMARCA	RCA							
Cliente:	Deisy Maricela Raiz Fernández	ıández		SX.					
ž	DESCRIPCIÓN	FECHA DE MOLDEO	FECHA DE ROTURA	CARGA MÁXIMA (KN)	CARGA MÁXIMA (Kg)	ÁREA (cm2)	RESISTENCIA A LA COMPRESIÓN (Kg/cm2)	RESISTENCIA A LA COMPRESIÓN (MPa)	OBSERVACIONES
,	10% FIBRA	4/01/2025	1/02/2025	369.44	37672	273.46	137.761	13.510	
7	10% FIBRA	4/01/2025	1/02/2025	375.80	38320	285.56	134.193	13.160	
ო	10% FIBRA	4/01/2025	1/02/2025	359.87	36696	273.46	134.193	13.160	
4	10% FIBRA	4/01/2025	1/02/2025	363.74	37090	278.30	133.275	13.070	
40	10% FIBRA	4/01/2025	1/02/2025	361.68	36880	275.88	133.683	13.110	
9	10% FIBRA	4/01/2025	1/02/2025	354.31	36129	268.62	134.498	13.190	
SOST. ME	Con College			7					

Henry Josuf Villamuru Bazdin ING. CIVIL CR:N'- 195304 INGENIERO ESPECIALISTA

Lilian Rocio Villantera B. Inservice RADINERIO CIVILIA

MAISTRANTE

September 1



Consultoria, Topografia, Laboratorio de Mecánica de suelos, concreto y pavimentos, Ejecución de obras civiles, Saneamiento de terrenos, Consulta y alquiler de equipos de topografía y equipos livianos.

Jr. Paraiso N° 120- CAJAMARCA Teléfonos: 984 336450 / 970 909446 / 984 335834 RUC: 20529476931 correo electrónico: kisac@hotmail.es / laboratoriokaolyn@gmail.com

TT.	TITULO: Norma Técnic	a Peruana (N	TP) 399.604-	Ladrillos y B	loques Cer	ímicos - Mé	Norma Técnica Peruana (NTP) 399.604 – Ladrillos y Bloques Cerámicos - Método de Ensayo de Resistencia a la Compresión	sistencia a la Comp	resión
Nro d	Nro de Revisión:	Fecha de Revisión del	Enerc	Enero, 2025		Código de Control Nro.:	ontrol Nro.:	KISAC-RP-584- 2024	
Tesis:	"INFLUENCIA DE	LA ADICCIÓN I	DE LA FIBRA DE	VIDRIO EN LA	JUNTA DE M	ORTERO EN I	"INFLUENCIA DE LA ADICCIÓN DE LA FIBRA DE VIDRIO EN LA JUNTA DE MORTERO EN LA RESISTENCIA A COMPRESIÓN AXIAL DE PILAS DE ALBAÑILERÍA"	PRESIÓN AXIAL DE PI	LAS DE ALBAÑILERÍA"
Ubicación:	CAJAMARCA-CAJAMARCA	MARCA							
Cilente:	Deisy Maricela Ruiz Fernández	Fernández							
ž	DESCRIPCIÓN	FECHA DE MOLDEO	FECHA DE ROTURA	CARGA MÁXIMA (KOV)	CARGA MÁXIMA (Kg)	ÁREA (cm2)	RESISTENCIA A LA COMPRESIÓN (Kg/cm2)	RESISTENCIA A LA COMPRESIÓN (MPa)	OBSERVACIONES
-	10% FIBRA	4/01/2025	18/01/2025	269.91	27522	273.46	100.644	9.870	
7	10% FIBRA	4/01/2025	18/01/2025	284.42	29002	285.56	101.562	9.960	
т	10% FIBRA	4/01/2025	18/01/2025	274.83	28024	273.46	102.480	10.050	
4	10% FIBRA	4/01/2025	18/01/2025	281.64	28719	278.30	103.194	10.120	
ιŋ	10% FIBRA	4/01/2025	18/01/2025	271.55	27690	273.46	101.256	9.930	
9	10% FIBRA	4/01/2025	18/01/2025	285.12	29074	283.14	102.684	10.070	
1	L MECANIC								

KAOLYN INGENEROS SAC INGENEROS SAC INGENERO SPECIALISTA

CARRORA

MAESTRANTE

Constant Con



Consultoria, Topografía, Laboratorio de Mecánica de suelos, concreto y pavimentos, Ejecución de obras civiles, Saneamiento de terrenos, Compra venta y alquiler de equipos de topografía y equipos livianos.

Jr. Paraiso N° 120- CAJAMARCA Teléfonos: 984 336450 / 970 909446 / 984 335834 RUC: 20529476931 correo electrónico: kisac@hotmail.es / laboratoriokaolyn@gmail.com

ΤĹ	TÍTULO: Norma Técnic	a Peruana (N1	P) 399.604 -	Ladrillos y B	loques Cere	ímicos - Méi	Norma Técnica Peruana (NTP) 399,604 – Ladrillos y Bloques Cerámicos - Método de Ensayo de Resistencia a la Compresión	sistencia a la Comp	esión
Alro de	Nro de Revisión:	Feche de Revisión de/	Energ	Enero, 2025		Código de Control Nro.:	ontrol Nro.:	KISAC-RP-584-2024	
Tesis:	"INFLUENCIA DI	"INFLUENCIA DE LA ADICCIÓN DE LA FIBRA DE VIDRIO EN LA JUNTA	E LA FIBRA DE	VIDRIO EN LA	JUNTA DE M	ORTERO EN I	DE MORTERO EN LA RESISTENCIA A COMPRESIÓN AXIAL DE PILAS DE ALBAÑILERÍA"	PRESIÓN AXIAL DE PI	AS DE ALBAÑILERÍA".
Ubicación:	CAJAMARCA-CAJAMARCA	MARCA							
Cliente:	Deisy Maricela Ruiz Fernández	Fernández							
No	DESCRIPCIÓN	FECHA DE MOLDEO	FECHA DE ROTURA	CARGA MÁXIMA (KN)	CARGA MÁXIMA (Kg)	ÁREA (cm2)	RESISTENCIA A LA COMPRESIÓN (Kg/cm2)	RESISTENCIA A LA COMPRESIÓN (MPa)	OBSERVACIONES
1	10% FIBRA	4/01/2025	11/01/2025	193.25	19706	275.88	71.430	7.005	
64	10% FIBRA	4/01/2025	11/01/2025	189.84	19358	271.04	71.420	7.004	
e	10% FIBRA	4/01/2025	11/01/2025	190.36	19411	278.30	69.747	6.840	
4	10% FIBRA	4/01/2025	11/01/2025	188.10	19181	271.04	70.767	6.940	
5	10% FIBRA	4/01/2025	11/01/2025	190.91	19467	278.30	69.951	6.860	
٥	10% FIBRA	4/01/2025	11/01/2025	191.15	19491	283.14	68.840	6.751	
300	Se second								

Foury Coughtinners Bazin

Lilian Rocio Villanueva 2....

POTANOBA.

NAESTRANT

A STANDON OF THE STAN



Consultoria, Topografia, Laboratorio de Mecánica de suelos, concreto y pavimentos, Ejecución de obras civiles, Saneamiento de terrenos, Compra venta y alquiler de equipos de topografía y equipos livianos.

Jr. Paraiso N° 120- CAJAMARCA Teléfonos: 984 336450 / 970 909446 / 984 335834

RUC: 20529476931 correo electrónico: kisac@hotmail.es / laboratorlokaolyn@gmail.com

T	TÍTULO:	Norma Thomas Danna (NTD) 200 604 I adulton Diam	ILW Dunne	300 604	I adeillos D	Januar Com	M. morino	to do do France do D		
		Torma Techica L	IIAI) nunnia	- 400%66	raaratos y B	todues cen	nmicos - Me	les Ceramicos - Melodo de Ensayo de Kesisiencia a la Compresion	sistencia a la Comp.	resion
Nro c	Nro de Revisión:		Feche de Revisión del	Enero	Enero, 2025		Código de Control Nro.:	ontrol Nro.:	KISAC-RP-584- 2024	
Tesis:		"INFLUENCIA DE LA	ADICCIÓN DE	LA FIBRA DE	VIDRIO EN LA	JUNTA DE M	ORTERO EN I	"INFLUENCIA DE LA ADICCIÓN DE LA FIBRA DE VIDRIO EN LA JUNTA DE MORTERO EN LA RESISTENCIA A COMPRESIÓN AXIAL DE PILAS DE ALBAÑILERÍA"	PRESIÓN AXIAL DE PII	LAS DE ALBAÑILERÍA"
Ubicación:	it	CAJAMARCA-CAJAMARCA	CA							
Cliente:		Deisy Maricela Ruiz Fernández	žudez							
ů	9	DESCRIPCIÓN	FECHA DE MOLDEO	FECHA DE ROTURA	CARGA MÁXIMA (KN)	CARGA MÁXIMA (Kg)	ÁREA (cm2)	RESISTENCIA A LA COMPRESIÓN (Kg/cm2)	RESISTENCIA A LA COMPRESIÓN (MPa)	OBSERVACIONES
*-		5% FIBRA	4/01/2025	1/02/2025	332.53	33908	273.46	123.996	12.160	
8		5% FIBRA	4/01/2025	1/02/2025	348.67	35554	285.56	124.505	12.210	
6		5% FIBRA	4/01/2025	1/02/2025	329.25	33573	273.46	122.772	12.040	
4		5% FIBRA	4/01/2025	1/02/2025	335.63	34224	278.30	122.976	12.060	
ω.		5% FIBRA	4/01/2025	1/02/2025	327.67	33406	273.46	122.160	11.980	
9	N.Car.	5% FIBRA	4/01/2025	1/02/2025	344.02	35079	283.14	123.894	12.150	
2/3	Se S									

CIP.: N° 195304

CIP. 115727 KAOLYN INGENIEROS SAC

Lilian Rocio Villanueva 2....



Consultoria, Topografía, Laboratorío de Mecánica de suelos, concreto y pavimentos, Ejecución de obras civiles, Saneamiento de terrenos, Compra venta y alquiler de equipos de topografia y equipos livianos.

Jr. Paraiso Nº 120- CAJAMARCA Teléfonos: 984 336450 / 970 909446 / 984 335834 RUC: 20529476931 correo electrónico: kisac@hotmail.es / laboratoriokaolyn@gmail.com

TT.	TÍTULO: Norma Técnica	Peruana (NT	P) 399.604 -	Ladrillos y B	loques Ceri	ímicos - Mé	Norma Técnica Peruana (NTP) 399,604 – Ladrillos y Bloques Cerámicos - Método de Ensayo de Resistencia a la Compresión	sistencia a la Comp	esión	T
Aro de	Nro de Revisión:	Fecha de Revisión del	Enerc	Enero, 2025		Código de Control Nro.:	ontrol Nro.:	KISAC-RP-584- 2024		\neg
Tesis:	"INFLUENCIA DE	LA ADICCIÓN D	E LA FIBRA DE	VIDRIO EN LA	JUNTA DE M	ORTERO EN	"INFLUENCIA DE LA ADICCIÓN DE LA FIBRA DE VIDRIO EN LA JUNTA DE MORTERO EN LA RESISTENCIA A COMPRESIÓN AXIAL DE PILAS DE ALBAÑILERÍA"	PRESIÓN AXIAL DE PI	LAS DE ALBAÑILERÍA"	
Ubleación:	CAJAMARCA-CAJAMARCA	IARCA								_
Cliente:	Deisy Maricela Ruiz Fernández	ernández								7
Š	DESCRIPCIÓN	FECHA DE MOLDEO	FECHA DE ROTURA	CARGA MÁXIMA (KN)	CARGA MÁXIMA (Kg)	ÁREA (cm2)	RESISTENCIA A LA COMPRESIÓN (Kg/cm2)	RESISTENCIA A LA COMPRESIÓN (MPa)	OBSERVACIONES	17
1	5% FIBRA	4/01/2025	18/01/2025	246.65	25151	271.04	92.793	9.100		
7	5% FIBRA	4/01/2025	18/01/2025	264.43	26964	285.56	94.424	9.260		
ы	5% FIBRA	4/01/2025	18/01/2025	245.02	24985	271.04	92.181	9.040		
4	5% FIBRA	4/01/2025	18/01/2025	250.35	25529	268.62	95.036	9.320		
40	5% FIBRA	4/01/2025	18/01/2025	252.13	25710	273.46	94.016	9.220		1
60	5% FIBRA	4/01/2025	18/01/2025	253.22	25821	273.46	94.424	9.260		
180	To low look									п

CLINET ROCIO VIII ANGENIERO CUM.

MOENIERO CUM.

RAOLYS MAGENIERO SAC

INGENIERO CENTRATA

OTAROBA.

MAESTRANTE

OG NATIONAL PROPERTY OF THE PR



Consultoria, Topografia, Laboratorio de Mecánica de suelos, concreto y pavimentos, Ejecución de obras civiles, Saneamiento de terrenos,

Compra venta y alguiler de equipos de topografía y equipos livianos. Jr. Paraiso Nº 120- CAJAMARCA Teléfonos: 984 336450 / 970 909446 / 984 335834 RUC: 20529476931 correo electrónico: kisac@hotmail.es / laboratorlokaolyn@gmail.com

TT.	TÍTULO: Norma Técnica P	eruana (NTF	399.604-	Ladrillos y B.	loques Cerd	ímicos - Méi	Norma Técnica Peruana (NTP) 399,604 – Ladrillos y Bloques Cerámicos - Método de Ensayo de Resistencia a la Compresión	sistencia a la Compr	esión
Alro de	Nro de Revisión:	Fecha de Revisión del	Enero	Enero, 2025		Código de Control Nro.:	antrol Nro.:	KISAC-RP-584- 2024	
Tesis:	"INFLUENCIA DE LA	ADICCIÓN DE	LA FIBRA DE	VIDRIO EN LA	JUNTA DE M	ORTERO EN I	"INFLUENCIA DE LA ADICCIÓN DE LA FIBRA DE VIDRIO EN LA JUNTA DE MORTERO EN LA RESISTENCIA A COMPRESIÓN AXIAL DE PILAS DE ALBAÑILERÍA"	PRESIÓN AXIAL DE PII	AS DE ALBAÑILERÍA"
Ubicación:	CAJAMARCA-CAJAMARCA	KCA.							
Cliente:	Deisy Maricela Ruiz Fernández	nández							
%	DESCRIPCIÓN	FECHA DE MOLDEO	FECHA DE ROTURA	CARGA MÁXIMA (KN)	CARGA MÁXIMA (Kg)	ÁREA (cm2)	RESISTENCIA A LA COMPRESIÓN (Kg/cm2)	RESISTENCIA A LA COMPRESIÓN (MPa)	OBSERVACIONES
+	5% FIBRA	4/01/2025	11/01/2025	169.13	17246	271.04	63.629	6.240	
8	5% FIBRA	4/01/2025	11/01/2025	184.19	18781	285.56	65.771	6.450	
е	5% FIBRA	4/01/2025	11/01/2025	168.32	17163	271.04	63.323	6.210	
4	5% FIBRA	4/01/2025	11/01/2025	164.40	16763	268.62	62.406	6.120	
ιo	5% FIBRA	4/01/2025	11/01/2025	181.63	18520	280.72	65.975	6.470	
9	5% FIBRA	4/01/2025	11/01/2025	175.61	17907	278.30	64.343	6.310	
	C. C. W.ECANCO								

Cilian Rocio Villanueva 2.....

SARORA

(DILL) MAESTRANTE

CIP.: N° 19530&





Consultoria, Topografia, Laboratorio de Mecánica de suelos, concreto y pavimentos, Ejecución de obras civiles, Saneamiento de terrenos, Consultor y equipos livianos.

Jr. Paraiso Nº 120- CAJAMARCA Teléfonos: 984 336450 / 970 909446 / 984 333834 RUC: 20529476931 correo electrônico: kisac@hotmail.es / laboratoriokaolyn@gmail.cum

тí	rírulo: Norma	a Técnica Pe	eruana (NTF	399.604-	Ladrillos y B.	loques Cer	ámicos - Mé	Norma Técnica Peruana (NTP) 399.604 – Ladrillos y Bloques Cerámicos - Método de Ensayo de Resistencia a la Compresión	istencia a la Compi	esión	
Mro di	Nro de Revisión:		Fecha de Revisión de/	Enero	Enero, 2025		Código de Control Nro.:	ontrol Nro.:	KISAC-RP-584- 2024		
Tesis:	"INFLUI	ENCIA DE LA	ADICCIÓN DE	LA FIBRA DE	"INFLUENCIA DE LA ADICCIÓN DE LA FIBRA DE VIDRIO EN LA JUNT	JUNTA DE M	IORTERO EN I	A DE MORTERO EN LA RESISTENCIA A COMPRESIÓN AXIAL DE PILAS DE ALBAÑILERÍA"	PRESIÓN AXIAL DE PII	AS DE ALBAÑILERÍA"	_
Ubicación:		CAJAMARCA-CAJAMARCA	CA								_
Cijente:	Deisy Ma	Deisy Maricela Ruiz Fernández	ândez								
\$	DESCRIPCIÓN	νộυ	FECHA DE MOLDEO	FECHA DE ROTURA	CARGA MÁXIMA (KN)	CARGA MÁXIMA (Kg)	ÁREA (cm2)	RESISTENCIA A LA COMPRESIÓN (Kg/cm2)	RESISTENCIA A LA COMPRESIÓN (MPa)	OBSERVACIONES	
-	0% FIBRA	g,	4/01/2025	1/02/2025	299.00	30489	283.14	107.680	10.560		
2	0% FIBRA	А	4/01/2025	1/02/2025	306.98	31302	285.56	109.618	10.750		_
т	0% FIBRA	м	4/01/2025	1/02/2025	281.94	28749	273.46	105.131	10.310		
4	0% FIBRA	24	4/01/2025	1/02/2025	276.41	28186	268.62	104.927	10.290		
40	0% FIBRA	2.4	4/01/2025	1/02/2025	299.53	30543	280.72	108.802	10.670		
9	0% FIBRA	24	4/01/2025	1/02/2025	289.99	29570	278.30	106.253	10.420		
Olac	100										

CIP: N. 195304

Lilian Rocio Villanueva Sacan INGENIERO CIVI KAOLYKY RIGENIEROS SAC

TOY NEALTO

MARSTRANTE

Vestakabo



Consultoria, Topografía, Laboratorio de Mecánica de suelos, concreto y pavimentos, Ejecución de obras civiles, Saneamiento de terrenos, Compra venta y alquiler de equipos de topografía y equipos livianos.

Jr. Paraiso N° 120- CAJAMARCA Teléfonos: 984 335450 / 970 909446 / 984 335834 RUC: 20529476931 correo electrónico: kisac@hotmail.es / laboratoriokaolyn@gmail.com

ΤĹ	TÍTULO: Norma	ı Técnica Pa	eruana (NTF	9) 399.604 -	Ladrillos y B.	loques Cen	ámicos - Mé.	Norma Técnica Peruana (NTP) 399.604 – Ladrillos y Bloques Cerámicos - Método de Ensayo de Resistencia a la Compresión	sistencia a la Compi	esión	
Mro de	Mro de Revisión:		Fecha de Revisión del	Enero	Enero, 2025		Código de Control Nro.:	ontrol Nro.:	KISAC-RP-584- 2024		
Tesis:	"INFLUE	ENCIA DE LA	ADICCIÓN DE	LA FIBRA DE	VIDRIO EN LA	JUNTA DE M	ORTERO EN 1	"INFLUENCIA DE LA ADICCIÓN DE LA FIBRA DE VIDRIO EN LA JUNTA DE MORTERO EN LA RESISTENCIA A COMPRESIÓN AXIAL DE PILAS DE ALBAÑILERÍA"	PRESIÓN AXIAL DE PII	LAS DE ALBAÑILERÍA"	
Ubicación:		CAJAMARCA-CAJAMARCA	CA								
Cilente:	Deisy Mar	Deisy Maricela Ruiz Fernández	ández								
٤	DESCRIPCIÓN	IÓN	FECHA DE MOLDEO	FECHA DE ROTURA	CARGA MÁXIMA (KN)	CARGA MÁXIMA (Kg)	ÁREA (cm2)	RESISTENCIA A LA COMPRESIÓN (Kg/cm2)	RESISTENCIA A LA COMPRESIÓN (MPa)	OBSERVACIONES	
1	0% FIBRA	વ	4/01/2025	18/01/2025	215.36	21960	271.04	81.022	7.946		
8	0% FIBRA	લ	4/01/2025	18/01/2025	217.24	22152	271.04	81.729	8.015		
ო	0% FIBRA	ĸ	4/01/2025	18/01/2025	220.24	22458	273.46	82.127	8.054		
4	0% FIBRA	×	4/01/2025	18/01/2025	220.92	22528	275.88	81.658	8.008		
40	0% FIBRA	ę,	4/01/2025	18/01/2025	218.92	22323	273.46	81.633	8.006		
9	0% FIBRA	y.	4/01/2025	18/01/2025	221.85	22622	278.30	81.287	7.972		
DEMEC	DE MECHANICA OF										

CIP.: Nº 19530c

INGENERACE PROPERTY OF THE STATE OF THE STAT

OLIVERY KAOLYN RIGERIERO CIVI.



Consultoria, Topografía, Laboratorio de Mecánica de suelos, concreto y pavimentos, Ejecución de obras civiles, Saneamiento de terrenos, Compra y alquiler de equipos de topografía y equipos livianos.

Jr. Paraiso Nº 120- CAJÁMARCA Teléfonos: 984 336450 / 970 909446 / 984 335834 RUC: 20529476931 correo electrónico: kisac@hotmail.es / laboratoriokaolyn@gmsil.com

T	TÍTULO: Norm	na Técnica Pe	ruana (NTF) 399.604-	Ladrillos y B.	loques Cerá	ímicos - Méi	Norma Técnica Peruana (NTP) 399,604 – Ladrillos y Bloques Cerámicos - Método de Ensayo de Resistencia a la Compresión	ristencia a la Comp	esión	_
Nro di	Nro de Revisión:		Fecha de Revisión del	Enero	Enero, 2025		Código de Control Nro.:	ontrol Nro.:	KISAC-RP-584-2024		$\overline{}$
Tesis:	"INFLU	"INFLUENCIA DE LA ADICCIÓN DE LA FIBRA DE VIDRIO EN LA JUNT	ADICCIÓN DE	LA FIBRA DE	VIDRIO EN LA	JUNTA DE M	ORTERO EN I	A DE MORTERO EN LA RESISTENCIA A COMPRESIÓN AXIAL DE PILAS DE ALBAÑILERÍA"	PRESIÓN AXIAL DE PI	LAS DE ALBAÑILERÍA"	
Ubicación:		CAJAMARCA-CAJAMARCA	CA								$\overline{}$
Cliente:	Deisy M.	Deisy Maricela Ruiz Fernández	zəpu								
ž	DESCRIPCIÓN	CIÓN	FECHA DE MOLDEO	FECHA DE ROTURA	CARGA MÁXIMA (KN)	CARGA MÁXIMA (Kg)	ÁREA (cm2)	RESISTENCIA A LA COMPRESIÓN (Kg/cm2)	RESISTENCIA A LA COMPRESIÓN (MPa)	OBSERVACIONES	
1	0% FIBRA	<i>R</i> A	4/01/2025	11/01/2025	155.34	15840	285.56	55.472	5.440		
8	0% FIBRA	RA	4/01/2025	11/01/2025	148.18	15110	271.04	55.747	5.467		
6	0% FIBRA	RA	4/01/2025	11/01/2025	156.29	15937	278.30	57.266	5.616		
4	0% FIBRA	RA	4/01/2025	11/01/2025	150.14	15310	268.62	56.995	5.589		
ю	0% FIBRA	RA	4/01/2025	11/01/2025	151.72	15470	273.46	56.573	5.548		
9	CANICA 0% FIBRA	IRA	4/01/2025	11/01/2025	146.02	14889	273.46	54.448	5.340		
0	133										_

ANTE

INGENIE ROLES HEURITS Gran

KAOLY CHURNES SAC

Of Marie Control



Consultoria, Topografía, Laboratorio de Mecánica de suelos, concreto y pavimentos, Ejecución de obras civiles, Saneamiento de terrenos, Compra venta y alquiler de equipos de topografía y equipos livianos.

Jr. Paraiso N° 120- CAJAMARCA Teléfonos: 984 336450 / 970 909446 / 984 335834 RUC: 20529476931 correo electrónico: kisac@hotmail.es / laboratoriokaolyn@gmail.com

=	TITULO: Norma Técnica P	eruana (NTI	9) 399.604 –	Ladrillos y B	loques Cer	ímicos - Mé	Norma Técnica Peruana (NTP) 399.604 – Ladrillos y Bloques Cerámicos - Método de Ensayo de Resistencia a la Compresión	istencia a la Comp	resión
Nro de	Nro de Revisión:	Fecha de Revisión de/	Enerc	Enero, 2025		Código de Control Nro.:	introl Nro.:	KISAC-RP-584- 2024	
Tesis:	"INFLUENCIA DE LA	ADICCIÓN DE	LA FIBRA DE	VIDRIO EN LA	JUNTA DE M	ORTERO EN I	"INFLUENCIA DE LA ADICCIÓN DE LA FIBRA DE VIDRIO EN LA JUNTA DE MORTERO EN LA RESISTENCIA A COMPRESIÓN AXIAL DE PILAS DE ALBAÑILERÍA"	PRESIÓN AXIAL DE PI	LAS DE ALBAÑILERÍA"
Ubics:30n.	CAJAMARCA-CAJAMARCA	3CA							
Cilente:	Deisy Maricela Ruiz Fernández	rández							
Š	DESCRIPCIÓN	FECHA DE MOLDEO	FECHA DE ROTURA	CARGA MÁXIMA (KN)	CARGA MÁXIMA (Kg)	ÁREA (cm2)	RESISTENCIA A LA COMPRESIÓN (Kg/cm2)	RESISTENCIA A LA COMPRESIÓN (MPa)	OBSERVACIONES
-	15% FIBRA	5/01/2025	2/02/2025	332.96	33952	285.56	118.897	11.660	
7	15% FIBRA	5/01/2025	2/02/2025	318.20	32447	271.04	119.713	11.740	
ю	15% FIBRA	5/01/2025	2/02/2025	322.23	32858	275.88	119.101	11.680	
4	15% FIBRA	5/01/2025	2/02/2025	322.14	32848	273.46	120.121	11.780	
ю	15% FIBRA	5/01/2025	2/02/2025	327.04	33348	280.72	118.795	11.650	
90	ECANICA 15% FIBRA	5/01/2025	2/02/2025	319.67	32597	273.46	119.203	11.690	
TANOBAL S	KAOU CEP HISTORY		SKRUTY JOSH THERMAN GRI INGENIERONGSPECIALISTA CIP. N. 195304	MALISTA SS304		1	TRANTE		Sussephano



Consultoria, Topografia, Laboratorio de Mecánica de suelos, concreto y pavimentos, Ejecución de obras civiles, Saneamiento de terrenos, Compra venta y alquiler de equipos de topografía y equipos livianos.

Jr. Paraiso N° 120- CAJAMARCA Teléfonos: 984 336450 / 970 909446 / 984 335834 RUC: 20529476931 correo electrónico: kisac@hotmail.es / laboratoriokaolyn@gmail.com

TT	TÍTULO: Norma Técni	ca Peruana (NT	P) 399.604-	Ladrillos y B	loques Cert	ímicos - Mé	Norma Técnica Peruana (NTP) 399,604 – Ladrillos y Bloques Cerámicos - Método de Ensayo de Resistencia a la Compresión	istencia a la Compr	esión
Nro di	Nro de Revisión:	Fecha de Revisión del	Enerc	Enero, 2025		Código de Control Nro.:	ontrol Nro.:	KISAC-RP-584- 2024	
Tesis:	"INFLUENCIA D	E LA ADICCIÓN D	E LA FIBRA DE	VIDRIO EN LA	JUNTA DE M	ORTERO EN	"INFLUENCIA DE LA ADICCIÓN DE LA FIBRA DE VIDRIO EN LA JUNTA DE MORTERO EN LA RESISTENCIA A COMPRESIÓN AXIAL DE PILAS DE ALBAÑILERÍA"	PRESIÓN AXIAL DE PII	AS DE ALBAÑILERÍA"
Ивсесібл:	CAJAMARCA-CAJAMARCA	AMARCA							
Cijente:	Deisy Maricela Ruiz Fernández	'a Fernández							
å	DESCRIPCIÓN	FECHA DE MOLDEO	FECHA DE ROTURA	CARGA MÁXIMA (KN)	CARGA MÁXIMA (Kg)	ÁREA (cm2)	RESISTENCIA A LA COMPRESIÓN (Kg/cm2)	RESISTENCIA A LA COMPRESIÓN (MPa)	OBSERVACIONES
-	15% FIBRA	5/01/2025	19/01/2025	261.63	26679	280.72	95.036	9.320	
~	15% FIBRA	5/01/2025	19/01/2025	250.44	25537	271.04	94.220	9.240	
ო	15% FIBRA	5/01/2025	19/01/2025	254.09	25909	275.88	93.914	9.210	
4	15% FIBRA	5/01/2025	19/01/2025	258.69	26379	273.46	96.464	9.460	
'n	15% FIBRA	5/01/2025	19/01/2025	261.35	26650	280.72	94.934	9.310	
9	15% FIBRA	5/01/2025	19/01/2025	253.22	25821	273.46	94.424	9.260	
1	C. M.E.CAN/C.								

MOENIERO CIVIL MOENIERO CIVIL CIP II 233 KAOLYN INGENIEROS SAC

Menor Joseph Astronomy State NGENIER OF SPECIAL STATE OF SPECIAL STATE OF SPECIAL STATE OF SPECIAL SPE

SAMESITA NIE

ON PORTER OF THE PARTY OF THE P



Consultoria, Topografía, Laboratorio de Mecánica de suelos, concreto y pavimentos, Ejecución de obras civiles, Saneamiento de terrenos, Compra venta y alquiler de equipos de topografía y equipos livianos.

Jr. Paraiso N° 120- CAJAMARCA Teléfonos: 984 336450 / 970 909446 / 984 335834-RUC: 20529476931 correo electrónico: kisac@hotmail.es / laboratoriokaolyn@gmail.com

Ti	ritulo: Norma Técnica P	eruana (NTF	9) 399.604-	Ladrillos y B.	loques Cera	ímicos - Méi	Norma Técnica Peruana (NTP) 399.604 – Ladrillos y Bloques Cerámicos - Método de Ensayo de Resistencia a la Compresión	istencia a la Compr	esión
Nro of	Nro de Revisión.	Fecha de Revisión del	Enero	Enero, 2025		Código de Control Nro.:	ontrol Nro.:	KISAC-RP-584- 2024	
Tesis:	"INFLUENCIA DE LA	ADICCIÓN DE	LA FIBRA DE	VIDRIO EN LA	JUNTA DE M	ORTERO EN I	"INFLUENCIA DE LA ADICCIÓN DE LA FIBRA DE VIDRIO EN LA JUNTA DE MORTERO EN LA RESISTENCIA A COMPRESIÓN AXIAL DE PILAS DE ALBAÑILERÍA"	PRESIÓN AXIAL DE PII	AS DE ALBAÑILERÍA"
Ubicación:	CAJAMARCA-CAJAMARCA	tCA							
Cliente:	Deisy Maricela Ruiz Fernández	ández							
å	DESCRIPCIÓN	FECHA DE MOLDEO	FECHA DE ROTURA	CARGA MÁXIMA (KN)	CARGA MÁXIMA (Kg)	ÁREA (cm2)	RESISTENCIA A LA COMPRESIÓN (Kg/cm2)	RESISTENCIA A LA COMPRESIÓN (MPª)	OBSERVACIONES
-	15% FIBRA	5/01/2025	12/01/2025	172.64	17604	280.72	62.712	6.150	
8	15% FIBRA	5/01/2025	12/01/2025	167.23	17053	271.04	62.915	6.170	
6	15% FIBRA	5/01/2025	12/01/2025	174.36	17779	275.88	64.445	6.320	
4	15% FIBRA	5/01/2025	12/01/2025	170.37	17372	273.46	63.527	6.230	
40	15% FIBRA	5/01/2025	12/01/2025	171.80	17519	280.72	62.406	6.120	
9	15% FIBRA	5/01/2025	12/01/2025	169.82	17316	273.46	63.323	6.210	
1	DE MECCHING OF IN								

Henry Joshe Will mueva Gazda INGENIERO CIP. N. 195304

Lilian Rocio Villanueva INGENIERO CIVIL KAOLYN INGENTEROS SAC

CARORA,

ANN.

Odynosas



Consultoria, Topografia, Laboratorio de Mecánica de suelos, concreto y pavimentos, Ejecución de obras civiles, Sancamiento de terrenos, Compra venta y alquiler de equipos de topografía y equipos livianos.

Jr. Paraiso N° 120- CAJAMARCA Teléfonos: 984 336450 / 970 909446 / 984 335834 RUC: 20529476931 correo electrónico: kisac@hotmail.es / laboratorlokaolyn@gmail.com

μ	TITULO: Norma Técnica l	Peruana (NT)	9) 399.604-	Ladrillos y B	loques Ceri	ímicos - Mé	Norma Técnica Peruana (NTP) 399.604 – Ladrillos y Bloques Cerámicos - Método de Ensayo de Resistencia a la Compresión	sistencia a la Compi	esión
Aro de	Aro de Revisión:	Fechs de Revisión del	Enerc	Enero, 2025		Código de Control Nro.:	antrol Nro.:	KISAC-RP-584- 2024	
Tesis:	"INFLUENCIA DE LA	A ADICCIÓN DE	LA FIBRA DE	VIDRIO EN LA	JUNTA DE M	ORTERO EN	"INFLUENCIA DE LA ADICCIÓN DE LA FIBRA DE VIDRIO EN LA JUNTA DE MORTERO EN LA RESISTENCIA A COMPRESIÓN AXIAL DE PILAS DE ALBAÑILERÍA"	PRESIÓN AXIAL DE PII	AS DE ALBAÑILERÍA"
Ubiceción:	CAJAMARCA-CAJAMARCA	RCA							
Cilente:	Deisy Maricela Ruiz Fernández	nández							
N	DESCRIPCIÓN	РЕСНА DE МОLDEO	FECHA DE ROTURA	CARGA MÁXIMA (KN)	CARGA MÁXIMA (Kg)	ÁREA (cm2)	RESISTENCIA A LA COMPRESIÓN (Kg/cm2)	RESISTENCIA A LA COMPRESIÓN (MPa)	OBSERVACIONES
-	10% FIBRA	4/01/2025	1/02/2025	307.92	31398	273.46	114,818	11.260	
8	10% FIBRA	4/01/2025	1/02/2025	324.40	33079	285.56	115.838	11.360	
ო	10% FIBRA	4/01/2025	1/02/2025	309.56	31565	273.46	115.430	11.320	
4	10% FIBRA	4/01/2025	1/02/2025	316.98	32323	278.30	116.144	11.390	
ď	10% FIBRA	4/01/2025	1/02/2025	309.26	31535	275.88	114.308	11.210	
9	10% FIBRA	4/01/2025	1/02/2025	302.47	30842	268.62	114.818	11.260	
M.	DE SECONICA								

CIP.: Nº 195304

COLVENTO LOS

ROTARO8A



Consultoria, Topografía, Laboratorio de Mecánica de suelos, concreto y pavimentos, Ejecución de obras civiles, Saneamiento de terrenos, Compra yenta y alguiler de equipos de topografía y equipos livianos.

Jr. Paraiso N° 120- CAJAMARCA Teléfonos: 984 336450 / 970 909446 / 984 335834 RUC: 20529476931 correo electrónico: kisac@hotmail.es / laboratoriokaolyn@gmail.com

ŢĹ	TÍTULO: Norma Técnica	Peruana (NT)	9) 399.604-	Ladrillos y B	loques Cera	ímicos - Mé	Norma Técnica Peruana (NTP) 399.604 – Ladrillos y Bloques Cerámicos - Método de Ensayo de Resistencia a la Compresión	sistencia a la Compr	esión
Aro de	Nro de Revisión:	Fecha de Revisión del	Enerc	Enero, 2025		Código de Control Nro.:	antrol Nro.:	KISAC-RP-584- 2024	
Tesis:	"INFLUENCIA DE L	A ADICCIÓN DE	LA FIBRA DE	VIDRIO EN LA	JUNTA DE M	ORTERO EN	"INFLUENCIA DE LA ADICCIÓN DE LA FIBRA DE VIDRIO EN LA JUNTA DE MORTERO EN LA RESISTENCIA A COMPRESIÓN AXIAL DE PILAS DE ALBAÑILERÍA"	PRESIÓN AXIAL DE PII	AS DE ALBAÑILERÍA"
Ubicación:	CAJAMARCA-CAJAMARCA	ARCA							
Cliente:	Deisy Maricela Ruiz Fernández	rnández							
N	DESCRIPCIÓN	FECHA DE MOLDEO	FECHA DE ROTURA	CARGA MÁXIMA (KN)	CARGA MÁXIMA (Kg)	ÁREA (cm2)	RESISTENCIA A LA COMPRESIÓN (Kg/cm2)	RESISTENCIA A LA COMPRESIÓN (MPa)	OBSERVACIONES
1	10% FIBRA	5/01/2025	19/01/2025	241.74	24650	273.46	90.141	8.840	
2	10% FIBRA	5/01/2025	19/01/2025	249.58	25450	285.56	89.122	8.740	
e	10% FIBRA	5/01/2025	19/01/2025	237.64	24232	273.46	88.612	8.690	
4	10% FIBRA	5/01/2025	19/01/2025	248.80	25370	278.30	91.161	8.940	
10	10% FIBRA	5/01/2025	19/01/2025	241.19	24594	273.46	89.938	8.820	
అ	10% FIBRA	5/01/2025	19/01/2025	248.37	25321	283.14	89.428	8.770	
100	OE MECANIC.								

Hany John Villenucu Barki INGENIEROSSEBEGIALISTA Lilian Rocto Villanus va kaoli Velipi (19) mikos sac

SAROBAJ

CIP.: N. 195304



Consultoria, Topografía, Laboratorio de Mecánica de suelos, concreto y pavimentos, Ejecución de obras civiles, Saneamiento de terrenos, Compra venta y alquiler de equipos de topografía y equipos livianos.

Jr. Paraiso N° 120. CAJAMARCA Teiéfonos: 984 336450 / 970 909446 / 984 335834 RUC: 20529476931 correo electrónico: kisac@hotmail.es / laboratoriokaolyn@gmail.com

п	TÍTULO: Norma Técnica Pe	eruana (NTF	9) 399.604 -	Ladrillos y B	loques Ceri	ámicos - Mé	Norma Técnica Peruana (NTP) 399.604 – Ladrillos y Bloques Cerámicos - Método de Ensayo de Resistencia a la Compresión	sistencia a la Compr	esión	
Nro d	Nro de Revisión:	Fechs de Revisión del	Enero	Enero, 2025		Código de Control Nro.:	ontrol Nro.:	KISAC-RP-584-2024		_
Tesis:	"INFLUENCIA DE LA	ADICCIÓN DE	LA FIBRA DE	VIDRIO EN LA	JUNTA DE M	TORTERO EN 1	"INFLUENCIA DE LA ADICCIÓN DE LA FIBRA DE VIDRIO EN LA JUNTA DE MORTERO EN LA RESISTENCIA A COMPRESIÓN AXIAL DE PILAS DE ALBAÑILERÍA"	PRESIÓN AXIAL DE PII	AS DE ALBAÑILERÍA"	_
Ubicación:	CAJAMARCA-CAJAMARCA	CA								
Cilente:	Deisy Maricela Ruiz Fernández	ández								_
Š	DESCRIPCIÓN	FECHA DE MOLDEO	FECHA DE ROTURA	CARGA MÁXIMA (KN)	CARGA MÁXIMA (Kg)	ÁREA (cm2)	RESISTENCIA A LA COMPRESIÓN (Kg/cm2)	RESISTENCIA A LA COMPRESIÓN (MPa)	OBSERVACIONES	
-	10% FIBRA	5/01/2025	12/01/2025	161.11	16429	275.88	59.550	5.840		
7	10% FIBRA	5/01/2025	12/01/2025	153.47	15643	271.04	57.715	5.660		_
ы	10% FIBRA	5/01/2025	12/01/2025	160.30	16346	278.30	58.735	5.760		_
4	10% FIBRA	5/01/2025	12/01/2025	154.22	15726	271.04	58.021	5.690		_
40	10% FIBRA	5/01/2025	12/01/2025	166.15	16942	278.30	60.876	5.970		_
9	AECANIC 10% FIBRA	5/01/2025	12/01/2025	166.49	16977	283.14	59.958	5.880		
AOTAROBA,	Jano Dalla (1)							2		

Hanry Josef Will Jurus Bazda INGENIERO ESPECTALISTA

LIHAH ROCIO VIIIANUEVA COMINICANIA KAOLYN MAGENIERO SAC

ON ASEALTO



Consultoria, Topografía, Laboratorio de Mecánica de suelos, concreto y pavimentos, Ejecución de obras civiles, Saneamiento de terrenos, Compra venta y alquiler de equipos de topografía y equipos livianos.

Jr. Paraiso N° 120- CAJÁMARCA Teléfonos: 984 336450 / 970 909446 / 984 335834 RUC: 20529476931 correo electrónico: kisac@hotmail.es / laboratoriokaolyn@gmail.com

Tri	rírulo: N	lorma Técnica Pe	ruana (NTP	399.604	Ladrillos y B	loques Cer	ímicos - Mé	Norma Técnica Peruana (NTP) 399.604 – Ladrillos y Bloques Cerámicos - Método de Ensayo de Resistencia a la Compresión	istencia a la Compi	esión
Nro de	Nro de Revisión:		Fecha de Revisión del	Enero	Enero, 2025		Cádigo de Control Nro.:	ontrol Nro.:	KISAC-RP-584- 2024	
Tesis:	ű,	"INFLUENCIA DE LA ADICCIÓN DE LA FIBRA DE VIDRIO EN LA JUNT	ADICCIÓN DE	LA FIBRA DE	VIDRIO EN LA	JUNTA DE M	ORTERO EN I	A DE MORTERO EN LA RESISTENCIA A COMPRESIÓN AXIAL DE PILAS DE ALBAÑILERÍA"	PRESIÓN AXIAL DE PII	AS DE ALBAÑILERÍA"
Ubicación:		CAJAMARCA-CAJAMARCA	CA.							
Cliente:	ã	Deisy Maricela Ruiz Fernández	ndez							
ž	DES	DESCRIPCIÓN	FECHA DE MOLDEO	FECHA DE ROTURA	CARGA MÁXIMA (KN)	CARGA MÁXIMA (Kg)	ÁREA (cm2)	RESISTENCIA A LA COMPRESIÓN (Kg/cm2)	RESISTENCIA A LA COMPRESIÓN (MPa)	OBSERVACIONES
-	65	5% FIBRA	4/01/2025	1/02/2025	283.30	28889	273.46	105.641	10.360	
2	\$6	5% FIBRA	4/01/2025	1/02/2025	288.99	29468	285.56	103.194	10.120	
ო	65	5% FIBRA	4/01/2025	1/02/2025	277.84	28331	273.46	103.602	10.160	
4	16	5% FIBRA	4/01/2025	1/02/2025	285.26	29088	278.30	104.519	10.250	
'n	56	5% FIBRA	4/01/2025	1/02/2025	278.38	28387	273.46	103.805	10.180	
9		5% FIBRA	4/01/2025	1/02/2025	286.82	29247	283.14	103.296	10.130	
	50									

Steury Josue Allanueva Bazán

Litian Rocio Villanueva Caran

KAOLYN INGENIEROS SAC

INGENIER OF SPREED LISTA ING. CIVIL



Consultoria, Topografía, Laboratorio de Mecánica de suelos, concreto y pavimentos, Ejecución de obras civiles, Saneamiento de terrenos, Compra y alquiler de equipos de topografía y equipos livianos.

Jr. Paraiso N° 120- CAJAMARCA Teléfonos: 984 336450 / 970 909446 / 984 335834 RUC: 20529476931 correc electrónico: kisac@hotmall.es / laboratoriokaolyn@gmall.com

<u> </u>	TITULO: Norma Técni	ca Peruana (NT)	P) 399.604 -	Ladrillos y B	loques Cerd	ímicos - Mé	Norma Técnica Peruana (NTP) 399.604 – Ladrillos y Bloques Cerámicos - Método de Ensayo de Resistencia a la Compresión	sistencia a la Compr	esión
Alro d	Nro de Revisión:	Fechs de Revisión del	Enerc	Enero, 2025		Código de Control Nro.:	ontrol Nro.:	KISAC-RP-584-2024	
Tesis:	"INFLUENCIA D	E LA ADICCIÓN DE	(LA FIBRA DE	VIDRIO EN LA	JUNTA DE M	ORTERO EN 1	"INFLUENCIA DE LA ADICCIÓN DE LA FIBRA DE VIDRIO EN LA JUNTA DE MORTERO EN LA RESISTENCIA A COMPRESIÓN AXIAL DE PILAS DE ALBAÑILERÍA"	PRESIÓN AXIAL DE PIL	AS DE ALBAÑILERÍA"
Ubicación:	CAJAMARCA-CAJAMARCA	MARCA							
Cliente:	Delsy Maricela Ruiz Fernández	z Fernández							
å	DESCRIPCIÓN	FECHA DE MOLDEO	FECHA DE ROTURA	CARGA MÁXIMA (KN)	CARGA MÁXIMA (Kg)	ÁREA (cm2)	RESISTENCIA A LA COMPRESIÓN (Kg/cm2)	RESISTENCIA A LA COMPRESIÓN (MPa)	OBSERVACIONES
۲	5% FIBRA	5/01/2025	19/01/2025	220.08	22442	271.04	82.800	8.120	
7	5% FIBRA	5/01/2025	19/01/2025	230.16	23470	285.56	82.188	8.060	
ь	5% FIBRA	5/01/2025	19/01/2025	221.17	22553	271.04	83.208	8.160	
4	5% FIBRA	5/01/2025	19/01/2025	220.54	22488	268.62	83.717	8.210	
vo.	5% FIBRA	5/01/2025	19/01/2025	218.93	22325	273.46	81.637	8.006	
9	5% FIBRA	5/01/2025	19/01/2025	219.97	22430	273.46	82.025	8.044	
CINOTAROBA			,	0					

FRONT JOSH SHIEMER GAZA INGENIERONGS EGALISTA CIP: N° 185304

Lilian Rocio Villanueva INGENIERO CIV.: KAOL YYTINGENIEROS SAC

MAESTRANTE





Consultoria, Topografía, Laboratorio de Mecánica de suelos, concreto y pavimentos, Ejecución de obras civiles, Sancamiento de terrenos, Compra venta y alquiler de equipos de topografía y equipos livianos.

Jr. Paraiso N° 120- CAJAMARCA Teléfonos: 984 336450 / 970 909446 / 984 335834 RUC: 20529476931 correo electrónico: kisac@hotmail.es / laboratoriokaolyn@gmail.com

11	TITULO: Norma Técnica	Peruana (NT)	P) 399.604 -	Ladrillos y B	loques Cer	ámicos - Mé	Norma Técnica Peruana (NTP) 399.604 – Ladrillos y Bloques Cerámicos - Método de Ensayo de Resistencia a la Compresión	sistencia a la Compi	resión	
Mro ok	Mro de Revisión:	Fechs de Revisión del	Ener	Enero, 2025		Cádigo de Control Nro.:	ontrol Nro.:	KISAC-RP-584- 2024		
Tesis	"INFLUENCIA DE I	LA ADICCIÓN DE	E LA FIBRA DE	VIDRIO EN LA	JUNTA DE M	IORTERO EN	"INFLUENCIA DE LA ADICCIÓN DE LA FIBRA DE VIDRIO EN LA JUNTA DE MORTERO EN LA RESISTENCIA A COMPRESIÓN AXIAL DE PILAS DE ALBAÑILERÍA"	PRESIÓN AXIAL DE PII	LAS DE ALBAÑILERÍA"	
Ubicación:	CAJAMARCA-CAJAMARCA	ARCA								
Cliente:	Delsy Maricela Ruiz Fernández	ernández								T
N	DESCRIPCIÓN	FECHA DE MOLDEO	FECHA DE ROTURA	CARGA MÁXIMA (KN)	CARGA MÁXIMA (Kg)	ÁREA (cm2)	RESISTENCIA A LA COMPRESIÓN (Kg/cm2)	RESISTENCIA A LA COMPRESIÓN (MPs)	OBSERVACIONES	T
-	5% FIBRA	5/01/2025	12/01/2025	145.28	14814	271.04	54.656	5.360		
2	5% FIBRA	5/01/2025	12/01/2025	156.49	15957	285.56	55.880	5.480		1
6	5% FIBRA	5/01/2025	12/01/2025	144.74	14759	271.04	54.452	5.340		T
4	5% FIBRA	5/01/2025	12/01/2025	148.01	15093	268.62	56.185	5.510		T
10	5% FIBRA	5/01/2025	12/01/2025	149.34	15229	280.72	54.248	5.320		1
9	5% FIBRA	5/01/2025	12/01/2025	150.00	15296	278.30	54.962	5.390		T
The same of the sa	CONOTARORA	000		10	g.					

Menny Josue Pultanera Bazán INGENIJÁNGESPRATALISTA CIP. N. 195304

KAOLYE HIGHEROS SAC

Wash

SES ORADIO



Consultoria, Topografía, Laboratorio de Mecánica de suelos, concreto y pavimentos, Ejecución de obras civiles, Saneamiento de terrenos, Compra venta y alquiler de equipos de topografía y equipos livianos.

Jr. Paraiso Nº 120- CAJAMARCA Teléfonos: 984 336450 / 970 909446 / 984 335834 RUC: 20529476931 correo electrónico: kisac@ho@maii.es / laboratoriokaolyn@gmail.com

T	TÍTULO:	Norma Técnica P.	Ornana OT	200 604	I advillage v. B	Journal Com	Aminon Met	Sanda de Presenta de De			_
			Fachada	+00.222	raarmos y p	nodues cer	umicos - Me	Feetle de Ensayo de Resistencia a la Compresion	sisiencia a la Comp	resion	
Mro	Nro de Revisión:		Revisión de/	Enerc	Enero, 2025		Cédigo de Control Nro.:	ontrol Nro.:	KISAC-RP-584-2024		_
Tesis:		"INFLUENCIA DE LA ADICCIÓN DE LA FIBRA DE VIDRIO EN LA JUNT	ADICCIÓN DE	LA FIBRA DE	VIDRIO EN LA	JUNTA DE M	ORTERO EN	A DE MORTERO EN LA RESISTENCIA A COMPRESIÓN AXIAL DE PILAS DE ALBAÑILERÍA"	PRESIÓN AXIAL DE PI	LAS DE ALBAÑILERÍA"	_
Ubicación:	12	CAJAMARCA-CAJAMARCA	SCA.								_
Cliente:		Deisy Maricela Ruiz Fernández	ández								_
			FECHA DE	FECHA DE	CARGA	Ⅱ		DECICTEMENTALA	A ALCHITAGO		
ž	ā	DESCRIPCION	MOLDEO	ROTURA	MÁXIMA (KN)	MAXIMA (Kg)	ÁREA (cm2)	COMPRESIÓN (Kg/cm2)	COMPRESIÓN (MPa)	OBSERVACIONES	
-		0% FIBRA	5/01/2025	2/02/2025	256.52	26158	283.14	92.385	9.060		
7		0% FIBRA	5/01/2025	2/02/2025	260.43	26556	285.56	92.997	9.120		
m		0% FIBRA	5/01/2025	2/02/2025	245.02	24985	273.46	91.365	8.960		_
4		0% FIBRA	5/01/2025	2/02/2025	239.88	24460	268.62	91.059	8.930		$\overline{}$
ir)		0% FIBRA	5/01/2025	2/02/2025	254.67	25963	280.72	92.487	9.070		
9		0% FIBRA	5/01/2025	2/02/2025	246.57	25143	278.30	90.345	8.860		_
3001		(a)									_

LILIAN ROCIO VILLANDEVA

ACTARORA

Henry Josué Villanueva Gazán INGENIR ROPE SPREIALISTA CIP.: N° 195304

KAOLYN INCENEROS SAC

MAKSUKANTE

Odvine



Consultoria, Topografia, Laboratorio de Mecánica de suelos, concreto y pavimentos, Ejecución de obras civiles, Saneamiento de terrenos, Compra venta y alquiler de equipos de topografía y equipos livianos.

Jr. Paraiso N° 120- CAJAMARCA Teléfonos: 984 336450 / 970 909446 / 984 335834 RUC: 20529476931 correo electrónico: kisac@hotmail.es / laboratorlokaolyn@gmail.com

	TÍTULO:	Norma Técnica Pe	eruana (NTF	9) 399.604 -	Ladrillos y B	loques Cer	ámicos - Mé	Norma Técnica Peruana (NTP) 399.604 – Ladrillos y Bloques Cerámicos - Método de Ensayo de Resistencia a la Compresión	sistencia a la Comp	resión	T-
Nro	Nro de Revisión:		Fechs de Revisión del	Enero	Enero, 2025		Código de Control Nro.:	ontrol Nro.:	KISAC-RP-584- 2024		$\overline{}$
Tesis:		"INFLUENCIA DE LA	ADICCIÓN DE	LA FIBRA DE	VIDRIO EN LA	JUNTA DE M	IORTERO EN I	"INFLUENCIA DE LA ADICCIÓN DE LA FIBRA DE VIDRIO EN LA JUNTA DE MORTERO EN LA RESISTENCIA A COMPRESIÓN AXIAL DE PILAS DE ALBAÑILERÍA"	PRESIÓN AXIAL DE PI	LAS DE ALBAÑILERÍA"	Т
Ubice (von:	ë	CAJAMARCA-CAJAMARCA	CA								\top
Cliente:		Deisy Maricela Ruiz Fernández	ández								Т
N		DESCRIPCIÓN	FECHA DE MOLDEO	FECHA DE ROTURA	CARGA MÁXIMA (KN)	CARGA MÁXIMA (Kg)	ÁREA (cm2)	RESISTENCIA A LA COMPRESIÓN (Kg/cm2)	RESISTENCIA A LA COMPRESIÓN (MPa)	OBSERVACIONES	П
-		0% FIBRA	5/01/2025	19/01/2025	188.91	19264	271.04	71.073	6.970		
~		0% FIBRA	5/01/2025	19/01/2025	185.39	18904	271.04	69.747	6.840		
e		0% FIBRA	5/01/2025	19/01/2025	193.06	19687	273.46	71.991	7.060		
4		0% FIBRA	5/01/2025	19/01/2025	197.53	20142	275.88	73.011	7.160		
ı۵		0% FIBRA	5/01/2025	19/01/2025	193.06	19687	273.46	71.991	7.060		
9	S WECANICA	CAECANICO FIBRA	5/01/2025	19/01/2025	192.31	19609	278.30	70.461	6.910		
100	L	1									П
01	1	(3)									_

Henry John Highway Bazán Ing. Civil Ingenier Glespersyndensta

KAOLYN-TROMARASSAC

MAESTRANTE

Out Nos as N



Consultoria, Topografía, Laboratorio de Mecánica de suelos, concreto y pavimentos, Ejecución de obras civiles, Saneamiento de terrenos, Consultar y equipos livianos.

Jr. Paraiso N° 120- CAJAMARCA Teiéfonos: 984 336450 / 970 909446 / 984 335834 RUC: 20529476931 correo electrónico: kisac@hotmail.es / laboratoriokaolyn@gmail.com

II	TÍTULO: Norma Técnica	Peruana (NT)	9) 399.604-	Ladrillos y B.	loques Cera	ímicos - Mé	Norma Técnica Peruana (NTP) 399.604 – Ladrillos y Bloques Cerámicos - Método de Ensayo de Resistencia a la Compresión	sistencia a la Compi	esión
Nro d	Nro de Revisión:	Fechs de Revisión del	Enero	Enero, 2025		Código de Control Nro.:	antrol Nro.:	KISAC-RP-584- 2024	
Tesis:	"INFLUENCIA DE L	A ADICCIÓN DE	LA FIBRA DE	VIDRIO EN LA	JUNTA DE M	ORTERO EN I	"INFLUENCIA DE LA ADICCIÓN DE LA FIBRA DE VIDRIO EN LA JUNTA DE MORTERO EN LA RESISTENCIA A COMPRESIÓN AXIAL DE PILAS DE ALBAÑILERÍA"	PRESIÓN AXIAL DE PII	AS DE ALBAÑILERÍA"
Ubicación:	T. CAJAMARCA-CAJAMARCA	ARCA							
Cliente:	Deisy Maricela Ruiz Fernández	rnández							
ž	DESCRIPCIÓN	FECHA DE MOLDEO	FECHA DE ROTURA	CARGA MÁXIMA (KN)	CARGA MÁXIMA (Kg)	ÁREA (cm2)	RESISTENCIA A LA COMPRESIÓN (Kg/cm2)	RESISTENCIA A LA COMPRESIÓN (MPa)	OBSERVACIONES
1	0% FIBRA	5/01/2025	12/01/2025	135.07	13773	285.56	48.232	4,730	
2	0% FIBRA	5/01/2025	12/01/2025	131.73	13432	271.04	49.557	4.860	
ო	0% FIBRA	5/01/2025	12/01/2025	130.52	13309	278.30	47.824	4.690	
4	0% FIBRA	5/01/2025	12/01/2025	132.97	13559	268.62	50.475	4.950	
40	0% FIBRA	5/01/2025	12/01/2025	131.53	13413	273.46	49.048	4,810	
9	0% FIBRA	5/01/2025	12/01/2025	130.17	13273	273.46	48.538	4.760	
	Carlo								

KAOLYN INGENIEROS SAC

ROTAROBA

ON ASPAL

HOGENIERO ROBECCIONELINA BAISTA INGENIERO ROBECCIONELINA CIP. Nº 195306

ISTA SELECTION

And the state of t

RANTE



Consultoria, Topografia, Laboratorio de Mecánica de suelos, concreto y pavimentos, Ejecución de obras civiles, Sancamiento de terrenos, Compra venta y alquiler de equipos de topografía y equipos livianos.

Jr. Paraiso N° 120- CAJAMARCA Teléfonos: 984 336450 / 970 909446 / 984 335834 RUC: 20529476931 correo electrónico: kisac@hotmail.es / laboratoriokaolyn@gmail.com

					-		***************************************		
ΤĹ	TÍTULO: NTP 334.120:2016	5 – "Cemento	s. Método de	ensayo para	determina	r la resisteno	NTP 334.120:2016 – "Cementos. Método de ensayo para determinar la resistencia a la flexión de morteros de cemento hidráulico"	teros de cemento hi	dráulico"
Mro dk	Nro de Revisión:	Fecha de Revisión de/	Enero, 2025	2025		Código de Control Nro.:	introl Nro.:	KISAC-RP-584- 2024	
Tesis:	"INFLUENCIA DE LA	ADICCIÓN DE	LA FIBRA DE	VIDRIO EN LA	JUNTA DE M	ORTERO EN 1	"INFLUENCIA DE LA ADICCIÓN DE LA FIBRA DE VIDRIO EN LA JUNTA DE MORTERO EN LA RESISTENCIA A COMPRESIÓN AXIAL DE PILAS DE ALBAÑILERÍA"	PRESIÓN AXIAL DE PII	AS DE ALBAÑILERÍA"
Ubiceción:	CAJAMARCA-CAJAMARCA	tCA							
Cliente:	Deisy Maricela Ruiz Fernández	ández							
å	DESCRIPCIÓN	FECHA DE MOLDEO	FECHA DE ROTURA	CARGA MÁXIMA (KN)	CARGA MÁXIMA (Kg)	AREA (cm2)	RESISTENCIA A LA COMPRESIÓN (Kg/cm2)	RESISTENCIA A LA COMPRESIÓN (MPa)	OBSERVACIONES
-	MUESTRA 1:08	24/01/2025	25/01/2025	16.97	1730	25.00	69.2	6.8	
74	MUESTRA 1:08	24/01/2025	25/01/2025	17.18	1752	25.00	70.1	6.9	
ო	MUESTRA 1:08	24/01/2025	25/01/2025	16.93	1726	25.00	69.0	89. 89.	
4	MUESTRA 1:08	24/01/2025	25/01/2025	16.91	1724	25.00	0.69	හ	
ю	MUESTRA 1:08	24/01/2025	25/01/2025	16.97	1730	25.00	69.2	6.8	
9	MUESTRA 1:08	24/01/2025	25/01/2025	17.14	1748	25.00	68.9	6.9	
1	C. Charles								

KAOLYN INGENIEROS SAC

Houry Joshe Willamurva Bazan INGENIER PESPECIALISTA



Consultoria, Topografía, Laboratorio de Mecánica de suelos, concreto y pavimentos, Ejecución de obras civiles, Sancamiento de terrenos, Compra venta y alquiler de equipos de topografía y equipos livianos.

Jr. Paraiso N° 120- CAJAMARCA Teléfonos: 984 336450 / 970 909446 / 984 338834

RUC: 20529476931 correo electrónico: kisac@hotmail.es / laboratoriokaolyn@gmail.com

π	TÍTULO: NTP 334.120	1:2016 - "Cemen	tos. Método d	e ensayo para	ı determina	r la resisten	NTP 334.120:2016 – "Cementos. Método de ensayo para determinar la resistencia a la flexión de morteros de cemento hidráulico"	rteros de cemento h	dráulico"
Nrod	Nro de Revisión:	Fecha de Revisión del	Enen	Enero, 2025		Código de Control Nro.:	ontrol Nro.:	KISAC-RP-584-2024	
Tesis:	"INFLUENCIA	DE LA ADICCIÓN I	E LA FIBRA DE	VIDRIO EN LA	JUNTA DE M	ORTERO EN 1	"INFLUENCIA DE LA ADICCIÓN DE LA FIBRA DE VIDRIO EN LA JUNTA DE MORTERO EN LA RESISTENCIA A COMPRESIÓN AXIAL DE PILAS DE ALBAÑILERÍA"	PRESIÓN AXIAL DE PI	AS DE ALBAÑILERÍA"
Ubicación:	CAJAMARCA-CAJAMARCA	JAMARCA							
Cliente:	Deisy Maricela Ruiz Fernández	ıiz Fernández							
N	DESCRIPCIÓN	FECHA DE MOLDEO	FECHA DE ROTURA	CARGA MÁXIMA (KN)	CARGA MÁXIMA (Kg)	ÁREA (cm2)	RESISTENCIA A LA COMPRESIÓN (Kg/cm2)	RESISTENCIA A LA COMPRESIÓN (MPa)	OBSERVACIONES
٢	MUESTRA 1:06	24/01/2025	25/01/2025	21.71	2214	25.00	88.6	5.87	
7	MUESTRA 1:06	24/01/2025	25/01/2025	21.82	2225	25.00	89.0	7.80	
ь	MUESTRA 1:06	24/01/2025	25/01/2025	21.81	2224	25.00	89.0	8.7	
4	MUESTRA 1:06	24/01/2025	25/01/2025	21.63	2206	25.00	88.2	8.7	
40	MUESTRA 1:06	24/01/2025	25/01/2025	21.71	2214	25.00	88.6	8.7	
9	CANICA OF MUESTRA 1:06	24/01/2025	25/01/2025	21.50	2192	25.00	87.7	86	
DIV	100								

LIllan Rocio Villanuevy INGENIERO CIVIL KAOLYN INCENIEROS SAC

Houry Josue Philimuru Bazda INGENIERQES PECIALISTA



Consultoria, Topografía, Laboratorio de Mecánica de suelos, concreto y pavimentos, Ejecución de obras civiles, Saneamiento de terrenos, Compra venta y alquiler de equipos de topografía y equipos livianos.

Jr. Peraiso N° 120- CAJAMARCA Teléfonos: 984 336450 / 970 909446 / 984 335834 RUC: 20529476931 correo electrónico: kisac@hotmail.es / laboratoriokaolyn@gmail.com

idráulico"		LAS DE ALBAÑILERÍA"			OBSERVACIONES							
rteros de cemento h	KISAC-RP-584-2024	PRESIÓN AXIAL DE PI			RESISTENCIA A LA COMPRESIÓN (MPa)	10.6	10.5	10.6	10.6	10.5	10.5	
NTP 334.120;2016 — "Cementos. Método de ensayo para determinar la resistencia a la flexión de morteros de cemento hidráulico"	ontrol Nro.:	"INFLUENCIA DE LA ADICCIÓN DE LA FIBRA DE VIDRIO EN LA JUNTA DE MORTERO EN LA RESISTENCIA A COMPRESIÓN AXIAL DE PILAS DE ALBAÑILERÍA"			RESISTENCIA A LA COMPRESIÓN (Kg/cm2)	107.6	107.2	107.9	108.2	107.3	108.8	
r la resisten	Código de Control Nro.:	ORTERO EN I			ÁREA (cm2)	25.00	25.00	25.00	25.00	25.00	25.00	
ı determina		JUNTA DE M			CARGA MÁXIMA (Kg)	2691	2679	2698	2704	2682	2671	
ensayo para	2025	VIDRIO EN LA			CARGA MÁXIMA (KN)	26.39	26.27	26.46	26.52	26.30	26.19	
s. Método de	Enero, 2025	LA FIBRA DE V			FECHA DE ROTURA	25/01/2025	25/01/2025	25/01/2025	25/01/2025	25/01/2025	25/01/2025	
- "Cemento	Fecha de Revisión de/	ADICCIÓN DE	N.	ndez	FECHA DE MOLDEO	24/01/2025	24/01/2025	24/01/2025	24/01/2025	24/01/2025	24/01/2025	
NTP 334.120:2016		"INFLUENCIA DE LA	CAJAMARCA-CAJAMARCA	Delsy Maricela Ruiz Fernández	DESCRIPCIÓN	MUESTRA 1:05	63					
TITULO:	Nro de Revisión:		ción:	أنف								A SECANIC.
	8	Tesis:	Ubicación:	Cllente:	2	1	2	m	4	6	9	

THIAN ROCIO VIII SHUST I

AOTARO84

Henry Josus Villanueva Bazán INGENIERO EBRECCHALISTA CIP.: Nº 1.95304



Consultoria, Topografia, Laboratorio de Mecánica de suelos, concreto y pavimentos, Ejecución de obras civiles, Sancamiento de terrenos, Compra venta y alquiler de equipos de topografía y equipos livianos.

Jr. Paraiso N° 120- CAJAMARCA Teléfonos: 984 336450 / 970 909446 / 984 335834

RUC: 20529476931 correo electrónico: kisac@hotmail.es / laboratoriokaolyn@gmail.com

					The state of the s	The second name of the second				
11	TITULO:	NTP 334.120:2016	- "Cemento	s. Método d	e ensayo parı	ı determina	r la resisten	NTP 334.120;2016 — "Cementos. Método de ensayo para determinar la resistencia a la flexión de morteros de cemento hidráulico"	rteros de cemento hi	dráulico"
Mrod	Nro de Revisión:		Fecha de Revisión de/	Enerc	Enero, 2025		Cédigo de Control Nro.:	ontrol Nro.:	KISAC-RP-584- 2024	
7esis:		"INFLUENCIA DE LA	ADICCIÓN DE	LA FIBRA DE	VIDRIO EN LA	JUNTA DE M	ORTERO EN	"INFLUENCIA DE LA ADICCIÓN DE LA FIBRA DE VIDRIO EN LA JUNTA DE MORTERO EN LA RESISTENCIA A COMPRESIÓN AXIAL DE PILAS DE ALBAÑILERÍA"	PRESIÓN AXIAL DE PII	AS DE ALBAÑILERÍA"
Ubiceción:		CAJAMARCA-CAJAMARCA	CA							
Cijente:	'~	Deisy Maricela Ruiz Fernández	indez							
ž	DE	DESCRIPCIÓN	FECHA DE MOLDEO	FECHA DE ROTURA	CARGA MÁXIMA (KN)	CARGA MÁXIMA (Kg)	ÁREA (cm2)	RESISTENCIA A LA COMPRESIÓN (Kg/cm2)	RESISTENCIA A LA COMPRESIÓN (MPa)	OBSERVACIONES
-	W	MUESTRA 1:04	24/01/2025	25/01/2025	31.43	3205	25.00	128.2	12.6	
8	W	MUESTRA 1:04	24/01/2025	25/01/2025	31.52	3215	25.00	128.6	12.6	
ო	W	MUESTRA 1:04	24/01/2025	25/01/2025	31.64	3226	25.00	129.0	12.7	
4	W	MUESTRA 1:04	24/01/2025	25/01/2025	31.91	3254	25.00	130.2	12.8	
40	M	MUESTRA 1:04	24/01/2025	25/01/2025	31.52	3214	25.00	128.6	12.6	
SEC.	f.	MUESTRA 1:04	24/01/2025	25/01/2025	30.78	3139	25.00	125.6	12.3	
	SLOS. CONCRE	"Lango			0					

muera Bazán INGENIERO FSPECIALISTA Honry posue will Lilian Rocio Villanueva 2.....)
NGENIERO CIVII
KAOIONENI INGRENOS SAC



Consultoria, Topografía, Laboratorio de Mecánica de suelos, concreto y pavimentos, Ejecución de obras civiles, Saneamiento de terrenos, Compra venta y alquiler de equipos de topografía y equipos livianos.

Jr. Paraiso N° 120- CAJAMARCA Teléfonos: 984 336450 / 970 909446 / 984 335834 RUC: 20529476931 correo electrónico: kisac@hotmail.es / laboratoriokaolyn@gmail.com

ΤŢ	TÍTULO: NTP 334.120:20)	16 – "Cement	os. Método d	e ensayo para	ı determina	r la resisten	NTP 334.120:2016 – "Cementos. Método de ensayo para determinar la resistencia a la flexión de morteros de cemento hidráulico"	rteros de cemento h	dráulico"
Nro ok	Nro de Revisión:	Fecha de Revisión del	Energ	Enero, 2025		Código de Control Nro.:	antrol Nro.:	KISAC-RP-584- 2024	
Tesis.	"INFLUENCIA DE L	A ADICCIÓN DE	LA FIBRA DE	VIDRIO EN LA	JUNTA DE M	ORTERO EN 1	"INFLUENCIA DE LA ADICCIÓN DE LA FIBRA DE VIDRIO EN LA JUNTA DE MORTERO EN LA RESISTENCIA A COMPRESIÓN AXIAL DE PILAS DE ALBAÑILERÍA"	PRESIÓN AXIAL DE PI	AS DE ALBAÑILERÍA".
Ubicación:	CAJAMARCA-CAJAMARCA	ARCA							
Cliente:	Deisy Maricela Ruiz Fernández	rnández							
å	DESCRIPCIÓN	FECHA DE MOLDEO	FECHA DE ROTURA	CARGA MÁXIMA (KN)	CARGA MÁXIMA (Kg)	ÁREA (cm2)	RESISTENCIA A LA COMPRESIÓN (Kg/cm2)	RESISTENCIA A LA COMPRESIÓN (MPa)	OBSERVACIONES
+	MUESTRA 1:03	24/01/2025	25/01/2025	37.31	3804	25.00	152.2	14.9	
8	MUESTRA 1:03	24/01/2025	25/01/2025	37.11	3784	25.00	151.4	14.8	
ო	MUESTRA 1:03	24/01/2025	25/01/2025	37.21	3794	25.00	151.8	14.9	
4	MUESTRA 1:03	24/01/2025	25/01/2025	37.40	3814	25.00	152.6	15.0	
2	MUESTRA 1:03	24/01/2025	25/01/2025	36.77	3749	25.00	150.0	14.7	
9	MUESTRA 1.03	24/01/2025	25/01/2025	38.10	3885	25.00	155.4	15.2	
100									

HENDY JOSUE PHIERIEUM GAZAN ING ING ING CHIERIEUM GAZAN INGENIER CHERECES SONTA

Lijan Rocio Villanueva Colora

KAOLYN INGENIEROS SAC

TASPALTO

SKESTRANTE

Ogynody



Consultoria, Topografía, Laboratorio de Mecánica de suelos, concreto y pavimentos, Ejecución de obras civiles, Saneamiento de terrenos, Compra y alquiler de equipos de topografía y equipos livianos.

Jr. Paraiso Nº 120- CAJAMARCA Teléfonos: 984 336450 / 970 909446 / 984 335834 RUC: 20529476931 correo electrónico: kisac@hotmail.es / laboratoriokaolyn@gmail.com

11	TÍTULO: Norma Técnica	Peruana (NTI	9 399.604 -	Ladrillos y B.	loques Cera	ímicos - Mé	Norma Técnica Peruana (NTP) 399.604 – Ladrillos y Bloques Cerámicos - Método de Ensayo de Resistencia a la Compresión	sistencia a la Comps	esión
Mrod	Nra de Revisión:	Fecha de Revisión del	Enero	Enero, 2025		Código de Control Nro.:	ontrol Nro.:	KISAC-RP-584- 2024	
Tesis:	"INFLUENCIA DE L	A ADICCIÓN DE	LA FIBRA DE	VIDRIO EN LA	JUNTA DE M	ORTERO EN I	"INFLUENCIA DE LA ADICCIÓN DE LA FIBRA DE VIDRIO EN LA JUNTA DE MORTERO EN LA RESISTENCIA A COMPRESIÓN AXIAL DE PILAS DE ALBAÑILERÍA"	PRESIÓN AXIAL DE PII	AS DE ALBAÑILERÍA"
Ubicación:	CAJAMARCA-CAJAMARCA	RCA							
Cliente:	Deisy Maricela Ruiz Fernández	nández							
Ň	DESCRIPCIÓN	FECHA DE MOLDEO	FECHA DE ROTURA	CARGA MÁXIMA (KN)	CARGA MÁXIMA (Kg)	ÁREA (cm2)	RESISTENCIA A LA COMPRESIÓN (Kg/cm2)	RESISTENCIA A LA COMPRESIÓN (MP3)	OBSERVACIONES
-	15% FIBRA	6/01/2025	3/02/2025	295.84	30167	285.56	105.641	10.360	
7	15% FIBRA	6/01/2025	3/02/2025	281.34	28688	271.04	105.845	10.380	
m	15% FIBRA	6/01/2025	3/02/2025	288.02	29369	275.88	106.457	10.440	
4	15% FIBRA	6/01/2025	3/02/2025	284.95	29056	273.46	106.253	10.420	
45	15% FIBRA	6/01/2025	3/02/2025	292.23	29799	280.72	108.151	10.410	
9	CANICADE 15% FIBRA	6/01/2025	3/02/2025	284.12	28972	273.46	105.947	10.390	
70									

MAEST

Skindy Josue Hill With Bazdin INGENIERONBPROMALISTA CIP. N. 195304

KAOETA INGENIEROS SAC

WENNEND ROCIO VILLANDENZ SOLONI

MAESTRANTE

OODS



Consultoria, Topografia, Laboratorio de Mecánica de suelos, concreto y pavimentos, Ejecución de obras civiles, Saneamiento de terrenos, Consulta y alquiler de equipos de topografía y equipos livianos.

Jr. Paraiso N° 120. CAJAMARCA Teléfonos: 984 336450 / 970 909446 / 984 335834 RUC: 20529476931 correo electrónico: kisac@hotmail.es / laboratoriokaolyn@gmail.com

\vec{n}	TITULO: Norma Técnica Peruana (NTP) 399,604 - Ladrillos y Bloques	Peruana (NT)	P) 399.604 -	Ladrillos y B.		ímicos - Méi	Cerámicos - Método de Ensayo de Resistencia a la Compresión	sistencia a la Comp.	resión
Nro d	Nro de Revisión:	Fechs de Revisión del	Enero	Enero, 2025		Código de Control Nro.:	antrol Nro.:	KISAC-RP-584-2024	
Tesis:	"INFLUENCIA DE LA ADICCIÓN DE LA FIBRA DE VIDRIO EN LA JUNTA	A ADICCIÓN DI	ELA FIBRA DE	VIDRIO EN LA	JUNTA DE M	ORTERO EN I	DE MORTERO EN LA RESISTENCIA A COMPRESIÓN AXIAL DE PILAS DE ALBAÑILERÍA"	PRESIÓN AXIAL DE PI	LAS DE ALBAÑILERÍA"
Ubicación:	: CAJAMARCA-CAJAMARCA	RCA							
Cliente:	Deisy Maricela Ruiz Fernández	nández							
å	DESCRIPCIÓN	FECHA DE MOLDEO	FECHA DE ROTURA	CARGA MÁXIMA (KN)	CARGA MÁXIMA (Kg)	ÁREA (cm2)	RESISTENCIA A LA COMPRESIÓN (Kg/cm2)	RESISTENCIA A LA COMPRESIÓN (MPa)	OBSERVACIONES
1	15% FIBRA	6/01/2025	20/01/2025	236.37	24102	280.72	85.859	8.420	
~	15% FIBRA	6/01/2025	20/01/2025	229.30	23382	271.04	86.267	8.460	
e	15% FIBRA	6/01/2025	20/01/2025	235.33	23996	275.88	86.980	8.530	
4	15% FIBRA	6/01/2025	20/01/2025	232.71	23730	273.46	86.776	8.510	
S.	15% FIBRA	6/01/2025	20/01/2025	240.02	24474	280.72	87.184	8.550	
9	SECANICA ON FIBRA	6/01/2025	20/01/2025	233.26	23786	273.46	86.980	8.530	
10/2							35		

INGENIERO ESPECIALISTE CIP.: Nº 195304

LITIAN RACIO VIII ANDERI CALANA CARANA NINGENIERO CIVIL KAOLYN INGENIEROS SAC



Consultoria, Topografia, Laboratorio de Mecánica de suelos, concreto y pavimentos, Ejecución de obras civiles, Sansamiento de terrenos, Consultoria y alquiler de equipos de topografía y equipos livianos.

Jr. Paraiso N° 120. CAJAMARCA Teléfonos: 984 336450 / 970 909446 / 984 335834 RUC: 20529476931 correo electrónico: kisac@hotmail.es / laboratoriokaolyn@gmail.com

TT.	TÍTULO: Norma Técnica F	Peruana (NT)	9) 399.604-	Ladrillos y B	loques Cert	ímicos - Mé	Norma Técnica Peruana (NTP) 399.604 – Ladrillos y Bloques Cerámicos - Método de Ensayo de Resistencia a la Compresión	sistencia a la Compi	esión	
Mro of	Nro de Revisión:	Featha de Revisión del	Enerc	Enero, 2025		Código de Control Nro.:	ontrol Nro.:	KISAC-RP-584- 2024		
Tesis:	"INFLUENCIA DE LA	A ADICCIÓN DE	LA FIBRA DE	VIDRIO EN LA	JUNTA DE M	ORTERO EN I	"INFLUENCIA DE LA ADICCIÓN DE LA FIBRA DE VIDRIO EN LA JUNTA DE MORTERO EN LA RESISTENCIA A COMPRESIÓN AXIAL DE PILAS DE ALBAÑILERÍA"	PRESIÓN AXIAL DE PII	AS DE ALBAÑILERÍA"	
Ubicación:	CAJAMARCA-CAJAMARCA	RCA								_
Cliente:	Deisy Maricela Ruiz Fernández	nández								_
å	DESCRIPCIÓN	FECHA DE MOLDEO	FECHA DE ROTURA	CARGA MÁXIMA (KN)	CARGA MÁXIMA (Kg)	ÁREA (cm2)	RESISTENCIA A LA COMPRESIÓN (Kg/cm2)	RESISTENCIA A LA COMPRESIÓN (MPa)	OBSERVACIONES	
-	15% FIBRA	6/01/2025	13/01/2025	153.55	15658	280.72	55.778	5.470		_
2	15% F/BRA	6/01/2025	13/01/2025	148.80	15173	271.04	55.982	5.490	St.	
6	15% FIBRA	6/01/2025	13/01/2025	152.01	15500	275.88	56.185	5.510		
4	15% FIBRA	6/01/2025	13/01/2025	151.22	15420	273.46	56.389	5.530		
5	15% FIBRA	6/01/2025	13/01/2025	153.27	15629	280.72	55,676	5.460		
9	15% FIBRA	6/01/2025	13/01/2025	151.50	15448	273.46	56.491	5.540		
01801A8084	Sulfias Cov.	0		00						

Elifan Rocio Villanueva

Menuty Josue Willenmen Gazán INGENIERO PSPHONALISTA CIP. Nº 195304

ASESBRADO



Consultoria, Topografía, Laboratorio de Mecánica de suelos, concreto y pavimentos, Ejecución de obras civiles, Saneamiento de terrenos, Compra venta y alquiler de equipos de topografía y equipos livianos.

Jr. Paraiso N° 120- CAJAMARCA Teléfonos: 984 336450 / 970 909446 / 984 335634 RUC: 20529476931 correc electrónico: kisac@hotmail.es / laboratoriokaolyn@gmail.com

TI.	rítulo: Norma Técnica Pe	ruana (NTP) 399.604-	Ladrillos y B.	loques Cerá	micos - Méi	Norma Técnica Peruana (NTP) 399,604 – Ladrillos y Bloques Cerámicos - Método de Ensayo de Resistencia a la Compresión	istencia a la Compi	esión
Arro de	Nro de Revisión:	Fecha de Revisión del	Enero,	Enero, 2025		Código de Control Nro.:	antrol Nro.:	KISAC-RP-584- 2024	
7esis:	"INFLUENCIA DE LA	ADICCIÓN DE	LA FIBRA DE	VIDRIO EN LA	JUNTA DE M	ORTERO EN I	"INFLUENCIA DE LA ADICCIÓN DE LA FIBRA DE VIDRIO EN LA JUNTA DE MORTERO EN LA RESISTENCIA A COMPRESIÓN AXIAL DE PILAS DE ALBAÑILERÍA"	RESIÓN AXIAL DE PII	AS DE ALBAÑILERÍA"
Ubicación:	CAJAMARCA-CAJAMARCA	CA							
Cliente:	Deisy Maricela Ruiz Fernández	ández							
*	DESCRIPCIÓN	FECHA DE MOLDEO	FECHA DE ROTURA	CARGA MÁXIMA (KN)	CARGA MÁXIMA (Kg)	ÁREA (cm2)	RESISTENCIA A LA COMPRESIÓN (Kg/cm2)	RESISTENCIA A LA COMPRESIÓN (MPa)	OBSERVACIONES
-	10% FIBRA	6/01/2025	3/02/2025	275.10	28052	273.46	102.582	10.060	
7	10% FIBRA	6/01/2025	3/02/2025	290.13	29584	285.56	103.602	10.160	
e	10% FIBRA	6/01/2025	3/02/2025	275.92	28136	273.46	102.888	10.090	
4	10% FIBRA	6/01/2025	3/02/2025	281.64	28719	278.30	103.194	10.120	
10	10% FIBRA	6/01/2025	3/02/2025	278.91	28441	275.88	103.092	10.110	
9	SCANICA 10% FIBRA	6/01/2025	3/02/2025	270.23	27556	268.62	102.582	10.060	
18	250								

KANDAGENIEGEN STATE INGENIERO BINES CIOLISTA
CIP. 118722
CIP. N. 195304

MESTRATTE

ASTROGRADIO



Consultoria, Topografia, Laboratorio de Mecánica de suelos, concreto y pavimentos, Ejecución de obras civiles, Saneamiento de terrenos, Consulta y alquiler de equipos de topografía y equipos livianos.

Jr. Paraiso N° 120- CAJAMARCA Teléfonos: 984 336450 / 970 909446 / 984 335834 RUC: 20529476931 correo electrónico: kisac@hotmail.es / laboratoriokaolyn@gmail.com

ΤĹ	título: Norma Técnica P	eruana (NTF) 399.604-	Ladrillos y B.	loques Cerá	micos - Méi	Norma Técnica Peruana (NTP) 399.604 – Ladrillos y Bloques Cerámicos - Método de Ensayo de Resistencia a la Compresión	istencia a la Compr	esión
Nro d	Nro de Revisión:	Fecha de Revisión del	Enero	Enero, 2025		Código de Control Nro.:	antrol Nro.:	KISAC-RP-584- 2024	
Tesis:	"INFLUENCIA DE LA	ADICCIÓN DE	LA FIBRA DE	VIDRIO EN LA	JUNTA DE M	ORTERO EN I	"INFLUENCIA DE LA ADICCIÓN DE LA FIBRA DE VIDRIO EN LA JUNTA DE MORTERO EN LA RESISTENCIA A COMPRESIÓN AXIAL DE PILAS DE ALBAÑILERÍA"	PRESIÓN AXIAL DE PII	AS DE ALBAÑILERÍA"
Ubicación:	CAJAMARCA-CAJAMARCA	RCA							
Cliente:	Deisy Maricela Ruiz Fernández	nández							
å	DESCRIPCIÓN	FECHA DE MOLDEO	FECHA DE ROTURA	CARGA MÁXIMA (KN)	CARGA MÁXIMA (Kg)	ÁREA (cm2)	RESISTENCIA A LA COMPRESIÓN (Kg/cm2)	RESISTENCIA A LA COMPRESIÓN (MPa)	OBSERVACIONES
-	10% FIBRA	6/01/2025	20/01/2025	211.66	21583	273.46	78.925	7.740	
2	10% F/BRA	6/01/2025	20/01/2025	223.88	22829	285.56	79.944	7.840	
ო	10% FIBRA	6/01/2025	20/01/2025	210.84	21499	273.46	78.619	7.710	
4	10% FIBRA	6/01/2025	20/01/2025	219.30	22362	278.30	80.352	7.880	
чo	10% FIBRA	6/01/2025	20/01/2025	213.85	21806	273.46	79.741	7.820	
9	10% FIBRA	6/01/2025	20/01/2025	221.13	22549	283.14	79.639	7.810	
100	(C) (C)								

Menny Josef Philippens Gazen INGENTARQ BERECIALISTA CIP: N° 195304

Lilian Phicio Villanueva E.....
INGENIERO CIVIL
CIP. 115722
KAOLYN INGENIEROS SAC

DULL MAKSTRANTE





Consultoria, Topografía, Laboratorio de Mecánica de suelos, concreto y pavimentos, Ejecución de obras civiles, Sancamiento de terrenos, Consultar venta y signilar de equipos de topografía y equipos livianos.

Jr. Paraiso N° 120- CAJAMARCA Teléfonos: 984 336450 / 970 909446 / 984 335834 RUC: 20529476931 correo electrônico: kisac@hotmail.es / laboratoriokaolyn@gmail.egm

T	rfruzo:	Norma Técnica Pe	ruana (NTP	399.604-	Ladrillos v B	oaues Cerá	micos - Mét	Norma Técnica Peruana (NTP) 399,604 – Ladrillos y Bloaues Cerámicos - Método de Ensavo de Resistencia a la Compresión	istencia a la Compr	esión
Mro de	Nro de Revisión:		Fechs de	Enero, 2025	2025		Código de Control Nro.:	antrol Nro.:	KISAC-RP-584-2024	
Tesis:		"INFLUENCIA DE LA	ADICCIÓN DE	LA FIBRA DE	VIDRIO EN LA	JUNTA DE M	ORTERO EN I	"INFLUENCIA DE LA ADICCIÓN DE LA FIBRA DE VIDRIO EN LA JUNTA DE MORTERO EN LA RESISTENCIA A COMPRESIÓN AXIAL DE PILAS DE ALBAÑILERÍA"	RESIÓN AXIAL DE PIL	AS DE ALBAÑILERÍA"
Ubicación:	·	CAJAMARCA-CAJAMARCA	Y.							
Cliente:		Deisy Maricela Ruiz Fernández	indez							
ě	ă	DESCRIPCIÓN	FECHA DE MOLDEO	FECHA DE ROTURA	CARGA MÁXIMA (KN)	CARGA MÁXIMA (Kg)	ÁREA (cm2)	RESISTENCIA A LA COMPRESIÓN (Kg/cm2)	RESISTENCIA A LA COMPRESIÓN (MPa)	OBSERVACIONES
1		10% F/BRA	6/01/2025	13/01/2025	136.84	13953	275.88	50.577	4.960	
~		10% FIBRA	6/01/2025	13/01/2025	134.71	13736	271.04	50.679	4.970	
m		10% FIBRA	6/01/2025	13/01/2025	140.82	14359	278.30	51.597	5.060	
4		10% FIBRA	6/01/2025	13/01/2025	135.79	13847	271.04	51.087	5.010	
.10		10% FIBRA	6/01/2025	13/01/2025	139.71	14246	278.30	51.189	5.020	
6.00 C	JANCAS	10% FIBRA	6/01/2025	13/01/2025	141.00	14378	283.14	50.781	4.980	
To the second	100									

Liliap Rocio Villanueva Circia INGENIERO CIVII KAOLYÓ RNGERPEROS SAC

OLINSKA K

Henry Josue Williamera Bazan INGENTER PESSALISTA



Consultoria, Topografía, Laboratorio de Mecánica de suelos, concreto y pavimentos, Ejecución de obras civiles, Saneamiento de terrenos, Compra venta y alquiler de equipos de topografía y equipos livianos.

Jr. Paraiso N° 120. CAJAMARCA Teléfonos: 984 336450 / 970 909446 / 984 335834 RUC: 20529476931 correo electrónico: kisac@hotmail.es / laboratoriokaolyn@gmail.com

π	TÍTULO: Norn	na Técnica Pe	ruana (NTP)	399.604-	Ladrillos y B.	loques Cera	ímicos - Mé	Norma Técnica Peruana (NTP) 399,604 – Ladrillos y Bloques Cerámicos - Método de Ensayo de Resistencia a la Compresión	istencia a la Compr	esión
Nro of	Nro de Revisión:		Fecha de Revisión del	Enero,	Enero, 2025		Código de Control Nro.:	antrol Nro.:	KISAC-RP-584- 2024	
Tesis:	"INFL	UENCIA DE LA	ADICCIÓN DE	LA FIBRA DE	VIDRIO EN LA	JUNTA DE M	ORTERO EN I	"INFLUENCIA DE LA ADICCIÓN DE LA FIBRA DE VIDRIO EN LA JUNTA DE MORTERO EN LA RESISTENCIA A COMPRESIÓN AXIAL DE PILAS DE ALBAÑILERÍA"	PRESIÓN AXIAL DE PII	AS DE ALBAÑILERÍA"
Ubicación:		CAJAMARCA-CAJAMARCA	CA.							
Clente:	Deisy N	Deisy Maricela Ruiz Fernández	indez							
ž	DESCRIPCIÓN	ción	FECHA DE MOLDEO	FECHA DE ROTURA	CARGA MÁXIMA (KN)	CARGA MÁXIMA (Kg)	ÁREA (cm2)	RESISTENCIA A LA COMPRESIÓN (Kg/cm2)	RESISTENCIA A LA COMPRESIÓN (MPa)	OBSERVACIONES
-	5% FIBRA	зка	6/01/2025	3/02/2025	245.02	24985	273.46	91.365	8.960	
64	5% FIBRA	зка	6/01/2025	3/02/2025	256.72	26178	285.56	91.671	8.990	
n	5% FIBRA	BRA	6/01/2025	3/02/2025	246.66	25152	273.46	91.977	9.020	
4	5% FIBRA	BRA	6/01/2025	3/02/2025	250.75	25569	278.30	91.875	9.010	
10	5% FIBRA	BRA	6/01/2025	3/02/2025	248.03	25291	273.46	92.487	9.070	
S ECA	MICADS 5% FIBRA	BRA	6/01/2025	3/02/2025	253.47	25840	283.14	91.263	8.950	

Henry Josh Vill Chara Bazán Ingenifire (SPRCIALISTA CIP.: Nº 19530¢

Man Rocio Villanueva Barani INGENIERO CIVIL KAOL PN INGENHEROS SAC



Consultoria, Topografia, Laboratorio de Mecánica de suelos, concreto y pavimentos, Ejecución de obras civiles, Saneamiento de terrenos, Compra venta y alquiler de equipos de topografía y equipos livianos.

Jr. Paraiso N° 120. CAJAMARCA Teléfonos: 984 336450 / 970 909446 / 984 335834 RUC: 20529475931 correo electrónico: kisac@hotmail.es / laboratoriokaolyn@gmail.com

Τİ	TÍTULO:	Norma Técnica Pe	ruana (NTP) 399.604-1	Ladrillos y Bl	loques Cerá	imicos - Mét	Norma Técnica Peruana (NTP) 399.604 – Ladrillos y Bloques Cerámicos - Método de Ensayo de Resistencia a la Compresión	istencia a la Compi	resión	
Mro d	Nro de Revisión:		Fecha de Revisión de/	Enero, 2025	2025		Código de Control Nro.:	antrol Nro.:	KISAC-RP-584-2024		
7esis:	3	"INFLUENCIA DE LA ADICCIÓN DE LA FIBRA DE VIDRIO EN LA JUNT	ADICCIÓN DE	LA FIBRA DE	VIDRIO EN LA	JUNTA DE M	ORTERO EN I	A DE MORTERO EN LA RESISTENCIA A COMPRESIÓN AXIAL DE PILAS DE ALBAÑILERÍA"	PRESIÓN AXIAL DE PII	LAS DE ALBAÑILERÍA"	
Ubicación:		CAJAMARCA-CAJAMARCA	CA								
Cliente:	1	Deisy Maricela Ruiz Fernández	indez								
ž) J	DESCRIPCIÓN	FECHA DE MOLDEO	FECHA DE ROTURA	CARGA MÁXIMA (KN)	CARGA MÁXIMA (Kg)	ÁREA (cm2)	RESISTENCIA A LA COMPRESIÓN (Kg/cm2)	RESISTENCIA A LA COMPRESIÓN (MPa)	OBSERVACIONES	T
1		5% FIBRA	6/01/2025	20/01/2025	193.79	19761	271.04	72.909	7.150		
24		5% FIBRA	6/01/2025	20/01/2025	206.17	21024	285.56	73.622	7.220		
n		5% FIBRA	6/01/2025	20/01/2025	194.88	19872	271.04	73.316	7.190		
4		5% FIBRA	6/01/2025	20/01/2025	192.33	19612	268.62	73.011	7.160		
VO.		5% FIBRA	6/01/2025	20/01/2025	197.16	20105	273.46	73.520	7.210		
	VICE DE	5% FIBRA	6/01/2025	20/01/2025	198.81	20272	273.46	74.132	7.270		
	1001										т

KADIDYN JNGENIEROS SAC

INGENIERO ESPECIALISTA

Henry Johne Willmura Bazan



Consultoria, Topografia, Laboratorio de Mecánica de suelos, concreto y pavimentos, Ejecución de obras civiles, Saneamiento de terrenos, Consultoria y alquiler de equipos de topografía y equipos livianos.

Jr. Paraiso N° 120- CAJAMARCA Teléfonos: 984 336450 / 970 909446 / 984 335834 RUC: 20529476931 correc electrônico: kisac@hotmail.es / laboratorlokaolyn@gmail.com

11	rfrulo:	Norma Técnica Pe	ruana (NTP	399.604	Ladrillos y B.	loques Cerd	imicos - Méi	Norma Técnica Peruana (NTP) 399.604 – Ladrillos y Bloques Cerámicos - Método de Ensayo de Resistencia a la Compresión	istencia a la Compi	esión
Mrod	Nro de Revisión:		Fecha de Revisión de/	Enero	Enero, 2025		Código de Control Nro.:	introl Nro.:	KISAC-RP-584- 2024	
Tesis:		"INFLUENCIA DE LA.	ADICCIÓN DE	LA FIBRA DE	VIDRIO EN LA	JUNTA DE M	ORTERO EN I	"INFLUENCIA DE LA ADICCIÓN DE LA FIBRA DE VIDRIO EN LA JUNTA DE MORTERO EN LA RESISTENCIA A COMPRESIÓN AXIAL DE PILAS DE ALBAÑILERÍA"	RESIÓN AXIAL DE PII	AS DE ALBAÑILERÍA"
Ubicación:	-	CAJAMARCA-CAJAMARCA	CA							
Cliente:		Deisy Maricela Ruiz Fernández	indez							
ž	a .	DESCRIPCIÓN	FECHA DE MOLDEO	FECHA DE ROTURA	CARGA MÁXIMA (KN)	CARGA MÁXIMA (Kg)	ÁREA (cm2)	RESISTENCIA A LA COMPRESIÓN (Kg/cm2)	RESISTENCIA A LA COMPRESIÓN (MPa)	OBSERVACIONES
-		5% FIBRA	6/01/2025	13/01/2025	124.14	12658	271.04	46.702	4.580	
01		5% FIBRA	6/01/2025	13/01/2025	131.93	13453	285.56	47.110	4.620	
en		5% FIBRA	6/01/2025	13/01/2025	122.78	12520	271.04	46.192	4.530	
4		5% FIBRA	6/01/2025	13/01/2025	125.18	12764	268.62	47.518	4.660	
40		5% FIBRA	6/01/2025	13/01/2025	129.69	13225	280.72	47.110	4.620	
9	S CAMICA	5% FIBRA	6/01/2025	13/01/2025	127.74	13026	278.30	46.804	4.590	
1	100									

CILIAN ROCIO VILLANUEVA B...,

MOENIE WAS SEPECALISTY

ASESOB



Consultoria, Topografía, Laboratorio de Mecánica de suelos, concreto y pavimentos, Ejecución de obras civiles, Saneamiento de terrenos, Compra venta y alquiler de equipos de topografía y equipos livianos.

Jr. Paraiso N° 120- CAJAMARCA Teléfonos: 984 336450 / 970 909446 / 984 333834 RUC: 20529476931 correo electrónico: kisac@hotmail.es / laboratoriokaolyn@gmail.com

ΤĹ	TÍTULO: Norma Técnica P	Peruana (NT)	P) 399.604-	Ladrillos y B.	loques Cert	ímicos - Méi	Norma Técnica Peruana (NTP) 399.604 – Ladrillos y Bloques Cerámicos - Método de Ensayo de Resistencia a la Compresión	sistencia a la Comps	esión
Nro de	Nno de Revisión:	Fecha de Revisión del	Enero	Enero, 2025		Código de Control Nro.:	antrol Nro.:	KISAC-RP-584-2024	
Tesis:	"INFLUENCIA DE LA	A ADICCIÓN DE	E LA FIBRA DE	VIDRIO EN LA	JUNTA DE M	ORTERO EN 1	"INFLUENCIA DE LA ADICCIÓN DE LA FIBRA DE VIDRIO EN LA JUNTA DE MORTERO EN LA RESISTENCIA A COMPRESIÓN AXIAL DE PILAS DE ALBAÑILERÍA"	PRESIÓN AXIAL DE PII	.AS DE ALBAÑILERÍA"
Ubicación:	CAJAMARCA-CAJAMARCA	RCA							
Cijente:	Deisy Maricela Ruiz Fernández	nández							
å	DESCRIPCIÓN	РЕСНА DE МО LDEO	FECHA DE ROTURA	CARGA MÁXIMA (KN)	CARGA MÁXIMA (Kg)	ÁREA (cm2)	RESISTENCIA A LA COMPRESIÓN (Kg/cm2)	RESISTENCIA A LA COMPRESIÓN (MPa)	OBSERVACIONES
1	0% FIBRA	6/01/2025	3/02/2025	227.36	23184	283.14	81.882	8.030	
~	0% FIBRA	6/01/2025	3/02/2025	227.31	23178	285.56	81.168	7.960	
m	0% FIBRA	6/01/2025	3/02/2025	219.04	22336	273.46	81.678	8.010	
4	0% FIBRA	6/01/2025	3/02/2025	215.70	21995	268.62	81.882	8.030	
6	0% FIBRA	6/01/2025	3/02/2025	222.89	22728	280.72	80.964	7.940	
23.0	SCANICA OF ON FIBRA	6/01/2025	3/02/2025	223.47	22788	278.30	81.882	8.030	
100	0.00								

Henry Josue Williamera Bazan INGENIERO ESPECTALISTA

LIIJA ROCIO VILLANUEVA DELLAN INGENIERO CIVIL CIP. 115723 KAOLYN INGENIEROS SAC

NAFALTO



Consultoria, Topografia, Laboratorio de Mecánica de suelos, concreto y pavimentos, Ejecución de obras civiles, Saneamiento de terrenos, Compra venta y alquiler de equipos de topografía y equipos livianos.

Jr. Paraiso N° 120- CAJAMARCA Teléfonos: 984 336450 / 970 909446 / 984 335634 RUC: 20529476931 correo electrónico: kisac@hotmail.es / laboratoriokaolyn@gmail.com

ΤŤ	rírulo: N	Vorma Técnica Pe	ruana (NTP) 399.604 –	Ladrillos y B.	loques Cerd	ímicos - Méi	Norma Técnica Peruana (NTP) 399,604 – Ladrillos y Bloques Cerámicos - Método de Ensayo de Resistencia a la Compresión	istencia a la Compi	esión	
Mode	Nro de Revisión:		Fechs de Revisión del	Enero	Enero, 2025		Código de Control Nro.:	ontrol Nro.:	KISAC-RP-584- 2024		_
Tesis:	П,	NFLUENCIA DE LA	ADICCIÓN DE	LA FIBRA DE	VIDRIO EN LA	JUNTA DE M	ORTERO EN I	"INFLUENCIA DE LA ADICCIÓN DE LA FIBRA DE VIDRIO EN LA JUNTA DE MORTERO EN LA RESISTENCIA A COMPRESIÓN AXIAL DE PILAS DE ALBAÑILERÍA"	PRESIÓN AXIAL DE PII	.AS DE ALBAÑILERÍA"	
Ubicación:		CAJAMARCA-CAJAMARCA	CA								_
Cilente:	De	Deisy Maricela Ruiz Fernández	ındez								_
å	DES	DESCRIPCIÓN	FECHA DE MOLDEO	FECHA DE ROTURA	CARGA MÁXIMA (KN)	CARGA MÁXIMA (Kg)	ÁREA (cm2)	RESISTENCIA A LA COMPRESIÓN (Kg/cm2)	RESISTENCIA A LA COMPRESIÓN (MPa)	OBSERVACIONES	
-	6	0% FIBRA	6/01/2025	20/01/2025	161.54	16472	271.04	60.774	5.960		
2	66	0% FIBRA	6/01/2025	20/01/2025	161.87	16500	271.04	60.876	5.970		
ო	60	0% FIBRA	6/01/2025	20/01/2025	164.90	16814	273.46	61.488	6.030		_
4	66	0% FIBRA	6/01/2025	20/01/2025	166.08	16935	275.88	61.386	6.020		
6	6	0% FIBRA	6/01/2025	20/01/2025	165.99	16926	273.46	61.896	6.070		
6	NICA	0% FIBRA	6/01/2025	20/01/2025	165.59	16885	278.30	60.672	5.950		
100	A 150										_

Out of Market Ma

Henry Josue Childrenew Bazán

INGENIER BESTERBASTA

Lillen Rocio Villanuera KAOLINE RIGERAL ERUS SAC"

Dig vijusasv



Consultoria, Topografía, Laboratorio de Mecánica de suelos, concreto y pavimentos, Ejecución de obras civiles, Saneamiento de terrenos,

Compra venta y alquiler de equipos de topografía y equipos livianos. Jr. Paraiso Nº 120- CAJAMARCA Teléfonos: 984 336450 / 970 909446 / 984 335834 RUC: 20529476931 correo electrónico: kisac@hotmail.es / laboratoriokaolyn@gmail.com

TT.	rítulo:	Vorma Técnica Pe	ruana (NTP)	399.604-1	adrillos y Bl	oques Cerá	micos - Mét	Norma Técnica Peruana (NTP) 399.604 – Ladrillos y Bloques Cerámicos - Método de Ensayo de Resistencia a la Compresión	istencia a la Compi	estón
Nro de	Nro de Revisión:		Fecha de Revisión del	Enero, 2025	2025		Código de Control Nro.:	ntrol Nro.:	KISAC-RP-584- 2024	
Tesis:	5	INFLUENCIA DE LA	ADICCIÓN DE	LA FIBRA DE	VIDRIO EN LA	JUNTA DE MO	ORTERO EN L	"INFLUENCIA DE LA ADICCIÓN DE LA FIBRA DE VIDRIO EN LA JUNTA DE MORTERO EN LA RESISTENCIA A COMPRESIÓN AXIAL DE PILAS DE ALBAÑILERÍA"	RESIÓN AXIAL DE PII	AS DE ALBAÑILERÍA"
Ubicación:		CAJAMARCA-CAJAMARCA	CA							
Cliente:	ď	Deisy Maricela Ruiz Fernández	indez							
å	DES	DESCRIPCIÓN	FECHA DE MOLDEO	FECHA DE ROTURA	CARGA MÁXIMA (KN)	CARGA MÁXIMA (Kg)	ÁREA (cm2)	RESISTENCIA A LA COMPRESIÓN (Kg/cm2)	RESISTENCIA A LA COMPRESIÓN (MPa)	OBSERVACIONES
-	0	0% FIBRA	6/01/2025	13/01/2025	113.65	11589	285.56	40.584	3.980	
7	9	0% FIBRA	6/01/2025	13/01/2025	110.04	11221	271.04	41.400	4.060	
ь	3	0% FIBRA	6/01/2025	13/01/2025	112.15	11436	278.30	41.094	4.030	
4	3	0% FIBRA	6/01/2025	13/01/2025	106.64	10874	268.62	40.482	3.970	
ю	,	0% FIBRA	6/01/2025	13/01/2025	109.93	11210	273.46	40.992	4.020	
See No.	(3)	0% FIBRA	6/01/2025	13/01/2025	107.74	10987	273.46	40.176	3.940	

THIAM ROCIO VIII SAUCEN SAC INC

HOURY JOSE ALIENTER PRATE INGENIERO NE EQUALISTA PRATE CIP. N. 195304

OULUM MAESUKANITE

